

Universidade Estadual de Campinas

Instituto de Química

Este exemplar corresponde à reedição final
de Tese defendida por Maria de Fátima dos
Santos Marques e aprovada pela Comissão
Julgadora

15-12-88

"Contribuição ao Estudo Químico do
Gênero Aspidosperma: Aspidosperma
ramiflorum Muell. Arg."

Tese de Mestrado

Maria de Fátima dos Santos Marques

Orientador: Prof. Dr. Francisco de Assis Machado Reis

Campinas

1988

A Meus Pais Flávio e Benedicta,
A Meus Irmãos Alberto e Flávio José,
Pelo Apoio e Incentivo Constante.
A Gunther Aquiles,Por seu Incentivo,
Compreensão e Apoio

Agradeço ao Prof. Dr. Francisco de Assis Machado Reis
Pela Orientação Recebida.

À Diretoria do Instituto de Química da Universidade Estadual de Campinas Pelas Facilidades Concedidas.

Ao Conselho Nacional de Desenvolvimento Científico e Tecnológico (CNPq) e à Coordenação do Aperfeiçoamento de Pessoal de Nível Superior (CAPES), pelas Bolsas de Estudo Concedidas

Ao Instituto de Pesquisas da Amazônia (INPA), pelo Tempo Concedido.

Ao Prof. Dr. Hermógenes de F. Leitão Filho pela Coleta e Identificação da Espécie Aspidosperma ramiflorum.

A Todos os Professores, Colegas e Funcionários do Instituto de Química que de uma Maneira ou de Outra Contribuiram Para a Realização Deste Trabalho.

Aos Colegas Arimáteia, Raquel, Fátima Brito, Angela, Macedo, Carlos e Francisco Dias Pelo Incentivo e Amizade.

A Maria Angelica C. Purchio Pela Dedicada Ajuda Técnica e Principalmente pela Amizade.

Meus Agradecimentos,

Glossário

EtOH - Etanol

RMN de ^1H - Ressonância Magnética Nuclear de Proton

RMN de ^{13}C - Ressonância Magnética Nuclear de Carbono treze

EM - Espectro de Massa

UV - Ultravioleta

IV - Infravermelho

s1 - Singlete

d - Dublete

m - Multiplete

J - Constante de Acoplamento

Hz - Hertz

mg - Miligrama

nm - Nanômetro

α_D - Rotação ótica Específica

CDCl_3 - Clorofórmio Deuterado

CD_3OD - Metanol Deuterado

TMS - Tetrametilsilano

Lit. - Literatura

c - Concentração

TRP - Triptamina

CCD - Cromatografia de Camada Delgada

CCE - Cromatografia de Camada Espessa

Ac - $-\text{C}(=\text{O})\text{CH}_3$

Índice

Resumo

pag. 01

Capítulo I

Revisão Fitoquímica do Gênero Aspidosperma

02

Capítulo II

Estudo Fitoquímico de Aspidosperma ramiflorum Muell. Arg.

41

Descrição da Planta

41

Estudo das Sementes

45

Isolamento de β -yohimbina

45

Isolamento de 10-metoxigeissoschizol

48

Estudo das Cascas do Caule

51

Isolamento de Ramiflorina A

54

Isolamento de Ramiflorina B

53

Acetilação da Ramiflorina A

60

Acetilação da Ramiflorina B

62

Determinação da Configuração Relativa das Ramiflorinas

65

Conclusão

72

Capítulo III

Materiais e Métodos

73-

Coleta de Material e Obtenção dos Extratos

74

Estudo das Sementes

75

Extrações e Isolamentos

75

Estudo do Extrato 1B	76
Estudo das Cascas de <u>Aspidosperma ramiflorum</u>	79
Extrações e Isolamentos	79
Isolamento dos Compostos do Extrato 2C	81
Isolamento dos Compostos do Extrato 2B	83
Novas Extrações e Isolamentos	85
Extrato Clorofórmico	85
Isolamento dos Compostos do Extrato 3B	86
Fracionamento do Extrato Etanolíco	87
Fracionamento do Extrato Etanolíco (feito em aparelho Soxhlet)	91
Propriedades Físicas dos Alcalóides Isolados	91
Especros	102
Referências Bibliográficas	126

RESUMO

O extrato etanólico das cascas do caule de Aspidosperma ramiflorum Muell. Arg. foi estudado, tendo sido isolados 10-metoxigeissoschizol e dois novos alcalóides bis-indólicos, não reportados na literatura: as ramiflorinas A e B. As estruturas destes compostos, que pertencem ao grupo dos semi-dímeros, foram determinadas por métodos espectroscópicos usuais, e suas estereoquímicas estabelecida por Ressonância Magnética Nuclear de ^{13}C . O extrato etanólico das sementes também foi estudado e foram isolados os compostos já conhecidos: 10-metoxigeissoschizol e β -yohimbina.

Abstract

From the ethanolic extract of the bark of Aspidosperma ramiflorum Muell. Arg., 10-methoxy-geissoschizol and two new bis-indol alkaloids, the ramiflorines A and B, were isolated. The structure of these compounds, which belong to the "quasi-dimer" group, was determined by spectroscopic methods and their stereochemistry established by ^{13}C nuclear magnetic resonance. The ethanolic extract of the seeds was also studied and the known compounds 10-methoxy-geissoschizol and β -yohimbine were isolated.

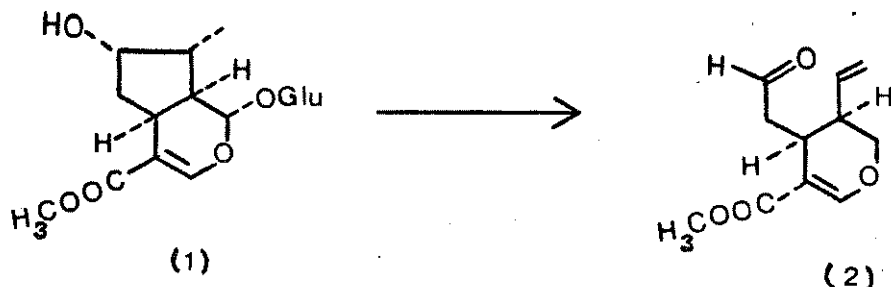
Capítulo I

Revisão Fitoquímica do Gênero Aspidosperma

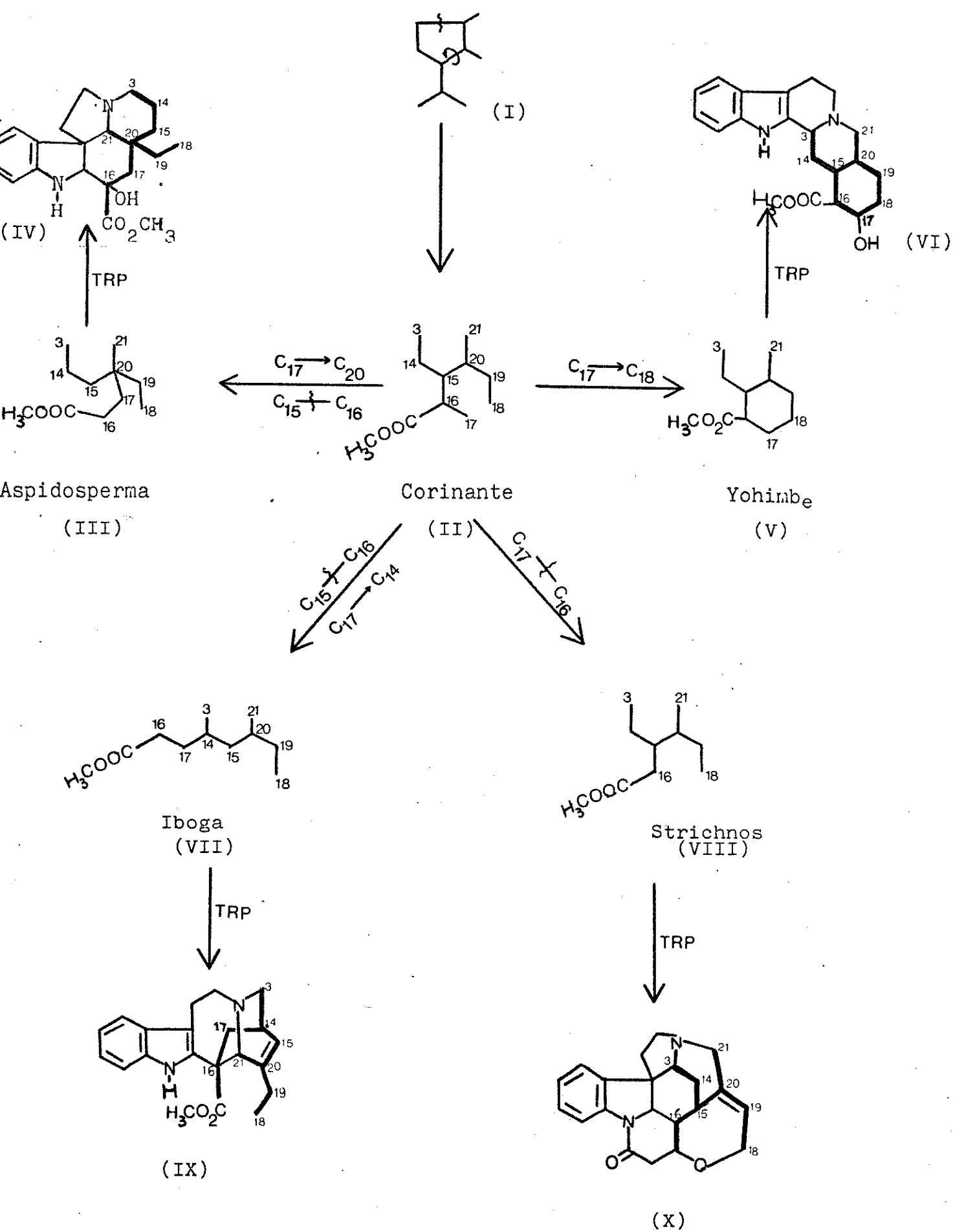
O gênero Aspidosperma pertencente à família Apocynaceae vem sendo alvo de estudos e polêmica há várias décadas, tanto no ponto de vista botânico-sistemático quanto químico. O interesse por este gênero cresce à medida em que as dúvidas e controvérsias quanto às revisões sistemáticas aumentam.

Há duas décadas Gilbert¹ publicou um trabalho no qual agrupou os alcalóides indólicos, presentes nas espécies até então trabalhadas, procurando correlacioná-las com as séries estabelecidas por Woodson.² Desde então a biossíntese destes compostos foi intensamente estudada. A primeira hipótese biossintética sobre a origem terpênica dos indóis propunha³ que estes derivavam de um esqueleto de carbono (terpênico) representado pela fórmula I. Este produto após uma série de transformações ilustradas no esquema 1 se diferenciaria e após acomplimento com a triptamina originaria os diferentes grupos de alcalóides indólicos.

Estudos posteriores vieram a confirmar a hipótese de Wenkert³. A transformação *in vivo* da loganina (1) em secologaniá (2) foi obtida e este aldeído convertido nas principais classes de alcalóides indólicos.^{4,7}



Esquema 1



Uma vez estabelecidos os tipos principais de alcalóides indólicos o objetivo nesta parte do trabalho era fazer um estudo quimio-sistemático do gênero Aspidosperma à luz dos avanços obtidos nos trabalhos de biossíntese. Este trabalho não pode ser implementado porque a revisão sistemática do gênero, procedida por Luiza Kinoshita Gouveia e Washington Marcondes Ferreira do Departamento de Botânica da UNICAMP não foi concluída. Dessa forma foi feito apenas uma levantamento fito-químico das espécies estudadas e publicadas até julho de 1987 e que se encontram sumarizadas na tabela 1 e quadro 1 a seguir.

Tabela 1Alcalóides Isolados de Espécies do Gênero Aspidosperma

SERIE	ESPECIE	ALCALOIDES	PARTE	PLANTA	ESTRUT.	REF.
MACROCARPA	<u>A. macrocarpon</u> Mart. (=A. duckei)	Kopsanona Epi-kopsanol-10-lactama Kopsanol Epi-kopsanol	Casca	3A	8	
			Casca	3C	8	
			Casca	3B	8	
			Casca	3D	8	
RAMIFLORA	<u>A. verbascifo-</u> <u>lrium</u> Muell. Arg.	Kopsanona Kopsanol 3'-epikopsanol 10-oxo-3'-epikopsanol N-formilkopsanol		3A	9	
				3B	9	
				3D	9	
				3C	9	
				3E	9	
PYRICOLLA	<u>A. ramiflorum</u> Muell. Arg.	©-Yohimbina 10-metoxigeissoschizol Ramiflorina A Ramiflorina B	Semente e Casca	4A	10	
	<u>A. multiflorum</u> A. DC.	Kopsinina Dasycarpidona Uleinea (-)-Apparicina	Casca	5A	10	
			Casca	6A	10	
			Casca	6B	10	
	<u>A. pyrifolium</u> Mart.	Aspidofilina Desacetilpirifolidina Pirifolina Pirifolidina (-)-Apparicina Aspidospermina	Folhas	7B	12,13	
				10A	14	
	<u>(=A. populinum</u> A. DC.)	17-metoxi-aspido- fractinina N-formil-17-metoxi- aspidofractinina Kopsinina 16,17-dimetoxi- aspidofractinina Aspidofractinina Refractina 11-metoxi-14,19-di- hidrocondilocarpina N-formil-16,17-di- metoxiaspidofracti- nina	Casca	7C	13,15	
				10B	15,16	
			Raiz	9	17	
			Raiz	11A	18	
				7E	11	
				7F	11	
				7A	11	
				7G	11	
				7K	11	
				7I	11	
				13A	11	
				7J	11	

Tabela i continuaçāo

SERIE	ESPECIE	ALCALOIDE	PARTE PLANTA	ESTRUT.	REF
PYRICOLLA	(=A. <u>refractum</u> Mart.)	Aspidofractinina Refractidina		7K 7D	19 13 20
		Aspidofractina Refractina		7H 7I	21 15
	<u>A. tomentosum</u> Mart. (=A. <u>quirandy</u> Hassler)	Uleina Limatininina Aspidospermina Aspidosamina Haslerina Quirandina Guatambuina	Casca	8B 13A 11A Casca Casca Casca	22 22 23 C ₂₂ H ₂₈ N ₂ O ₂ 23 23 23 13A
	(=A. <u>dasycarpum</u>)	N-metiltetrahidro- elipticina Akuamidina aldeído Des-N-metildasycar- pidona Desidro-des-N-me- tiluleina Des-N-metiluleina Dasycarpidona Dasycarpidol Uleina 1,13-dihidro-13-N- hidroxi-uleina Aspidodasicarpina (+)-Apparicina Desmetoxiaspidos- permina	Casca	13B 14A 8D 8E 8F 8G 8H 8J 8I Casca	24, 25 24 24, 25 24 25 25 25 24, 25 24 24
	(=A. <u>gomezia-</u> <u>num</u> A. DC)	Uleina Apparicina N-acetilaspidosper- midina	Casca	8J	11
	(=A. <u>hilaria-</u> <u>num</u> Muell. Arg.)	Uleina		8J	27
	<u>A. subincanum</u> Mart. ex A. DC.	Olivacina Elipticina 1,2-dihidroeliptici- na-metonitrato Elipticina-metoni- trato 1,2-dihidro-elipti- cina	Casca e Cortiça Casca Casca Casca	13C 13D 13L 13F 13E	11, 28 11 28 28

Tabela 1 continuacão

SERIE	ESPECIE	ALCALOIDES	PARTÉ PLANTA	ESTRUT.	REF
PYRICOLLA	<u>A. subincanum</u> Mart. ex A. DC	N-metil-tetrahidro- elipticina 3-epi-dasycarpidona Uleinea 3-epi-uleina Subincamina	Casca Casca e Cortiça	13B 8C 8J 8B 16	28, 29 30 11 30 31
	<u>A. parvifolium</u> A. DC.	N-metiltetrahidro- elipticina		13B	32
	<u>A. australe</u> Muell. Arg.	Olivacina (\pm) , (-) e (+)gua- tambuina Uleinea Apparicina Dasycarpidona N-metilaspidospermi- dina Aspidospermina	Casca e Raiz Casca e Raiz Raiz Raiz Raiz Raiz 11L	13C Raiz 13A Raiz 8J 9 8A 11A	33 33 33 33 33 34 35 90
	<u>A. pyricollum</u>	Aspidofilina Aspidospermina Uleinea $(+)$ demetilaspidos- permina 19-desidro-yohimbina Yohimbina 3-yohimbina Pseudo-yohimbina (-)Apparicina Olivacina		7B 11A 8J 11C 4B 4C 4A 17A 9 Casca	33, 36 37 37, 17 17 17 17 11, 38
	(=A. olivaceum Muell. Arg.)	Uleinea Aspidocarpina Apparicina Olivacina	Casca Casca Casca Casca	8J 11M 9 13C	38 11 11 39
	(=A. longipe- tiolatum Kuhlm.)	(+)guatambuina	Casca e	13A Raiz	39, 40
	<u>A. vargassi</u> A. DC.	(+)guatambuina N-metiltetrahidro- elipticina 9-metoxiolivacina Olivacina	Casca Casca	13A 13B 13C Casca	41 41 41 41

Tabela I continuaçāo

SERIE	ESPECIE	ALCALOIDES	PARTE PLANTA	ESTRUT. REF	
PYRICOLLA	<u>A. ulei</u> Mg.f.	1,2-dihidro-oliva- cina 1,2-dihidro-elipti- cina d-guatambuina N-metil-tetrahidro- elipticina Uleinea	13H 13E 13A 13B Raiz	42 42 42 42 43	
	<u>A. rhombeosi- gnatum</u> Mg.f.	Limaspermidina 15,16,17-trimetoxi- 21-oxo-aspidospermidina Ácido harman-3-car- boxílico-etil-eter Aspidospermina Aspidospermidina Desmetoxipalosina	Casca Casca Casca Casca Casca Casca Casca	11N 18N 46A 11A 11D 11G	44 44 44 44 44 44
POLYNEURA	<u>A. dispermum</u> Muell. Arg.	Desoxiaspidodisper- mina Aspidodispermina N-acetilciclidro- carpinol	19A 19B 11P	45 45 46	
	<u>A. polynaeuron</u>	Quebrachamina Aspidospermina Palosina Normacusina B Polineuridina Yohimbina Ácido harman-3-car- boxílico Perobina (+)-desacetilaspido- spermina Quebrachamina Aspidospermina Aspidospermatina Yohimbina Aspidosamina Macusina B Alcalóide Q2	Casca e Casca e Casca Casca Casca e Casca Casca e Casca Casca e Casca Casca Casca Casca Casca Casca C ₂₂ H ₂₈ N ₂ O ₂ Casca Casca	20 36 11A 36 11D 47 36 14B 36 14C 48 4C 46B 49 50 11E 51 20 52 11A 36 21A 4C 52 Aspidosamina Macusina B Alcalóide Q2	47, 36 47, 36 47 36 36 46 49 50 51 52 52 36 52 52 53 54
	(=A. peroba)				

Tabela I continuação

SERIE	ESPECIE	ALCALOIDES	PARTE PLANTA	ESTRUT.	REF
POLYNEURA	<u>A. cylindrocar-</u> <u>pon Muell. Arg.</u>	Cilindrocarpidina	Casca	22A	16, 55
		Cilindrocarpina	Casca	22B	15
		Cilindrocarina	Casca	22C	56
		N-acetilcilindro- carpinol	Casca	22D	56
		N-acetil-20-hidro- xicilindrocarina	Casca	22E	56
		N-formilcilindro- carpinol	Casca	22F	56
		N-formil-20-hidro- xicilindrocarina	Casca	22G	56
		N-cinamoil-20-hi- droxicilindrocarina	Casca	22H	56
		N-benzoil-20-hidro- xicilindrocarina	Casca	22I	56
		N-dihidrocinamoil- 20-hidroxicilindro- carina	Casca	22J	56
		20-hidrocilindroca- rina	Casca	22K	56
		N-formilcilindroca- rina	Casca	22L	56
		17-desmetoxi-N-ace- tilcilindrocarina	Casca	22M	56
		N-benzoilcilindro- carina	Casca	22N	56
		N-metilcilindroca- rina	Casca	22O	56
		Aspidospermina	Casca	11A	56
	<u>A. cuspa</u> S. F. Blake	Burnamina	Casca	23A	57
		Des-O-metilaspido- carpina	Casca	11F	57
		Aspidodasicarpina	Casca	15	57
		Kopsanona	Casca	3A	58
		Epikopsanol	Casca	3D	58
		Kopsanol	Casca	3B	58
		16-epi-isositsiri- quina	Casca	24A	58
	<u>(=A. sessili-</u> <u>florum)</u>	Aspidospermina		11A	59
RIGIDA	<u>A. rigidum</u> Rusby	Reserpilina		25A	22
		Carapanaubina		26	22
		Picralina		23B	22
		Desacetilpicralina		23A	22
		Aspidodasicarpina		15	60

Tabela 1 continuaçāo

SERIE	ESPECIE	ALCALOIDES	PARTE PLANTA	ESTRUT. REF
NITIDA	<u>A. carpanauba</u> Pichon	Carapanaubina		26 61
	<u>A. marcgravia-</u> <u>num</u> Woodson	Dihidrocorinanteol	Casca	27A 62
		Aricina	Raiz e Casca	25B 62, 63
		Tetrahidrosecamina	Casca	44A 64
		Descarbometoxite-	Casca	64
		trahidrosecamina		
		10,11-dimetoxipi-	Casca	45A 64
		crafilina		
		Hidroxidimetoxipi-	Casca	45B 64
		crafilina		
		16-epi-3S,4S-isos-	Casca	24B 63
		sitsiriquina-N-óxi-		
		do		
		3,4,5,6-tetrahidro-	Casca	52A 63
		18,19-dihidrocori-		
		nanteol		
		2-etyl-3-[2-(3-acet-	Raiz	53A 63
		ilpiperidina)etyl]indol		
		18-oxohaplocidina	Raiz	18L 63
		16(s)-isositsiriqui-	Raiz	24D 63
		na-N-óxido		
		18,19dihidroantirina	Raiz	54B 63
		Isogeissoschizol	Raiz	63
		10-metoxigeissoschi-	Raiz	5A 63
		zol		
		Isoantirina	Raiz	59A 63
		17,4',5',6'-tetrahi-	Folha	6C 63
		dro-17(R)usambaren-		
		sina		
		N-carbometoxi-17,4',	Folha	6D 63
		5',6'tetrahidro-17		
		(R) usambarensina		
		N-carboetoxi-17,4',	Folha	6E 63
		5',6'tetrahidro-17		
		(R) usambarensina		
		Reserpilina	Raiz e Casca	25A 63
		N-acetilaspidosper-		
		midina		
		Aspidocarpina	Raiz e Casca	11M 63
		Reserpinina	Casca	25E 63

Tabela i continuaçāo

SERIE	ESPECIE	ALCALOIDES	PARTE PLANTA	ESTRUT.	REF.
NITIDA	<i>A. marcgravianum</i> Woodson	Isoreserpilina	Raiz e Casca	25C	63
		Isositsiriquina	Raiz, Casca e Folha	24C	63
		Epi-16isositsiri- quina	Raiz, Casca e Folha	24A	63
		Geissoschizol	Folha	5C	63
		10-metoxigeissoschi- zol	Raiz	5A	63
		β-yohimbina	Raiz	4A	63
		Yohimbina	Raiz	4C	63
		O-acetyl yohimbina	Raiz	4E	63
		Aspidolimidina	Raiz e Casca	18H	63
		limapodina	Casca e Folha	11C	63
		Haplocidina	Raiz	18B	63
		Razinilam	Raiz	50	63
		10-metoxidihidroco- rinanteol	Raiz	52B	63
		Tetrahidroalstonina	Raiz e Casca	25F	63
		Ochrolifuanina A	Raiz, Casca e Folha	47	63
		N-oxido de dihidro- corinanteol	Casca	52C	63
		Antirina	Raiz	54C	63
		Usambarensina	Folha	6F	63
		Tetrahidrousambaren- sina 17(R)	Raiz e Folha	6G	63
		Tetrahidrousambaren- sina 17(S)	Folha	6H	63
		Dihidro-5',6'usamba- rensina	Folha	6I	63
		Deplancheina	Raiz	55	63
		Tetrahidrosecodina	Raiz	53B	63
		Dihidro-18,19sitsi- riquina-16(R)	Raiz	56A	63
		Dihidro-18,19sitsi- riquina-16(S)	Raiz	56B	63
		Descarbometoxi-16di- hidro-16,17hidro-17 epi-19ajmalicina	Raiz	57	63
		quinidina	Folha	58A	63

Tabela 1 continuacão

Tabela i continuaçāo

SERIE	ESPECIE	ALCALOIDES	PARTE PLANTA	ESTRUT.	REF.
NITIDA	<u>A. eburneum</u> Fr. Allem. ex Sald. (= <u>A. compacti-</u> <u>nervium</u> Kuhlm.)	N-acetilaspidosper- midina Compactinervina N-acetyl-11-hidroxi- aspidospermatidina	Casca	11C	11
	(= <u>A. pruinosa</u> Mgf.)	Normacusina B Yohimbina β-yohimbina 10-metoxidihidroco- rinanteol 10-metoxigeissoschii- zol 10-metoxiyohimbina Pruinosidina Pruinosina	Casca	29 21G 14B 4C 4A 27B 5A 4F 5B 48	11 11 70 70 70 70 70 32 32 32
	<u>A. oblongum</u> A. DC.	β-yohimbina 11-metoxiyohimbina Isoreserpilina Reserpilina Alcalóide I/352 Alcalóide I/382a Alcalóide I/382b Alcalóide II/298 Alcalóide II/296 Alcalóide III/328 Alcalóide III/354 Alcalóide III/352 Alcalóide III/384 Alcalóide III/382 Alcalóide IV/356 Alcalóide IV/354 Alcalóide IV/386 Alcalóide IV/384 (+)Aspidocarpina 10-metoxigeissoschii- zol Yohimbina Pseudo-yohimbina 10-metoxi-17-epialo- yohimbina	Casca	4A 46 25C 25A 25D 30 30 31A 29B 31B 31C 28C 31E 28E 31D 28D 31F 28F 11M 5A 4C 17A 4H	71 72 71, 72 73 73 73 73 73 73 73 73 73 73 73 73 73 73 74 74, 72 74, 72 74, 72

Tabela 1 continuaçāo

SERIE	ESPECIE	ALCALOIDES	PARTE PLANTA	ESTRUT.	REF.
NITIDA	<u>A. oblongum</u> A. DC.	19,20-deshidro- β -yohimbina	Semente	4B	72
		3,4-deshidro- β -yohimbina	Semente	4I	72
		oxindol- β -yohimbina	Semente	60	72
		pseudoindoxtila- β -yohimbina	Semente	61	72
		N-oxido- β -yohimbina	Semente	4J	72
		10-metoxi- β -yohimbina	Semente	4K	72
		10-metoxi- α -yohimbina	Semente	17B	72
		19,20-desidro- α -yohimbina	Semente	17C	72
		Aricina pseudoindoxtila	Semente	32B	72
		Metoxi-antirina	Semente	54B	72
		10-metoxi-sitsiriquina	Semente	67A	72
		3,4,5,6-tetrahydro-sitsiriquina	Semente	62B	72
		Dihidrocorinanteol	Casca	52D	72
		10-metoxidihidrocorinanteol	Casca	52E	72
		10-metoxi-19,20-desidro-dihidrocorinanteol	Casca	57E	11, 72
		Aspidocarpina	Casca	11M	72
		Aricina	Semente	25B	72
		Tetrahidroalstonina	Semente	25D	72
		α -yohimbina	Semente	17D	72
		10-metoxicorinantrina	Semente	17E	72
		Aspidodasicarpina	Semente	15	72
		Isositsiriquina	Semente	37B	72
		16-epi-isositsiriquina	Semente	24A	72
		Sitsiriquina	Semente	37A	72
		Dihidro-18,19-sitsiriquina-16(R)	Semente	62C	72
		10-metoxidihidro-18,19-sitsiriquina-16(R)	Semente	62D	72
		10-metoxi-isositsiriquina	Semente	37D	72
		Cantleiina	Semente	63	72
		Antirina	Semente	54C	72
		Vallesiachotamina	Semente	64	72

Tabela i continuaçāo

SERIE	ESPECIES	ALCALOIDES	PARTE PLANTA	ESTRUT.	REF.
NITIDA	<u>A. oblongum</u> A. DC.	Vallesamina Neo-oxygambirtanina alo-yohimbina Corinatrina Tetrahydro-3,4,5, 6- β -yohimbina	Semente	65	72
			Semente	66	72
			Semente	4L	72
			Semente	4M	72
			Semente	4N	72
	<u>A. discolor</u> A. DC.	Reserpilina Isoreserpilina Isoreserpilina- γ - indoxil Yohimbina Dihidrocorinanteol Desmetoxi-aspidos- permina Desmetoxipalosina (+)Desmetilaspidos- permina (+)Haplocidina(N- acetil-17-hidroxias- pidoalbina 10-metoxigelissoschiz- zol 10-metoxidihidroco- rinanteol β -yohimbina		25A	37, 38
				25C	37, 75
				32A	37, 75
				4C	37, 75
				27A	14, 37
				11B	69, 75
				11G	69
				11C	69, 75
				18B	75
				5A	37, 75
				27B	37, 75
				4A	75
	<u>A. nitidum</u> Benth ex Muell. Arg.	10-metoxidihidroco- rinanteol		27B	22
	<u>A. auriculatum</u> Mgf.	Dihidrocorinanteol	Casca	27A	11, 62

STEGOMERIA

Nenhuma das 3 espécies
classificadas nesta sé-
rie foram estudadas quí-
micamente.

Tabela i continuaçāo

SERIE	ESPECIE	ALCALOIDES	PARTE	PLANTA	ESTRUT.	REF.
QUEBRACHI-NES	<u>A. quebracho-blanco</u> Schlecht	Eburnamenina	Casca	33	76	
		1,2-desidro-aspidospermidina	Casca	34A	76,	77
		(-)quebrachamina = Razidina	Casca e Folhas	20	77,	78
		Quebrachina=Yohimbina	Casca	40	77	
		Aspidospermidina	Casca	110	76,	74 e 79
		N-metil-aspidospermidina	Casca	11L	77	
		Desacetil-aspidospermina	Casca	11E	77	
		Desacetilpirifolidina	Casca	10A	80	
		N-metildesacetylaspidospermina	Casca	11Z	77	
		Aspidospermina	Casca e Folhas	11A	77,	78
		(-)Pirifolidina		10B	77	
		Aspidospermatidina	Casca	21B	77,	81
		N-metilaspidospermatidina		21C	77	
		Desacetylaspidospermicina		21D	77	
		Aspidospermatina	Casca	21A	77,	78
		14,19-dihidroaspidospermatina		21E	77	
		Quebrachidina	Folhas	70	82	
		Yohimbina		4C	77,	78
		Hipoquebrachina	Casca	Produtos	78	
		Aspidosamina	Casca	de degrad.	78	
		$C_{22}H_{28}N_2O_2$		da Aspi-		
		Quebrachacidina	Casca	dospermina		
		$C_{26}H_{29}N_2O_{11}$				
		(+)Eburnamenina		24E	84	
		Vincina		33	84	
		Razidigenina	Casca	69	85	
		O-metil aspidocarpina		11V	86	
		Akuamidina	Casca	14F	85	
		Razidigenina-N-oxido	Casca	49	87	

Tabela 1 continuaçāo

SERIE	ESPECIE	ALCALOIDES	PARTE PLANTA	ESTRUT.	REF.
QUEBRACHI- NES	<u>A. quebracho-</u> <u>blanco</u> Schlecht	(-)pirifolidina Razinilam Acetilakuamidina Dihidroaspidosper- matina (=A. chakensis Spegazzini)	Folhas	10B 50 22P 21L	88 88 89 77
		Espegazinina Quebrachamina Espegazinidina	Casca	11H 20 11I	90 90 91
					92
NOBILES	<u>A. fendleri</u> Woodson	Fendleridina Aspidofendlerina Fendlerina Fendlierspermina Quebrachamina Aspidolimidina	Semente Semente Casca e Semente Semente Semente	18C 18D 18E 10C 20 18H	93 94 94 95 96 96
	<u>A. spruceanum</u> Benth ex Muell. Arg.	Cromatina Aspidoalbina	Casca Casca	18F 18G	11 11
	<u>A. obscuriner-</u> <u>vium</u> Azambuja	(+)Aspidocarpina Obscurinervidina Dihidroobscuriner- vidina Obscurinervina Dihidroobscuriner- vina Alcalóide 6 Aspidolimina Nervoobscurina	Casca Casca Casca Casca Casca Casca	11M 35A 36A 35B 36B C ₂₂ H ₂₄ O ₄ N ₂ 11R 51	97 97 97 97 97 97 97 98
	<u>A. melanocalyx</u> Muell. Arg.	N-acetil-16,17-di- hidroxiaspidosper- midina = O-desmetil- aspidocarpina Dímero (C ₄₂ H ₅₄ N ₄ O ₆)	Casca	11F 73	99, 59 99
	<u>A. megalocarpon</u> Muell. Arg.	Aspidocarpina	Raiz	11M	100
	<u>A. sandwithiana</u> Mgf.	(-)Quebrachamina		20	65, 101

Tabela i continuaçāo

SERIE	ESPECIE	ALCALOIDES	PARTE PLANTA	ESTRUT.	REF.
NOBILES	<i>A. album</i> (Vahl)	Quebrachamina	Casca	20	102
	<i>R. Benth ex Pi-</i> <i>chon</i>	Aspidoalbina	Casca	18G	65, 102
		O-desmetilaspido- carpina	Casca	11F	103
		Cromatina	Casca	18F	65, 103
		Aspidocarpina	Casca	11M	103
		Limapodina	Casca	11K	105
		Aspidolimidinol	Casca	38B	105
		Aspidolimidina	Casca	18H	105
		Fendlerina	Casca	18G	105
		N-acetil-N-despro- pionil-aspidoalbinol	Casca		105
	(+)-Sitsiriquina	Semente	37A	106	
	(+)-16-episitsiriqui- na	Semente	37A	106	
	(-)-Alalaquina	Semente	59	106	
	Aspidopermidina	Semente	110	106	
	Limaspermina	Semente	11P	106	
	11-metoxilimasper- mina	Semente	11X	106	
	Desmetoxi-12-aspido- dospermina	Semente	11B	106	
	O-metil-12-oxo-18- aspidoalbina	Semente	18M	106	
	Vincadiformina	Semente	38A	106	
	Condilocarpina	Semente	39	106	
	Tubotaivina	Semente	12C	106	
	Vincamina	Semente	40	106	
	Andranginina	Semente	41	106	
	(-)-Isositsiriquina	Semente	37B	106	
	(=A. <u>desmanthum</u>)	Aspidoalbina	Casca	18G	107
	<i>A. neblinae</i> Mo- nachino	Neblinina		35C	97
		Eburnamonina		42	108
		Aspidocarpina		11M	108
		Pirifolidina		10B	108
		Desmetilaspidosper- mina		11C	108
		Aspidospermina		11A	108
		Desmetoxiaspidos- permina		11B	108
		1,2-deshidrodesace- tilpirifolidina		34B	108

Tabela i continuaçāo

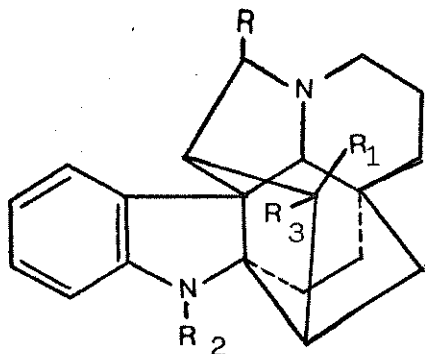
SERIE	ESPECIE	ALCALOIDES	PARTE PLANTA	ESTRUT.	REF.
NOBILES	<u>A. neblinae</u> Mo- nachino	Desacetilpirifoli- dina 1,2-desidroaspido- permidina Aspidospermidina desidro-1,2-pirifo- lidina Homoneblinina		10A 34A 110 10D 35D	108 108 108 108 97
?	<u>A. limae</u> Woodson	Aspidolimidina Desmetoxipalosina Limaspermina Aspidocarpina Aspidolimina 16-metoxilimasper- mina Tubotaivina Limapodina (+)-16-metoxilimapo- dina (+)-Limatina (+)-Limatina (+)-11-metoxilimati- nina (+)-11-metoxilimatinina	Casca	18H 11G 11P 11M 11R 11S 12C 11T 11U 12B 21H 21I 21J	109 109 110 111 111 111 112 112 112 112 114 115 114 114
	<u>A. nigricans</u> Handro	Olivacina Elipticina Olivacina-N-oxido (+)-Guatambuina Uleina Dihidro-uleina	Casca	13C 13D 13I 13A 8J 8K	11 11 11 11 22 22
	<u>A. exalatum</u> Mo- chino	21-oxo-aspidoalbina 21-oxo-O-metil-aspido- albina Ácido Harmann-3-carbo- xílico Harman-3-etil-carbo- xílico ester O-desmetilpalosina Desmetoxipalosina Desmetoxiaspidosper- mina Aspidospermidina	Casca Casca Casca Casca Casca Semente Semente Semente Semente	18I 18J 46B 46A 11J 11G 11B 110	116 116 117 117 118 118 118 118

Tabela i continuaçāo

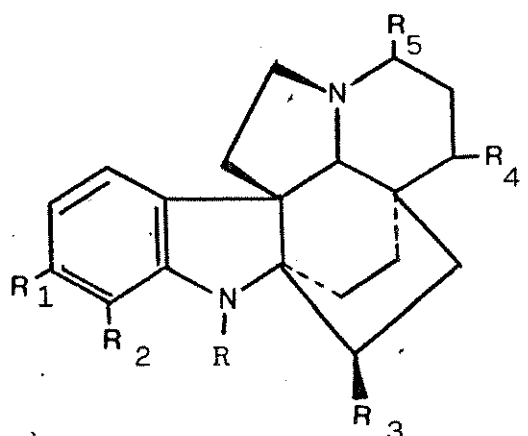
SERIE	ESPECIE	ALCALOIDES	PARTE PLANTA	ESTRUT.	REF.
?	<u>A. exalatum</u> Mo- nachino	Limaspermina Fendlerina 21-oxo aspidoadibina (2 membros da série) Cimicina	Semente Semente Semente Semente	11P 18E 18I 18K	118 118 118 118
	<u>A. spegazzinii</u> Molf. ex Meyer	Ajmalina N-metilakuamidina Espegratrina Cloreto de N-metil- sarpagina $C_{22}H_{28}N_2O_4$	Casca Casca Casca Casca Casca	43A 14G 14H 14D 120	119 119 119 119 120
	<u>A. triternatum</u> Rojas Acosta	Aspidolimina		11R	109
	<u>A. gilbertii</u>	5-etil-2-metil-1H- pirido[3,4-a]carba- zolum hidroxido Gilbertina N,N-dimetiltetrahi- dro-ellipticinium hi- droxido		67 71 13M	121 122 123
	<u>A. dispersum</u> Muell. Arg.	Dímero (M+ 646)			124
	<u>A. formosanum</u> A. P. Duarte	Uleina 3-epi-uleina 1,13-dihidro-13-hi- droxiuleina (+)aspidocarpina Lichexanthona Fitalimida	Casca Casca Casca Casca Casca Casca	8J 8B 8I 11M 68 72	107 107 107 107 107 107
	<u>A. campus-betus</u> A. P. Duarte	Olivacina	Casca	13C	107
	<u>A. art</u>	β -yohimbina Quilobordim		4A 14	36 14
	<u>A. species No</u> 9610	(+)aspidocarpina 11,12-dihidroxi-N- acetilaspidosperma- tidina O-desmetilaspidocar- pina		11M 21K 11F	65 65 65

Tabela 1 continuaçāo

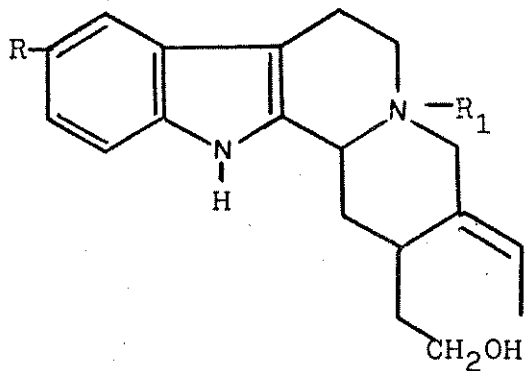
SERIE	ESPECIE	ALCALOIDES	PARTE	PLANTA	ESTRUT.	REF.
?	A. species N ^o 119.070	(-)desmetoxiaspidospermina O-desmetilaspidocarpina (+)aspidocarpina 10-metoxidihidrocorinanteol			11B 11F 11M 27B	11 125 11 11
	A. species of Surinam	Aspidocarpina O-desmetilaspido- carpina Dihidroxi-N-acetil- aspidospermatidina Aspidolimidina	Casca Casca Casca Casca		11M 11F 21F 11R	126 126 126 126
	<u>Aspidosperma</u>	Quilobordim				14



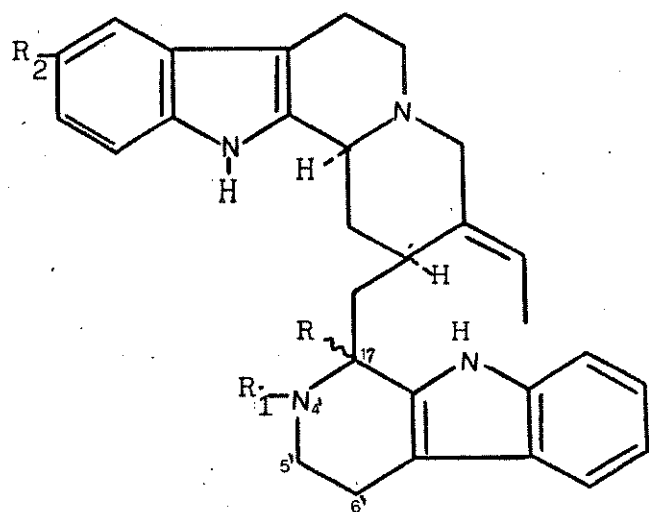
- 3A- $R = R_2 = H; R_1 = O$
- 3B- $R = R_2 = H; R_1 = OH; R_3 = H$
- 3C- $R = O; R_1 = OH; R_2 = R_3 = H$
- 3D- $R = R_1 = R_2 = H; R_3 = OH$
- 3E- $R = H; R_1 = OH; R_2 = CHO$



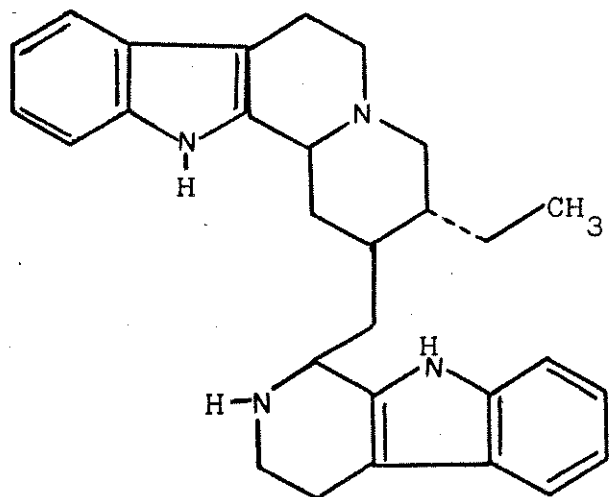
- 7A- $R = R_1 = R_4 = R_2 = H; R_3 = CO_2CH_3$
- 7B- $R = CH_3CO; R_1 = R_3 = R_4 = R_5 = H; R_2 = OH$
- 7C- $R = CH_3CO; R_1 = R_3 = R_5 = H; R_2 = R_4 = OCH_3$
- 7D- $R = CH_3CO; R_1 = R_2 = R_3 = R_5 = H; R_4 = OCH_3$
- 7E- $R = R_1 = R_3 = R_4 = R_5 = H; R_2 = OCH_3$
- 7F- $R = CHO; R_1 = R_3 = R_4 = R_5 = H; R_2 = OCH_3$
- 7G- $R = R_3 = R_4 = R_5 = H; R_1 = R_2 = OCH_3$
- 7H- $R = CHO; R_1 = R_2 = R_4 = R_5 = H; R_3 = CO_2CH_3$
- 7I- $R = CHO; R_1 = R_4 = R_5 = H; R_2 = OCH_3;$
 $R_3 = CO_2CH_3$
- 7J- $R = CHO; R_1 = R_2 = OCH_3; R_3 = R_4 = R_5 = H$
- 7K- $R = R_1 = R_2 = R_3 = R_4 = R_5 = H$

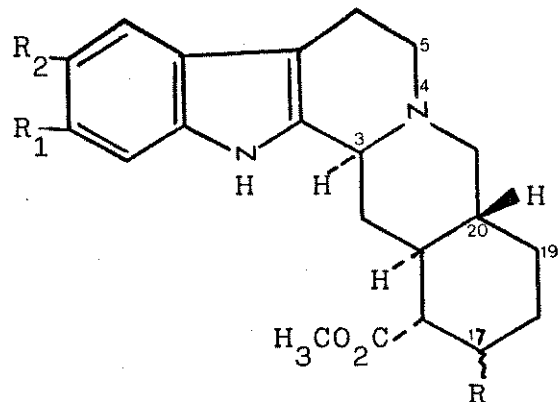


- 5A- $R = OCH_3$
 5B- $R = OCH_3$; $R_1 = CH_3$
 5C- $R = H$

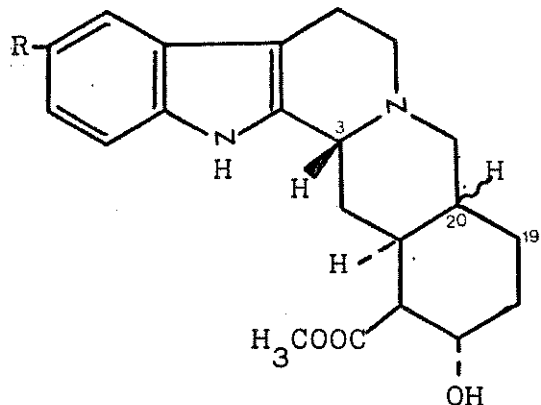


- 6A- $R = H \text{ } \alpha$; $R_1 = H$; $R_2 = OCH_3$
 6B- $R = H \beta$; $R_1 = H$; $R_2 = OCH_3$
 6C- $R = H$; $R_1 = H$; $N_{4S} \rightarrow O$, 17R; $R_2 = H$
 6D- $R = R_2 = H$; $R_1 = CO_2CH_3$, 17R
 6E- $R = R_2 = H$; $R_1 = CO_2CH_2CH_3$, 17R
 6F- $R_2 = H$; Desidro 17, 4', 5', 6'
 6G- $R = H$; $R_1 = R_2 = H$; 17R
 6H- $R = H$; $R_1 = R_2 = H$; 17S
 6I- $R_1 = R_2 = R = H$; Desidro 17, 4'

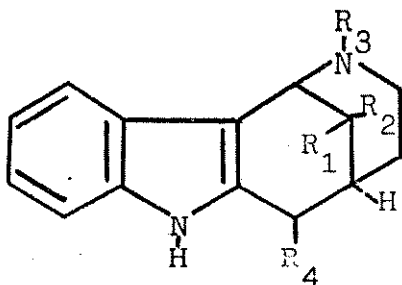




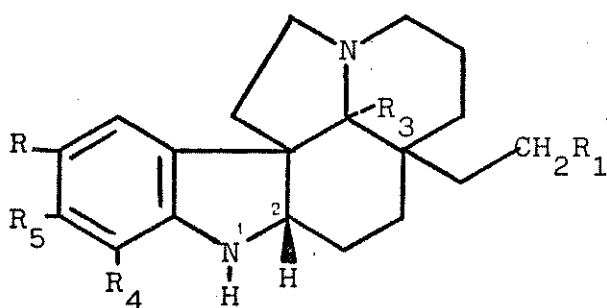
- 4A- R= OH - 17 β ; R₁= R₂= H
 4B- R= OH - 17 α c; R₁= R₂= H Δ19, 20
 4C- R= OH - 17 α C; R₁= R₂= H
 4D- R= OH - 17 α C; R₁= H; R₂= OCH₃
 4E- R= OCOCH₃; R₁= R₂= H
 4F- R= OH; R₁= H; R₂= OCH₃
 4G- R= OH; R₁= OCH₃; R₂= H
 4H- R= OH β ; R₁= H; R₂= OCH₃
 4I- R= OH β ; R₂= R₁= H Δ3
 4J- R= OH β ; R₂= R₁= H, N₄ → O de 1, 3S, 4R
 4K- R= OH β ; R₁= H; R₂= OCH₃, C₂₀H \leftarrow
 4L- R= OH \leftarrow ; R₁= R₂= H
 4M- R= OH \leftarrow ; R₁= R₂= H, C₂₀H \leftarrow
 4N- Δ 3,5 de 1



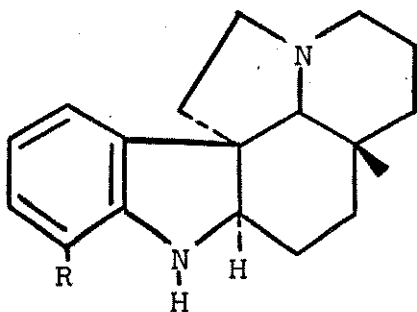
- 17A- R= H, C₂₀H<
 17B- R= OCH₃, C₂₀H<
 17C- R= H, Desidro 19,20; C₂₀H<
 17D- R= H, C₃H<, C₂₀H<
 17E- R= OCH₃, C₂₀H<



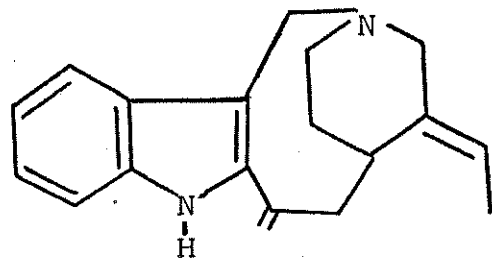
- 8A- $R_1 = CH_2CH_3$; $R_2 = H$; $R_3 = CH_3$; $R_4 = O$
 8B- $R_1 = H$; $R_2 = CH_2CH_3$; $R_3 = CH_3$; $R_4 = CH_2$
 8C- $R_1 = H$; $R_2 = CH_2CH_3$; $R_3 = CH_3$; $R_4 = O$
 8D- $R_1 = R_3 = H$; $R_2 = CH_2CH_3$; $R_4 = O$
 8E- $R_1 = R_3 = H$; $R_2 = C \equiv C \equiv C$; $R_4 = CH_2$
 8F- $R_1 = R_3 = H$; $R_2 = CH_2CH_3$; $R_4 = CH_2$
 8G- $R_1 = H$; $R_2 = CH_2CH_3$; $R_3 = CH_3$; $R_4 = O$
 8H- $R_1 = H$; $R_2 = CH_2CH_3$; $R_3 = CH_3$; $R_4 = OH$
 8I- $R_1 = H$; $R_2 = CH_2CH_3$; $R_3 = CH_3$; $R_4 = CH_2OH$
 8J- $R_1 = CH_2CH_3$; $R_2 = H$; $R_3 = CH_3$; $R_4 = CH_2$
 8K- $R_1 = H$; $R_2 = CH_2CH_3$; $R_3 = R_4 = CH_3$



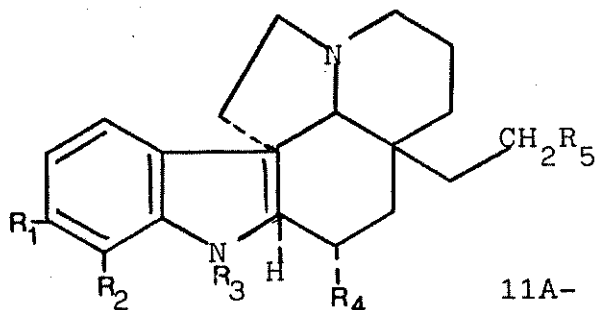
- 10A- $R = R_1 = R_2 = R_3 = H$; $R_4 = R_5 = OCH_3$
 10B- $R = R_1 = R_3 = H$; $R_2 = CH_3CO$; $R_5 = OCH_3$
 10C- $R = R_1 = R_2 = R_4 = R_5 = H$; $R_3 = OH$
 10D- $R = R_1 = R_3 = H$; $R_2 = CH_3CO$; $\Delta 1,2$;
 $R_4 = R_5 = OCH_3$



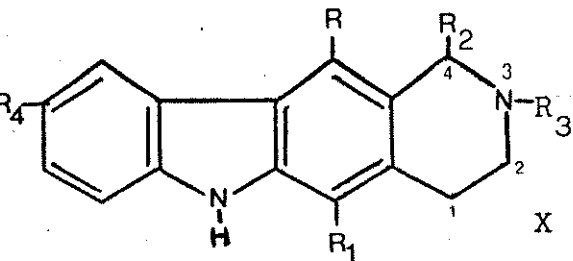
- 19A- $R = H$
 19B- $R = OH$



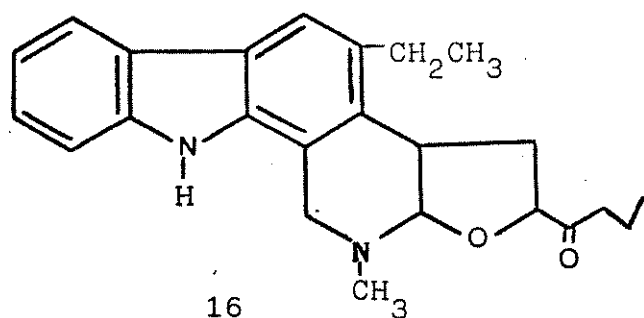
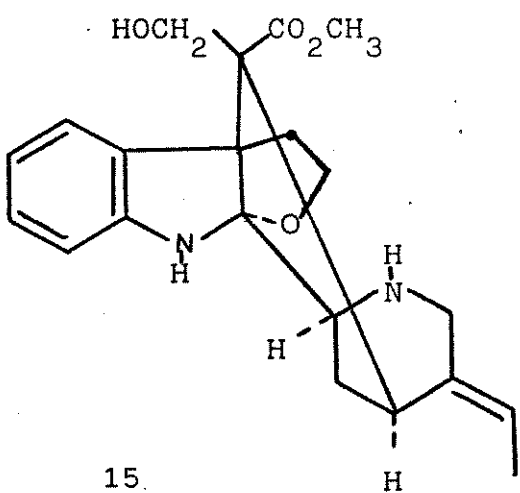
9

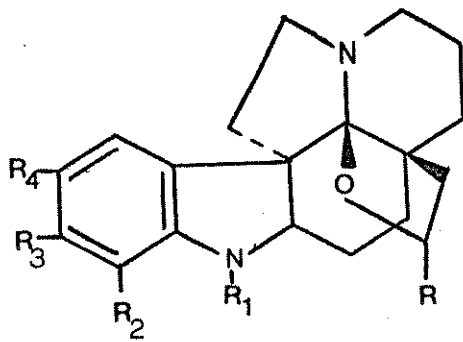


- 11A- $R_1 = R_4 = R_5 = H; R_2 = OCH_3; R_3 = CH_3CO$
 11B- $R_1 = R_2 = R_4 = R_5 = H; R_3 = CH_3CO$
 11C- $R_1 = R_4 = R_5 = H; R_2 = OH; R_3 = CH_3CO$
 11D- $R_1 = R_4 = R_5 = H; R_2 = OCH_3; R_3 = CH_3CH_2CO$
 11E- $R_1 = R_3 = R_4 = R_5 = H; R_2 = OCH_3$
 11F- $R_1 = R_2 = OH; R_3 = CH_3CO; R_4 = R_5 = H$
 11G- $R_1 = R_2 = R_4 = R_5 = H; R_3 = CH_3CH_2CO$
 11H- $R_1 = R_5 = H; R_2 = R_4 = OH; R_3 = CH_3CO$
 11I- $R_1 = R_2 = R_4 = OH; R_3 = CH_3CO; R_5 = H$
 11J- $R_1 = R_4 = R_5 = H; R_2 = OH; R_3 = CH_3CH_2CO$
 11K- $R_1 = R_4 = H; R_2 = R_5 = OH; R_3 = CH_3CO$
 11L- $R_1 = R_2 = R_4 = R_5 = H; R_3 = CH_3$
 11M- $R_1 = OCH_3; R_2 = OH; R_3 = CH_3CO; R_4 = R_5 = H$
 11N- $R_1 = R_2 = R_3 = R_4 = H; R_5 = OH$
 11O- $R_1 = R_2 = R_3 = R_4 = R_5 = H$
 11P- $R_1 = R_4 = H; R_2 = R_5 = OH; R_3 = CH_3CH_2CO$
 11Q- $R_1 = R_4 = H; R_2 = OCH_3; R_3 = CH_3CO; R_5 = OH$
 11R- $R_1 = OCH_3; R_2 = OH; R_3 = CH_3CH_2CO; R_4 = R_5 = H$
 11S- $R_1 = OCH_3; R_2 = R_5 = OH; R_3 = CH_3CH_2CO; R_4 = H$
 11T- $R_1 = R_4 = H; R_2 = R_5 = OH; R_3 = CH_3CO$
 11U- $R_1 = OCH_3; R_2 = R_5 = OH; R_3 = CH_3CO; R_4 = H$
 11V- $R_1 = R_2 = OCH_3; R_3 = CH_3CO; R_4 = R_5 = H$
 11X- $R_1 = R_4 = R_5 = H; R_2 = OH; R_3 = CH_3CH_2CO$
 11Z- $R_1 = R_4 = R_5 = H; R_2 = OCH_3; R_3 = CH_3$

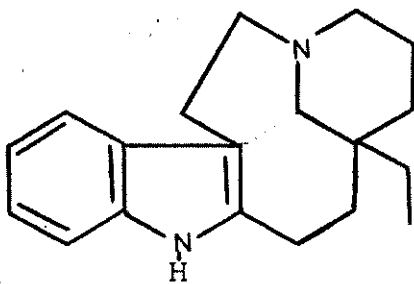


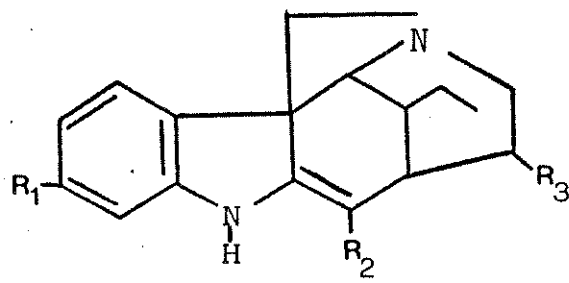
- 13A- $R = R_4 = H; R_1 = R_2 = R_3 = CH_3$
- 13B- $R = R_1 = R_3 = CH_3; R_2 = R_4 = H$
- 13C- $R = R_3 = R_4 = H; R_1 = R_2 = CH_3; \Delta 1,3$
- 13D- $R = R_1 = CH_3; R_2 = R_3 = R_4 = H; \Delta 1,3$
- 13E- $R = R_1 = CH_3; R_2 = R_4 = H; \Delta 3$
- 13F- $R = R_1 = R_3 = CH_3; R_2 = R_4 = H; \Delta 1,3$
- 13G- $R = R_3 = H; R_1 = R_2 = CH_3; R_4 = OCH_3; \Delta 1,3$
- 13H- $R = R_3 = R_4 = H; R_1 = R_2 = CH_3; \Delta 3$
- 13I- $R = R_4 = H; R_1 = R_2 = CH_3; R_3 = O^-; \Delta 1,3$
- 13J- $R = R_1 = CH_3; R_2 = R_4 = H$
- 13K- $R = R_1 = R_2 = R_4 = H; R_3 = CH_3;$
- 13L- $R = R_1 = R_3 = CH_3; R_2 = R_4 = H; \Delta 3$
- 13M- $R = R_1 = CH_3; R_2 = R_4 = H; R_3 = (CH_3)_2$



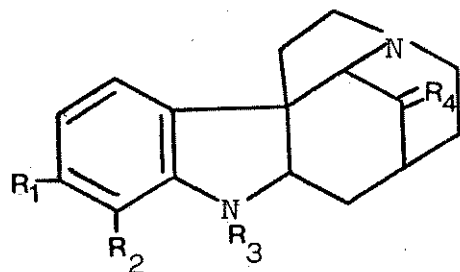


- 18A- $R=O; R_1=R_2=R_3=R_4=H$
 18B- $R=R_3=R_4=H; R_1=CH_3CO; R_2=OH$
 18C- $R=R_1=R_2=R_3=R_4=H$
 18D- $R=R_4=H; R_1=CH_3CO; R_2=R_3=OH$
 18E- $R=R_4=H; R_1=CH_3CH_2CO; R_2=OH; R_3=OCH_3$
 18F- $R=H; R_1=CH_3CO; R_2=OH; R_3=R_4=OCH_3$
 18G- $R=H; R_1=CH_3CH_2CO; R_2=OH; R_3=R_4=OCH_3$
 18H- $R=R_4=H; R_1=CH_3CO; R_2=OH; R_3=OCH_3$
 18I- $R=H; R_1=CH_3CH_2CO; R_2=OH; R_3=R_4=OCH_3$
 18J- $R=O; R_1=CH_3CH_2CO; R_2=R_3=R_4=OCH_3$
 18K- $R=O; R_1=CH_3CH_2CO; R_2=OH; R_3=R_4=H$
 18L- $R=O; R_1=CH_3CO; R_2=R_4=H; R_3=OH$
 18M- $R=R_3=R_4=H; R_1=CH_3CH_2CO; R_2=OH$
 18N- $R=O; R_1=H; R_2=R_3=R_4=OCH_3$

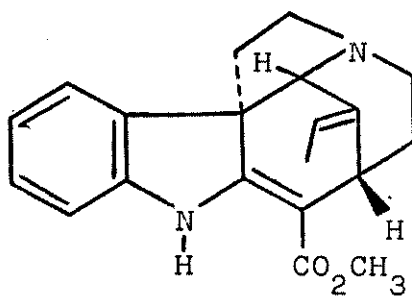


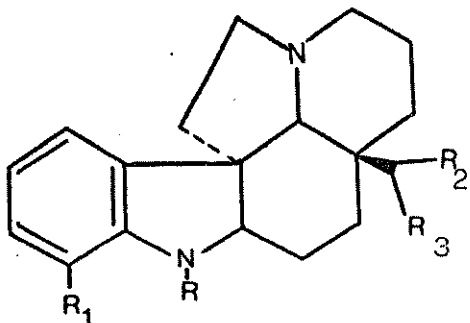


- 12A- $R_1 = OCH_3$; $R_2 = H$; $R_3 = CO_2CH_3$
 12B- $R_1 = OCH_3$; $R_2 = CO_2CH_3$; $R_3 = H$
 12C- $R_1 = R_3 = H$; $R_2 = CO_2CH_3$

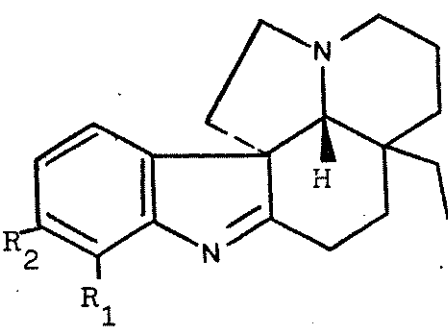


- 21A- $R_1 = H$; $R_2 = OCH_3$; $R_3 = CH_3CO$; $R_4 = CHCH_3$
 21B- $R_1 = R_2 = R_3 = H$; $R_4 = CHCH_3$
 21C- $R_1 = R_2 = H$; $R_3 = CH_3$; $R_4 = CHCH_3$
 21D- $R_1 = R_3 = H$; $R_2 = OCH_3$; $R_4 = CHCH_3$
 21E- $R_1 = H$; $R_2 = OCH_3$; $R_3 = CH_3CO$; $R_4 = CH_3CH_2$
 21F- $R_1 = R_2 = OH$; $R_3 = CH_3CO$; $R_4 = CHCH_3$
 21G- $R_1 = H$; $R_2 = OH$; $R_3 = CH_3CO$; $R_4 = CHCH_3$
 21H- $R_1 = OH$; $R_2 = H$; $R_3 = CH_3CH_2CO$; $R_4 = CHCH_3$
 21I- $R_1 = OH$; $R_2 = OCH_3$; $R_3 = CH_3CO$; $R_4 = CHCH_3$
 21J- $R_1 = OH$; $R_2 = OCH_3$; $R_3 = CH_3CH_2CO$;
 $R_4 = CHCH_3$
 21K- $R_1 = R_2 = OH$; $R_3 = CH_3CO$; $R_4 = CHCH_3$
 21L- $R_1 = H$; $R_2 = OCH_3$; $R_3 = CH_3CO$; $R_4 = CHCH_3$

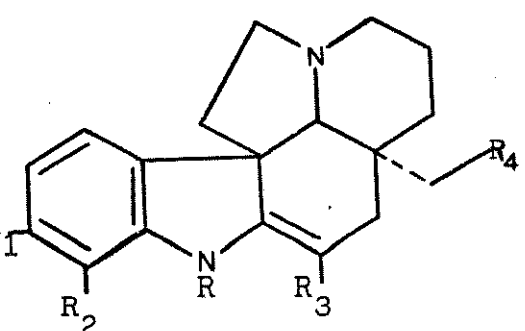




- 22A- $R = \text{CH}_3\text{CO}$; $R_1 = \text{OCH}_3$; $R_2 = \text{H}$; $R_3 = \text{COOCH}_3$
 22B- $R = \text{C}_6\text{H}_5\text{CH}=\text{CHCO}$; $R_1 = \text{OCH}_3$; $R_2 = \text{H}$; $R_3 = \text{COOCH}_3$
 22C- $R = \text{R}_2 = \text{H}$; $R_1 = \text{OCH}_3$; $R_3 = \text{COOCH}_3$
 22D- $R = \text{CH}_3\text{CO}$; $R_1 = \text{OCH}_3$; $R_2 = \text{H}$; $R_3 = \text{CH}_2\text{OH}$
 22E- $R = \text{CH}_3\text{CO}$; $R_1 = \text{OCH}_3$; $R_2 = \text{H}$; $R_3 = \text{COOCH}_3$
 22F- $R = \text{CHO}$; $R_1 = \text{OCH}_3$; $R_2 = \text{H}$; $R_3 = \text{CH}_2\text{OH}$
 22G- $R = \text{CHO}$; $R_1 = \text{OCH}_3$; $R_2 = \text{H}$; $R_3 = \text{COOCH}_3$
 22H- $R = \text{CO} \bullet \text{CH}=\text{CHC}_6\text{H}_5$; $R_1 = \text{OCH}_3$; $R_2 = \text{OH}$; $R_3 = \text{COOCH}_3$
 22I- $R = \text{C}_6\text{H}_5$; $R_1 = \text{OCH}_3$; $R_2 = \text{OH}$; $R_3 = \text{COOCH}_3$
 22J- $R = \text{CO} \bullet \text{CH}_2 \bullet \text{CH}_2\text{C}_6\text{H}_5$; $R_1 = \text{OCH}_3$; $R_2 = \text{OH}$;
 $R_3 = \text{COOCH}_3$
 22K- $R = \text{H}$; $R_1 = \text{OCH}_3$; $R_2 = \text{OH}$; $R_3 = \text{COOCH}_3$
 22L- $R = \text{CHO}$; $R_1 = \text{OCH}_3$; $R_2 = \text{H}$; $R_3 = \text{COOCH}_3$
 22M- $R = \text{CH}_3\text{CO}$; $R_1 = R_2 = \text{H}$; $R_3 = \text{COOCH}_3$
 22N- $R = \text{C}_6\text{H}_5$; $R_1 = \text{OCH}_3$; $R_2 = \text{H}$; $R_3 = \text{COOCH}_3$
 22O- $R = \text{C}_6\text{H}_5$; $R_1 = \text{OCH}_3$; $R_2 = \text{H}$; $R_3 = \text{COOCH}_3$
 22P- $R = \text{C}_6\text{H}_5\text{CO}$; $R_1 = \text{OCH}_3$; $R_2 = \text{H}$; $R_3 = \text{COOCH}_3$

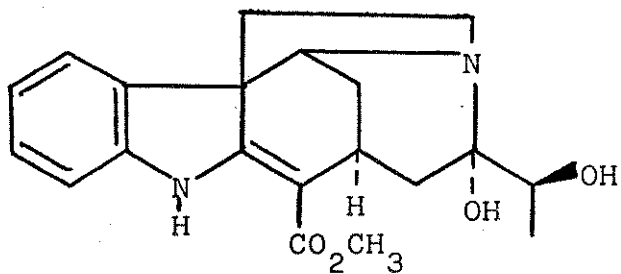


- 34A- $R_1 = R_2 = \text{H}$
 34B- $R_1 = R_2 = \text{OCH}_3$

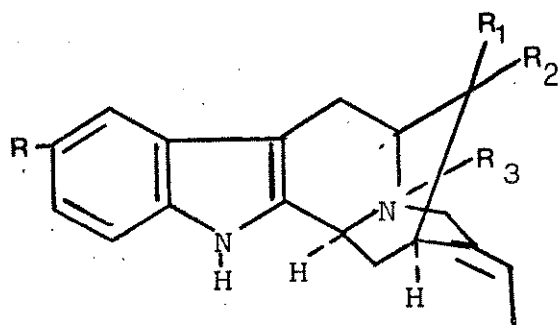


- 38A- $R = R_1 = R_2 = \text{H}$; $R_3 = \text{COOCH}_3$; $R_4 = \text{CH}_3$
 38B- $R = \text{CH}_3\text{CO}$; $R_1 = \text{OCH}_3$; $R_2 = \text{OH}$; $R_3 = \text{H}$; $R_4 = \text{CH}_2\text{OH}$

Quadro 1 (cont.)



29



14A- $R = \text{H}$; $R_1 = \text{CO}_2\text{CH}_3$; $R_2 = \text{CHO}$; $R_3 = \text{ausente}$

14B- $R = \text{R}_1 = \text{H}$; $R_2 = \text{CH}_2\text{OH}$; $R_3 = \text{ausente}$

14C- $R = \text{H}$; $R_1 = \text{CH}_2\text{OH}$; $R_2 = \text{CO}_2\text{CH}_3$;
 $R_3 = \text{ausente}$

14D- $R = R_1 = \text{H}$; $R_2 = \text{CH}_2\text{OH}$; $R_3 = \text{CH}_3$

14E- $R = R_1 = \text{H}$; $R_2 = \text{CO}_2\text{CH}_3$; $R_3 = \text{CH}_3$

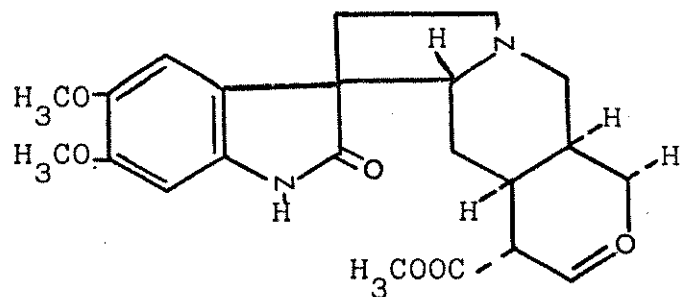
14F- $R = \text{H}$; $R_1 = \text{CO}_2\text{CH}_3$; $R_2 = \text{CH}_2\text{OH}$;
 $R_3 = \text{ausente}$

14G- $R = \text{H}$; $R_1 = \text{CO}_2\text{CH}_3$; $R_2 = \text{CH}_2\text{OH}$; $R_3 = \text{H}$

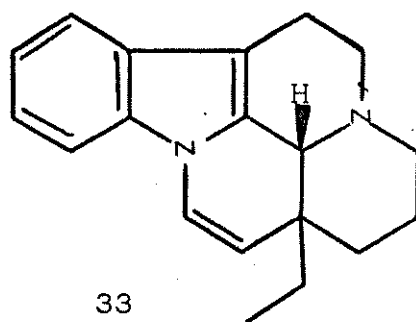
14H- $R = \text{OH}$; $R_1 = \text{H}$; $R_2 = \text{CH}_2\text{OH}$; $R_3 = \text{CH}_3$

Quadro 1 (cont.)

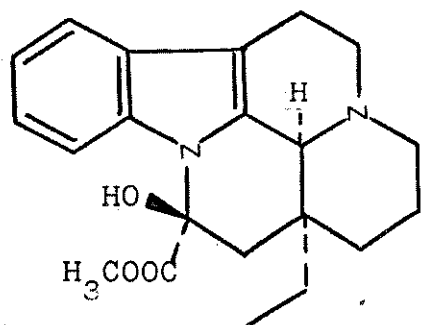
32



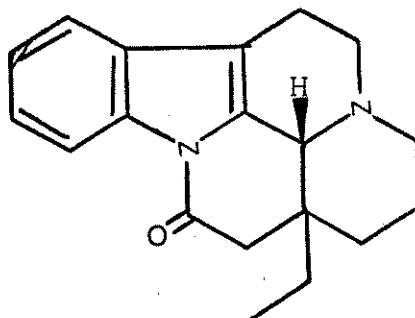
26



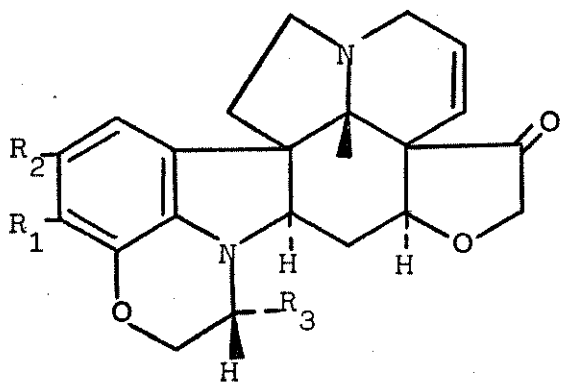
33



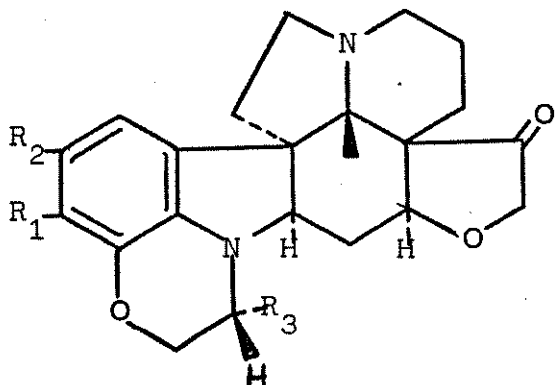
40



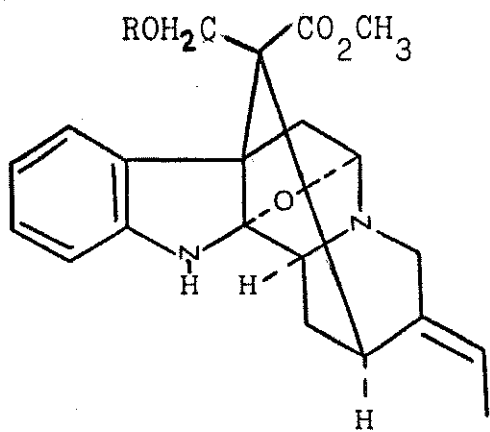
42



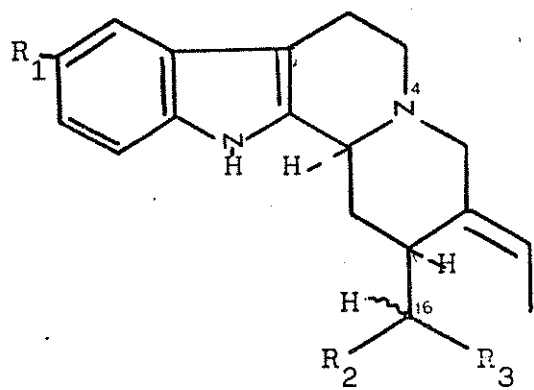
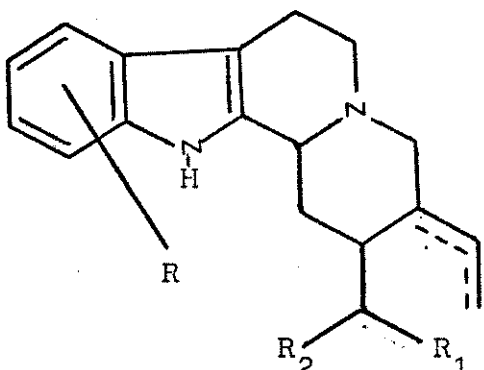
- 35A - $R_1 = R_2 = OCH_3$; $R_3 = CH_3$
- 35B - $R_1 = R_2 = OCH_3$; $R_3 = CH_3CH_2$
- 35C - $R_1 = OCH_3$; $R_2 = R_3 = H$
- 35D - $R_1 = OCH_3$; $R_2 = H$; $R_3 = CH_3CH_2$

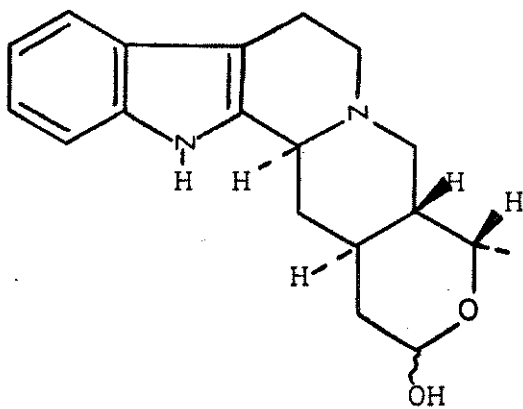
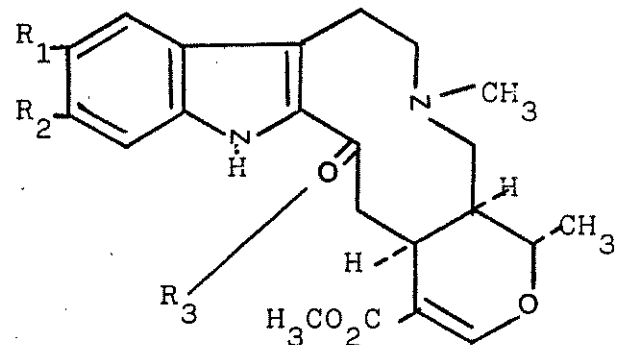
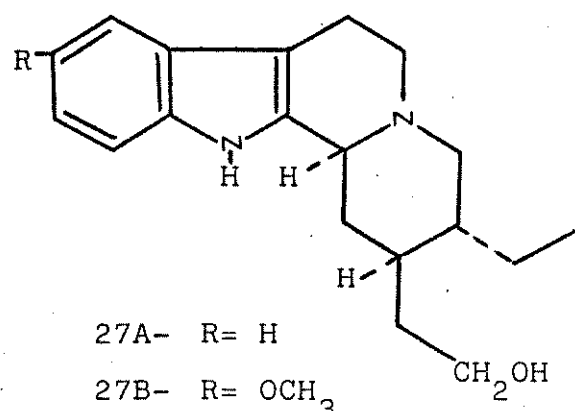
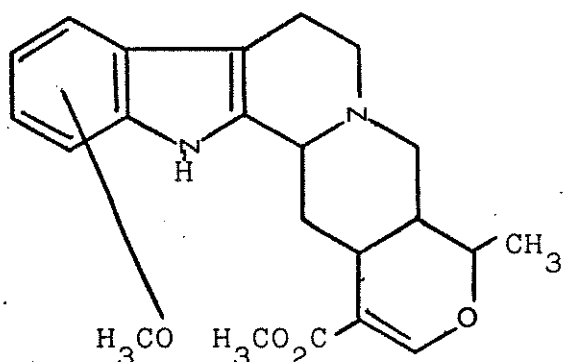
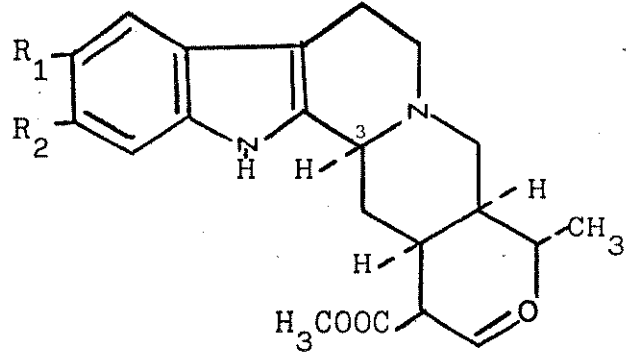


- 36A - $R_1 = R_2 = OCH_3$; $R_3 = CH_3$
- 36B - $R_1 = R_2 = OCH_3$; $R_3 = CH_3CH_2$

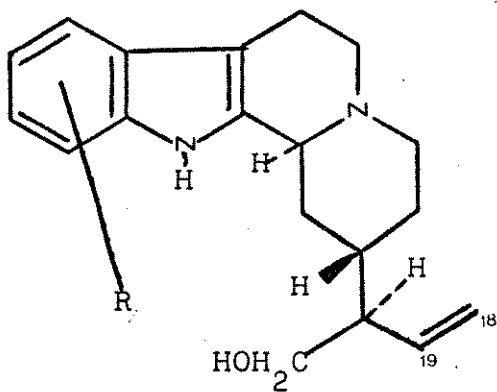
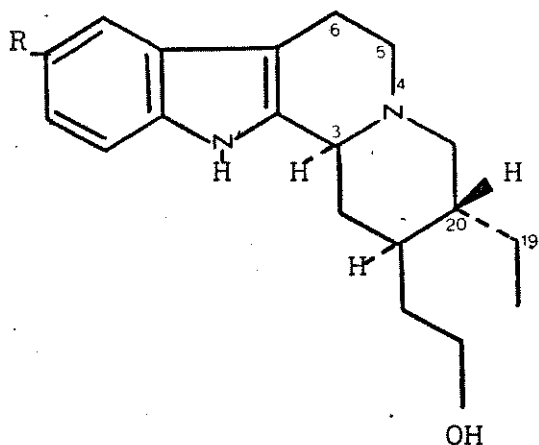
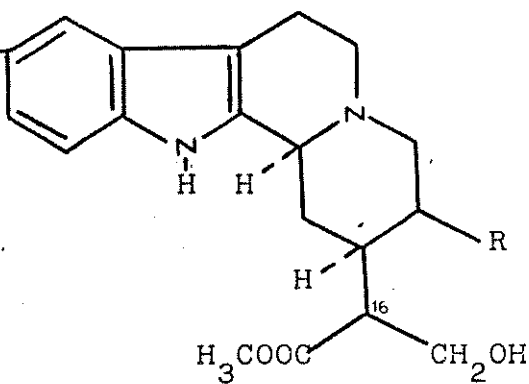
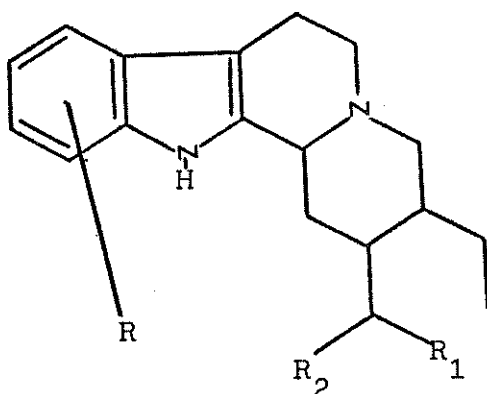


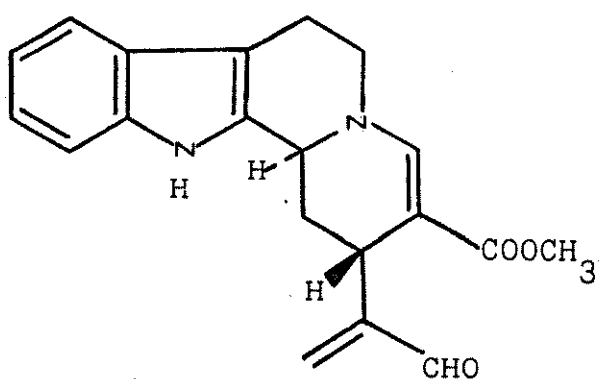
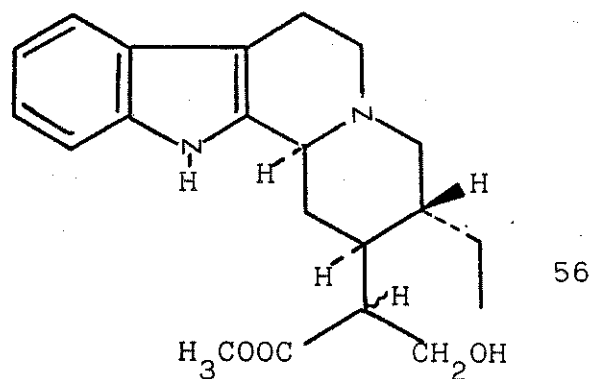
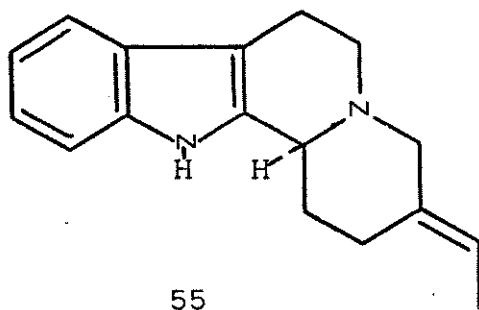
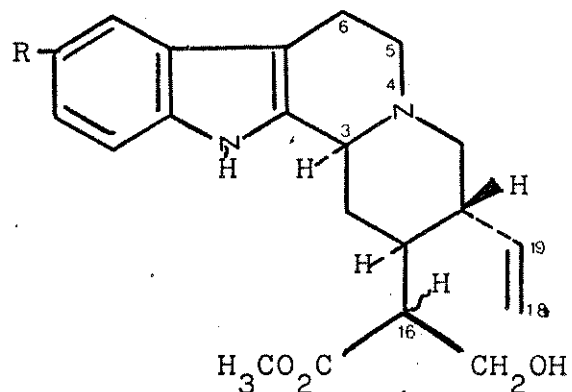
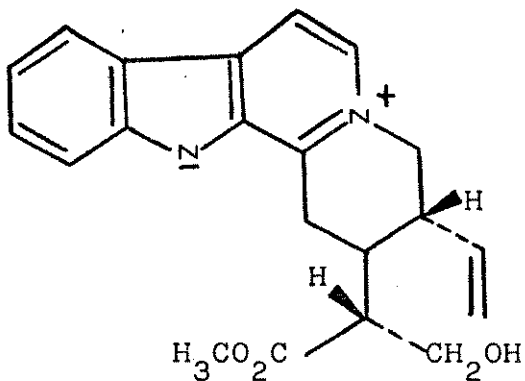
23A- R= H

23B- R= CH₃CO24A- R₁= H; R₂= CH₂OH; R₃= CO₂CH₃; 16R24B- R₁= H; R₂= CH₂OH; R₃= CO₂CH₃; N(4S)→O;
16R24C- R₁= H; R₂= CH₂OH; R₃= CO₂CH₃; N(4S)→O;
16S24D- R₁= H; R₂= CH₂OH; R₃= CO₂CH₃; 16S24E- R₁= OCH₃; R₂= CO₂CH₃; R₃= CH₂OH28A- R= OCH₃; R₁= CH=CHOH; R₂= CO₂CH₃28B- R= R₁= H; R₂= CH₂OH28C- R= H; R₁= CHOH; R₂= CO₂CH₃28D- R= OCH₃; R₁= CH₂OH; R₂= CO₂CH₃28E- R= OCH₃; R₁= CHOH; R₂= CO₂CH₃28F- R= OCH₃; R₁= CH₂OH; R₂= CO₂CH₃



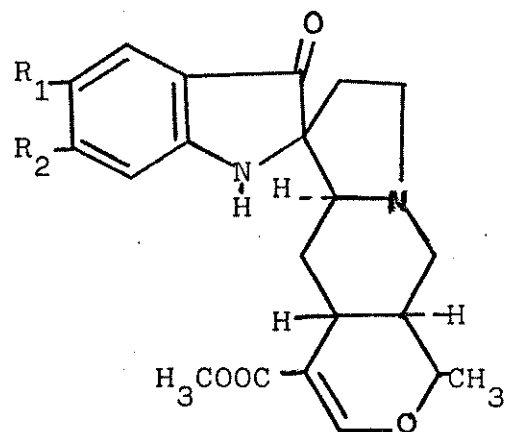
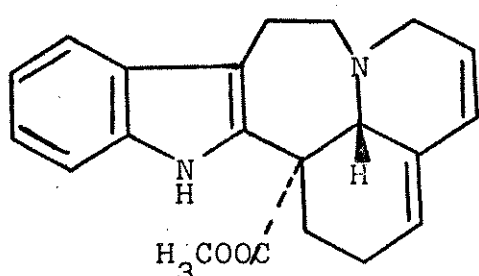
Quadro 1 (cont.)



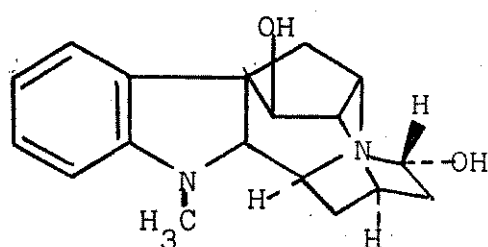


56A- 16R

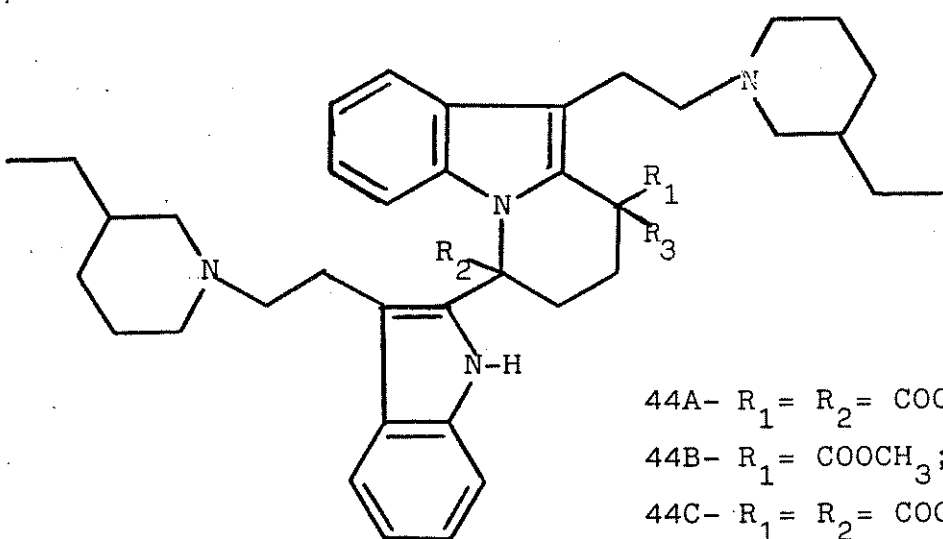
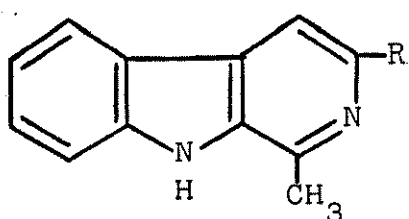
56B 16S

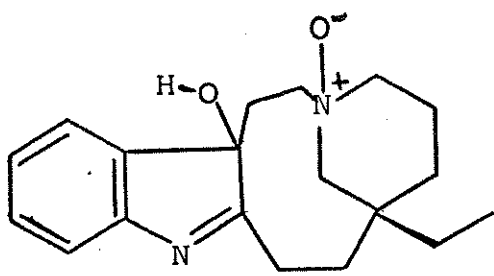
32A- $R_1 = R_2 = \text{OCH}_3$ 32B- $R_1 = R_2 = \text{H}$ 

41

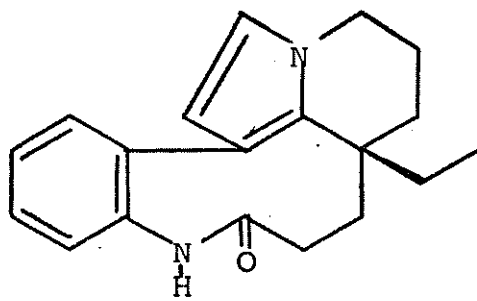


43

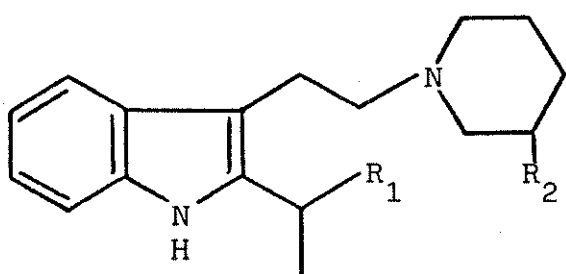
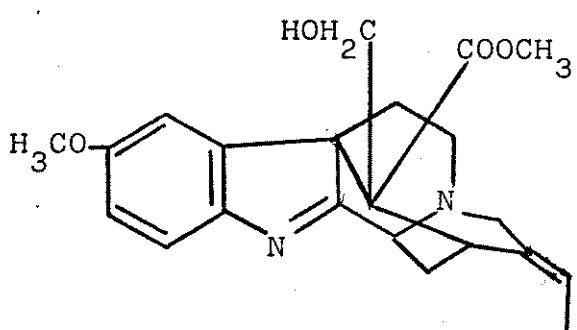
44A- $R_1 = R_2 = \text{COOCH}_3; R_3 = \text{H}$ 44B- $R_1 = \text{COOCH}_3; R_2 = R_3 = \text{H}$ 44C- $R_1 = R_2 = \text{COOCH}_3; R_3 = \text{OH}$ 44D- $R_1 = \text{COOCH}_3; R_2 = \text{H}; R_3 = \text{OH}$ 44E- $R_1 = R_2 = R_3 = \text{H}$ 46A- $R = \text{COOCH}_2\text{CH}_3$ 46B- $R = \text{COOH}$



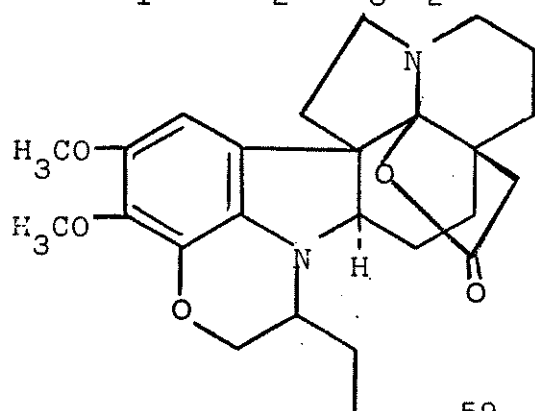
49



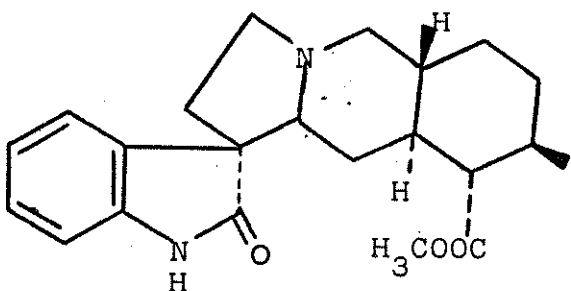
50

53A- $R_1 = H; R_2 = CH_3CO$ 53B- $R_1 = COOCH_3; R_2 = CH_3CH_2$ 53C- $R_1 = H; R_2 = CH_3CH_2$ 

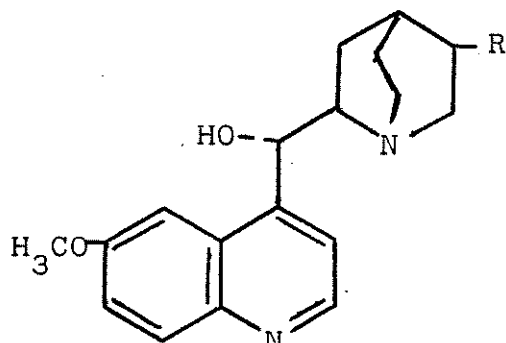
51



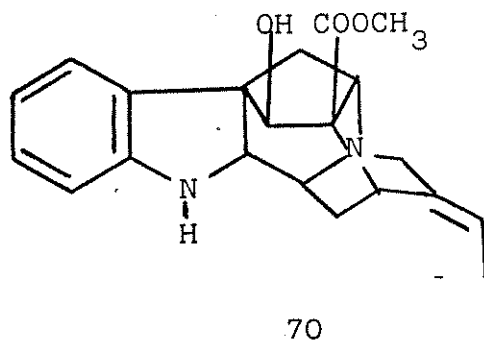
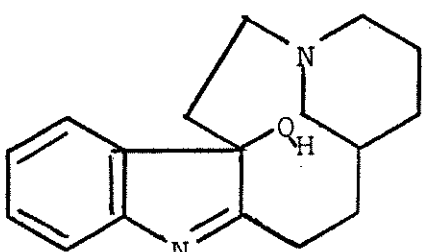
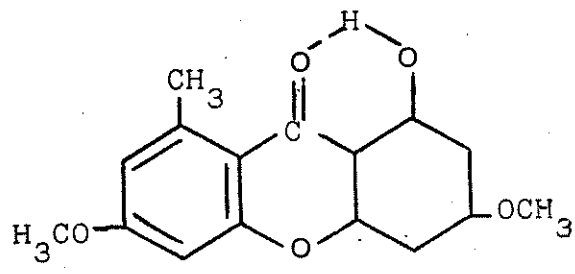
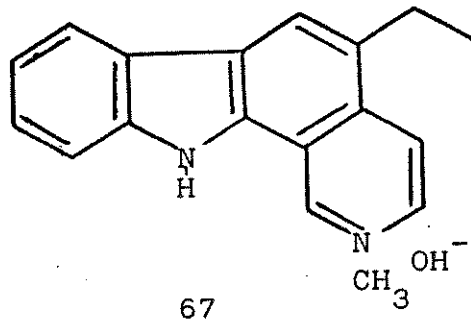
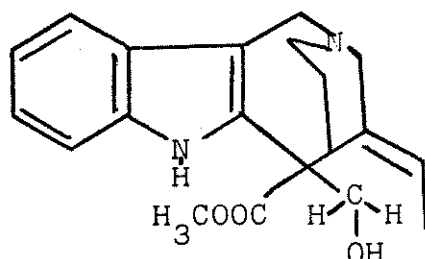
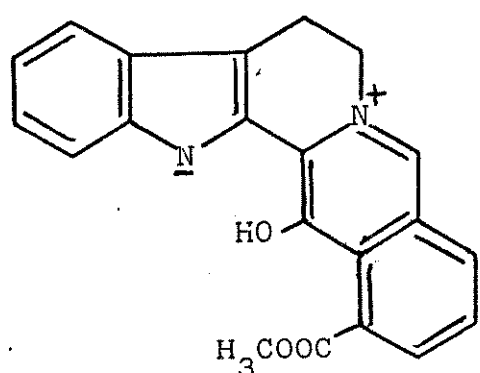
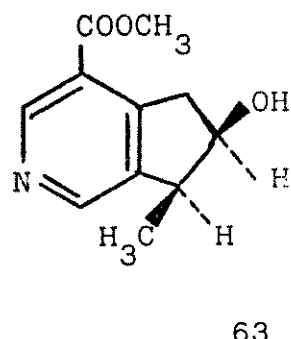
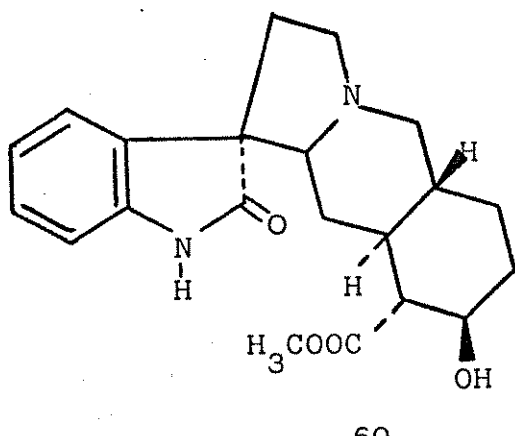
59

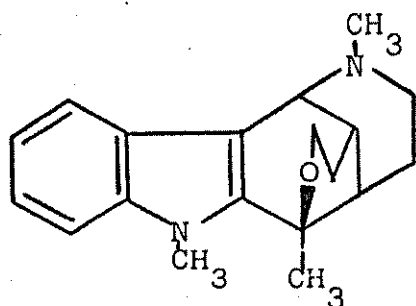


61

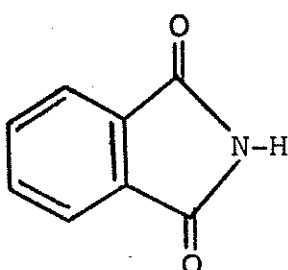
58A- $R = CH=CH_2$ 58B- $R = CH_3CH_2$

Quadro 1 (cont.)

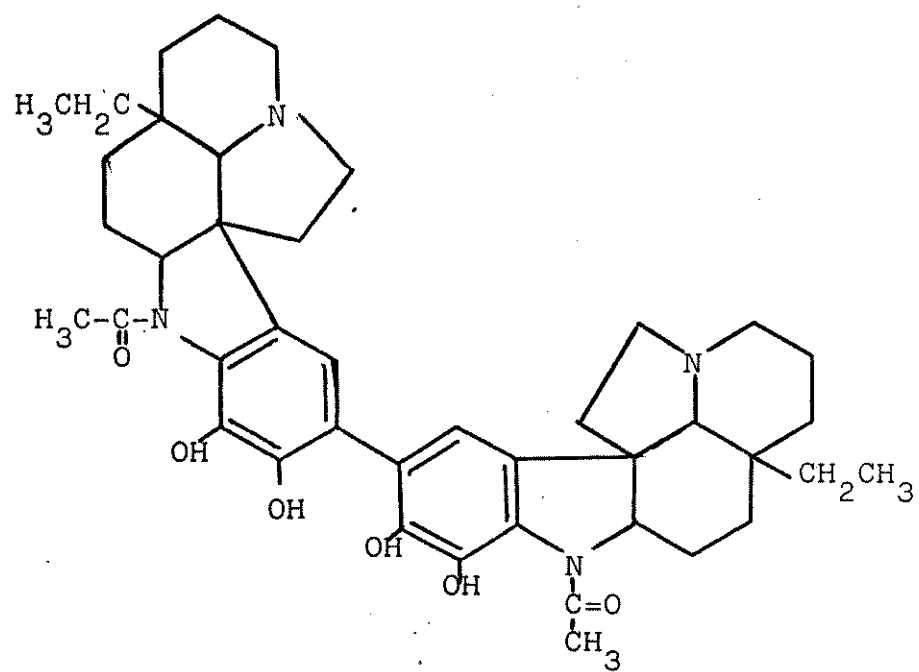




71



72



73

Capítulo II

Estudo Fitoquímico de *Aspidosperma ramiflorum* Muell. Arg.

1 - Descrição da Planta

Divisão: Angiospermae

Classe : Dicotyledoneae

Ordem : Gentianales

Família: Apocynaceae

Sub-Família: Plumerioideae

Tribo : Plumerieae

Gênero : Aspidosperma

Espécie: A. ramiflorum

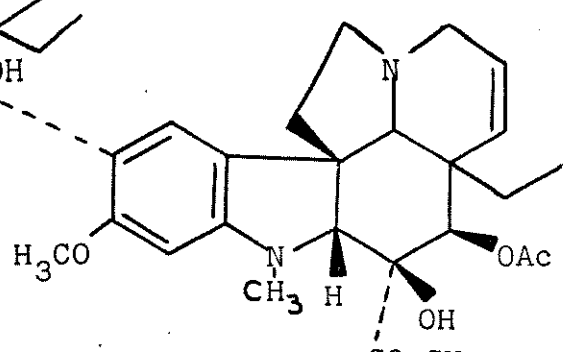
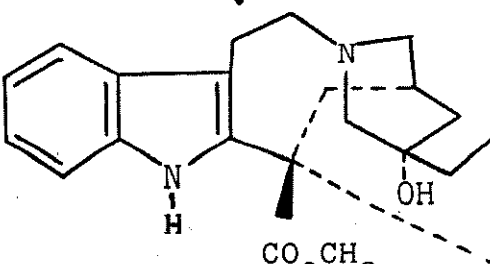
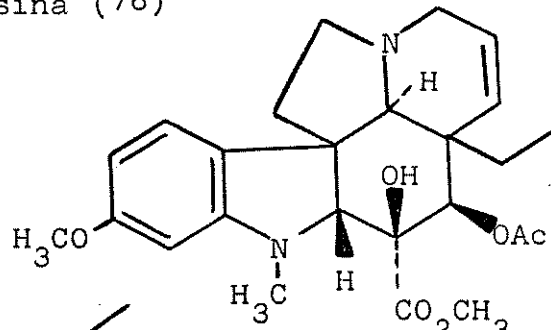
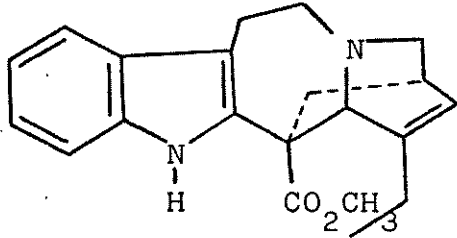
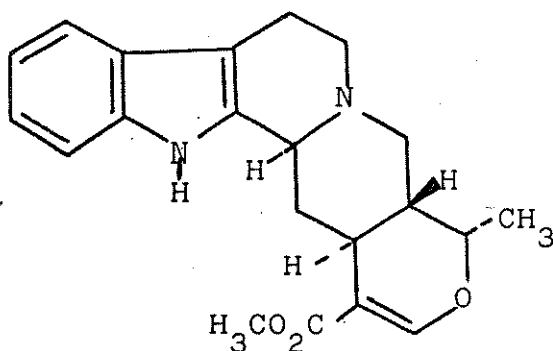
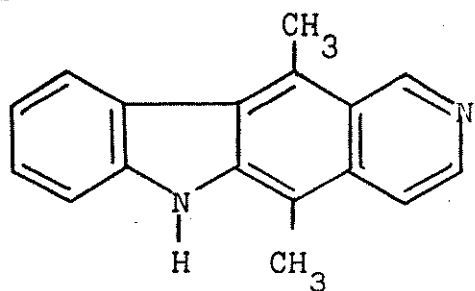
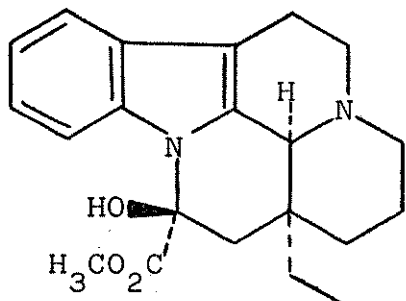
Denominação Vulgar: Guatambu Amarelo

Entre os gêneros da família Apocynaceae de ocorrência no Brasil, Aspidosperma é um dos mais interessantes do ponto de vista fitoquímico. O número de espécies deste gênero é discutível mas segundo Woodson¹ são 56 distribuídas em 9 séries. B. Gilbert² e colaboradores estudaram a grande maioria das Aspidosperma, isolando e descrevendo mais de uma centena de alcalóides indólicos. A única das séries de Woodson que não foi objeto de estudo é a série Ramiflora cuja única espécie Aspidosperma ramiflorum é objeto desta tese.

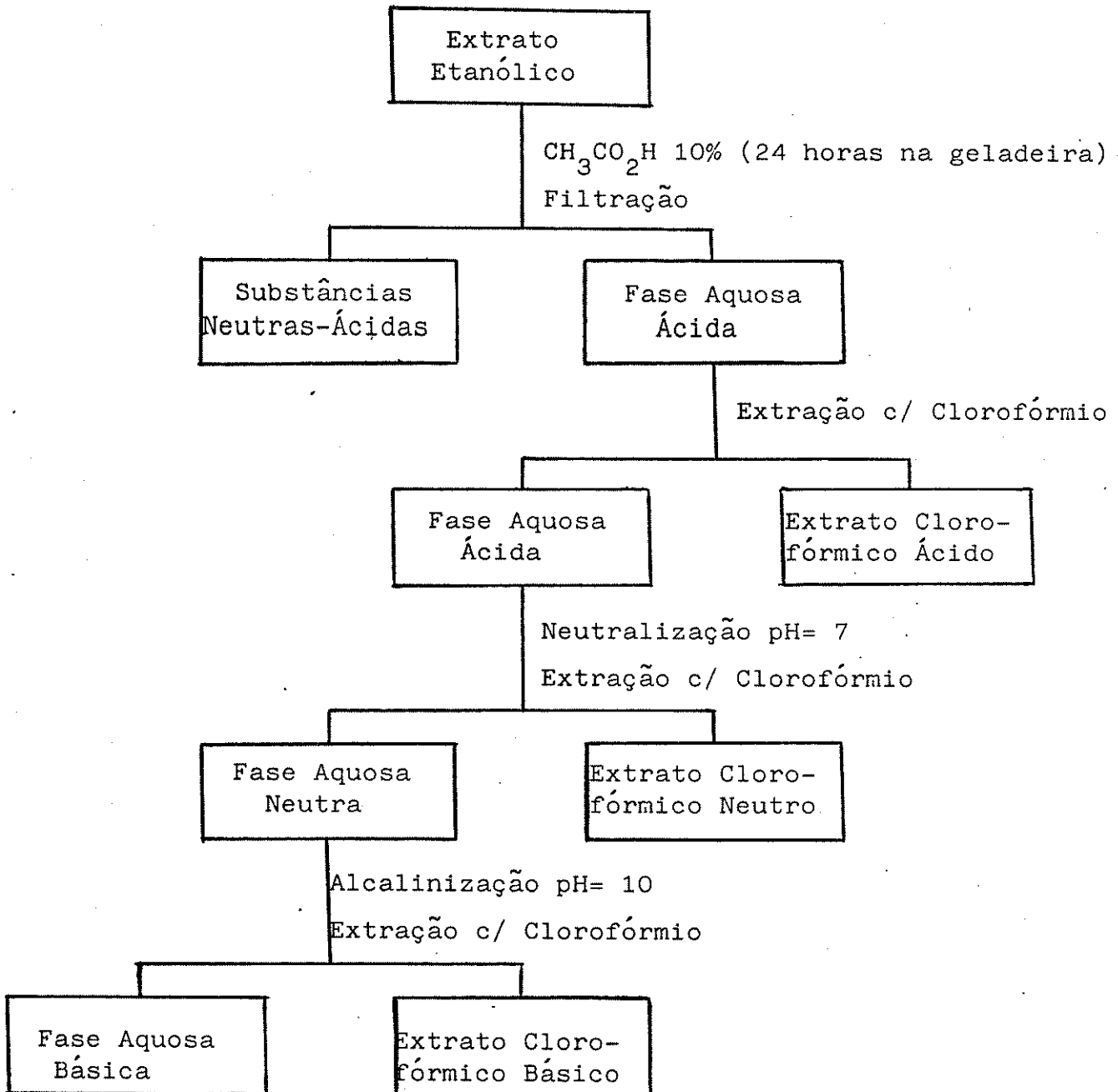
O interesse pelo gênero Aspidosperma se deve também ao fato deste ser muito rico em alcalóides, substâncias nitrogenadas que podem apresentar atividade biológica. O estudo deste gênero poderá permitir a localização de espécies que contenham substâncias abundantes com atividade já reconhecida, tais como: Vincamina (vasodilatador)¹²⁷ (74), Elipticina (anticancer)¹²⁸(75), Raubasina (antihipertensivo, tranquilizante¹²⁹ (76), etc., ou passíveis de serem transformados em quimioterápicos tradicionais como por exemplo a Catarantina (77) e a Vindolina (78) que podem ser acopladas, química ou enzimáticamente, para reproduzir Vimblastina (VLB) (79), anticancerígeno¹³⁰ (Ver quadro 2).

Aspidosperma ramiflorum é uma árvore com mais de 30 metros de altura e se distribui em toda mata Atlântica, sudeste brasileiro, e sendo encontrada até no estado de Goiás. O material estudado foi coletado em Porto Ferreira - São Paulo e foi submetido a um estudo dos constituintes químicos das cascas do caule e de uma pequena quantidade de sementes.

O material depois de seco em estufa a 40°C por vários dias, foi finamente moído em moinho de faca Wiley e submetido a extração com clorofórmio e etanol. Em função do objetivo de isolar somente os alcalóides presentes nestes extratos procedeu-se uma separação ácido-base permitindo a eliminação de substâncias neutras e ácidas. Procurando simplificar mais ainda o material a ser estudado, a fase aquosa ácida contendo os alcalóides protonados foi submetida a uma sistemática de elevação de pH acompanhada de extração com solventes orgânicos. Este procedimento está summarizado no esquema 2 e permite obter misturas mais simples dos alcalóides de acordo com suas basicidades.

Quadro 2

Esquema 2



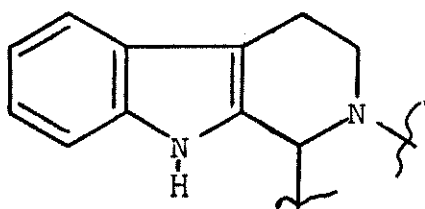
2.2 - Estudo das Sementes

Uma das características de Aspidosperma é que os frutos são desíscentes o que dificulta a obtenção de sementes devido a sua dispersão em uma área muito grande. Foram coletadas 250 gramas de sementes. Em função da pequena quantidade de semente, estudou-se apenas o extrato neutro (Esquema 3 pag. 77), pois os extratos ácido, básico e butanolico além da pouca quantidade de material, apresentavam misturas intratáveis.

Do extrato neutro, foi isolado β -yohimbina (80) e uma pequena quantidade de 10-metoxigeissoschizol(81).

β -Yohimbina

Por cromatografia em coluna do extrato neutro foi isolado um composto principal que cristalizou em metanol e fundiu a 231°C. Seu espectro na região de ultravioleta apresentou absorções características dos alcalóides indólicos sem substituição no anel aromático, sendo responsável por estas absorções, o cromóforo do tipo f¹³¹:



Cromóforo 1

Absorções no ultravioleta:

EtOH

$\lambda_{\text{max.}}^{\text{EtOH}} = 225\text{nm} (\log \epsilon 4,34); 281\text{nm} (\log \epsilon 3,73); 298\text{nm} (\log \epsilon 3,665).$

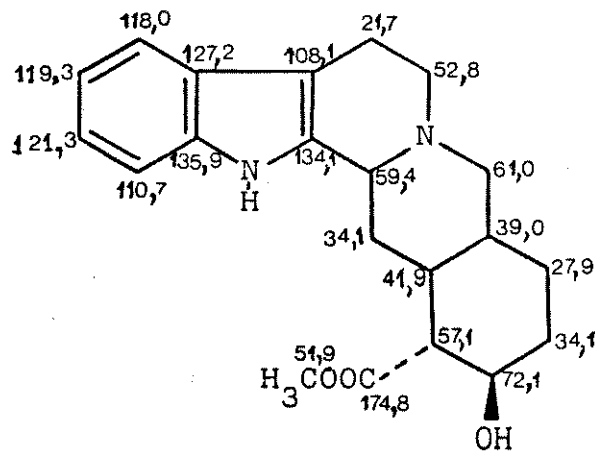
No infravermelho, foi possível identificar as bandas correspondentes à: OH (3520 cm^{-1}), NH indólico (3400 e 3220 cm^{-1}) e CO_2CH_3 (1730 cm^{-1}).

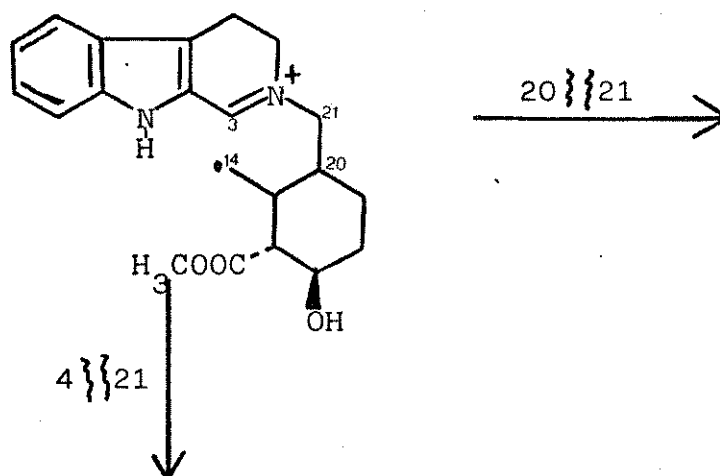
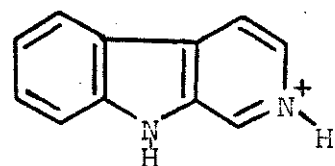
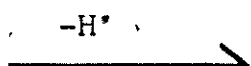
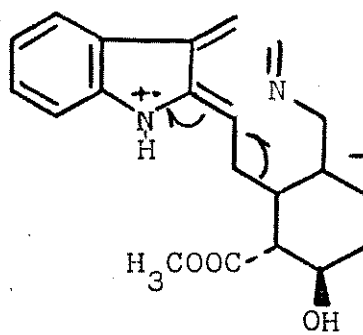
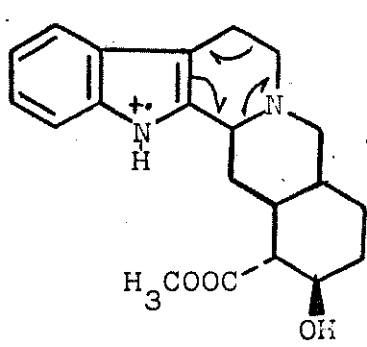
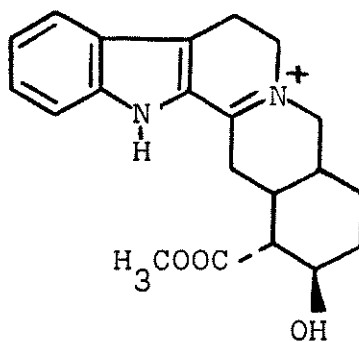
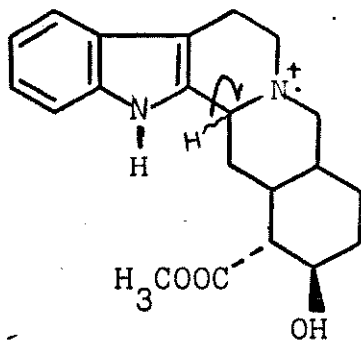
A fragmentação do espectro de massa do composto mostrou a seguinte fragmentação: m/e 354 (M^+ , 100%); 353 ($M^+ - 1$, 93%); 323 ($M^+ - \text{OCH}_3$, 6%); 295 ($M^+ - \text{CO}_2\text{CH}_3$, 24%); 184 (fragmento a, 37%); 170 (fragmento b, 46%); 169 (fragmento c, 58%); 156 (fragmento d, 36%). No quadro 3³⁶, são apresentados os fragmentos a, b, c e d.

O espectro de RMN de ^1H confirmou a presença do NH indólico (s1, 8,05 ppm 1H), que desaparece com a adição de água deuterada, a inexistência de substituintes no anel aromático (m, 7,50–6,80 ppm, 4H) e mostrou a existência de um grupo $-\text{COOCH}_3$ cujo sinal foi observado a 3,80 ppm (s1, 3H). Em 2,25 ppm observou-se o sinal do grupo OH.

A comparação dos dados analisados, com resultados encontrados na literatura¹³², levaram a conclusão que o composto isolado é α -yohimbina (80).

O espectro de RMN de ^{13}C e o uso de cromatografia em camada delgada com padrão, confirmaram definitivamente a estrutura da molécula.



Quadro 3Fragmento a m/e 184Fragmento b m/e 170Fragmento c m/e 169Fragmento d
m/e 156

m/e 353

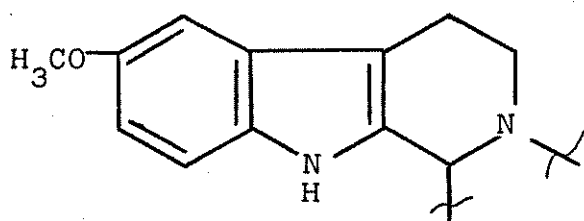
10-metoxigeissoschizol.

Este alcalóide foi isolado dos extratos 1B (semente, pag.76) 2C (casca, pag.81) e 2B (casca, pag. 83) por cromatografia em coluna e purificado por cromatografia em camada delgada.

O espectro de ultravioleta deste alcalóide mostrou absorções típicas dos alcalóides indólicos possuindo uma metoxila como substituinte na posição 10¹³³.

$\lambda_{\text{max}}^{\text{EtOH}} = 224,3 \text{nm} (\log 4,4); 281,1 \text{nm} (\log 3,9); 293,6 \text{nm} (\log 3,8).$

A partir deste dado estabeleceu-se que o composto tem o cromoforo 2¹³³:



Cromoforo 2

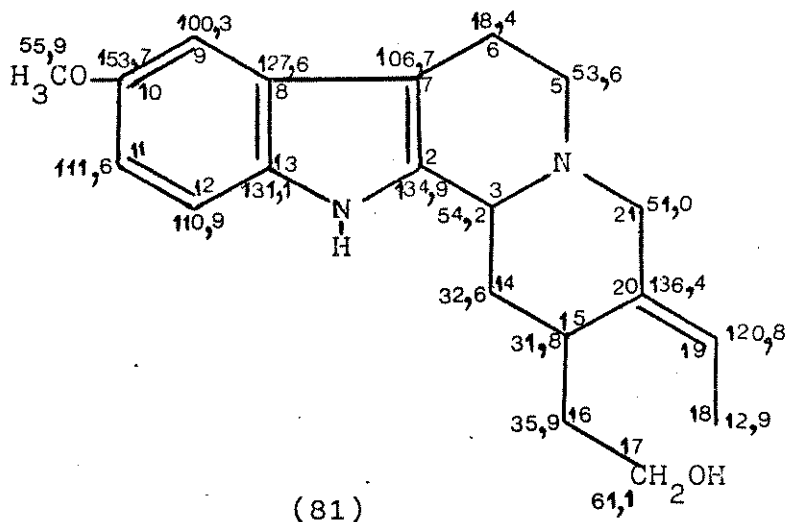
O espectro de infravermelho mostrou absorções em: 3350 cm^{-1} (OH); 3250 cm^{-1} (NH) e 1210 cm^{-1} (-C-O-C-).

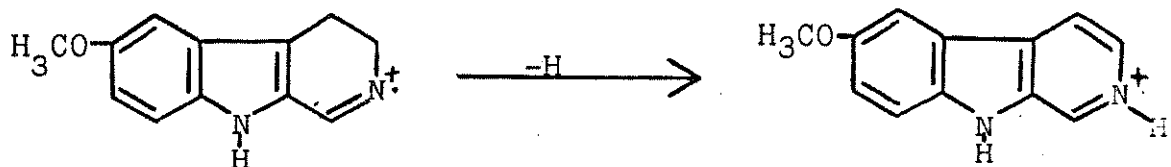
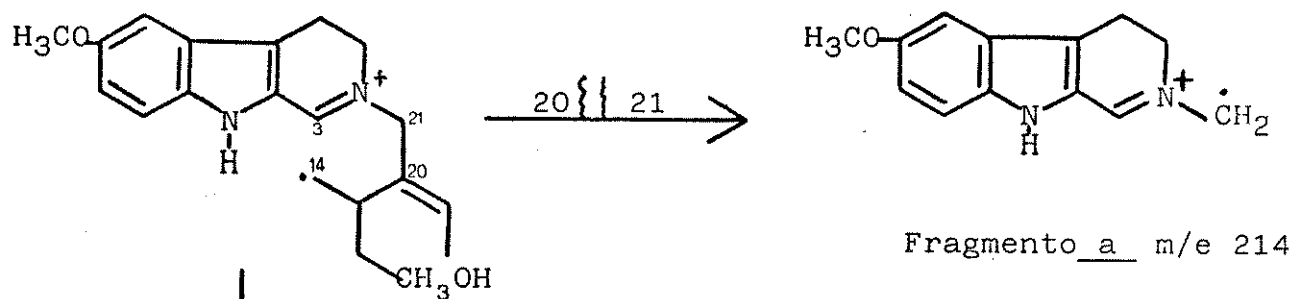
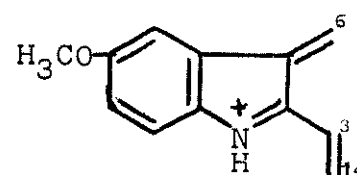
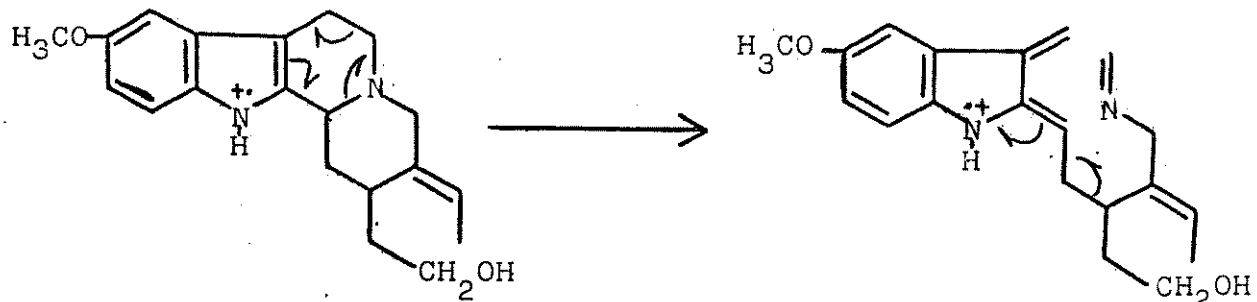
O espectro de RMN de ^1H , mostrou 3H aromáticos (m, 7,40 - 6,60 ppm) sugerindo uma substituição em C-10 que foi confirmada pelo espectro de ultravioleta. O NH indólico aparece em 8,90 ppm (s, 1H) e observa-se o sinal do grupo $-\text{OCH}_3$ a 3,90 ppm (s, 3H). O sinal em 5,40 ppm corresponde ao grupo $\text{C}=\text{CH}$ (m, 1H) que deve estar ligado a um CH_3 cujo sinal é observado em 1,50 ppm (d, J= 6Hz, 3H).

O espectro de massa mostrou os seguintes sinais: m/e 326 (M^+ 100%); 325 ($M^+ - 1$, 98%); 311 ($M^+ - CH_3$, 7%); 295 ($M^+ - CH_2 OH$, 21%); 281 ($M^+ - CH_2 CH_2 OH$, 34%); 267 (15%); 253 (14%); 214 (fragmento a, 29%); 200 (fragmento b, 29%); 199 (fragmento c, 45%); 186 (fragmento d, 29%). No quadro 4134, são mostrados os fragmentos de a a d.

Com base nos dados apresentados e resultados encontrados na literatura¹¹, chegou-se a conclusão que o composto isolado é 10-metoxigeissoschizol.

A comparação do espectro de RMN de ^{13}C ³², com dados anteriores e o uso de cromatografia em camada delgada com padrão, confirmaram definitivamente a estrutura da molécula como sendo:



Quadro 4Fragmento c m/e 199Fragmento d m/e 156

2.3 - Estudo das Cascas do Caule

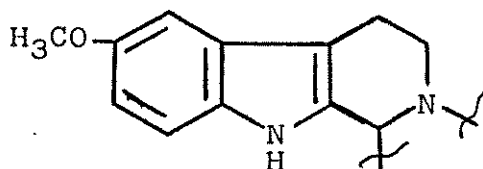
As cascas do caule de Aspidosperma ramiflorum após procedimentos usuais de secagem e Trituração foram extraídas com etanol. O extrato etanólico bruto foi submetido a tratamento ácido-base com o objetivo de isolar os alcalóides das demais substâncias. Após a sistemática de extração sumarizada no esquema 6 (pag.90), obteve-se um total de 10 gramas de alcalóides totais divididos nos extratos A, B, C.

Das cascas do caule de Aspidosperma ramiflorum, foram estudados os extratos neutros, básico e o precipitado formado durante a neutralização da fase aquosa ácida, tendo sido isolados três compostos, um dos quais 10-metoxigeissoschizol, também isolado das sementes, e dois outros alcalóides indólicos.

Ramiflorina A.

Dos extratos, 3B (pag.86 - extrato clorofórmico neutro), extrato A (esquema 6), extrato C (esquema 6 pag.90) e extrato 5E (descrito na pag.91) foi isolado um composto amorfó que fundiu a 194°C.

O espectro de ultravioleta (Figura 2. Pag.102) deste composto mostrou bandas de absorção características de alcalóides indólicos, possuindo uma metoxila como substituinte na posição 10^{-133} .
 $\lambda_{\text{max.}}^{\text{EtOH}} = 224\text{nm} (\log \epsilon 4,9); 280\text{nm} (\log \epsilon 4,4); 288\text{nm} (\log \epsilon 4,3)$.



Cromoforo 2

O espectro de infravermelho (figura 3: pag.103) apresentou o sinal do grupo NH em 3420 cm^{-1} e do grupo $-\text{C}-\text{O}-\text{C}-$ em 1220 cm^{-1} .

No espectro de RMN de ^1H ((figuras 5 e 6, pag.105 e 106) foram observados os sinais do grupo NH indólico (s1), a 7,9 ppm que desaparece após deuteração, 7H aromáticos (m, 6,6 - 7,4 ppm) que sugere a existência de somente um grupo metoxila na molécula. Fato este comprovado também pela presença de 3H na região de metoxila (s1, 3,8 ppm). O espectro de RMN de ^1H também mostra a existência de um grupo $=\text{CH}$ (1H) em 5,5 ppm que deve estar acoplado a um CH_3 (d, $J=6\text{Hz}$ 3H) em 1,7 ppm, absorções características do grupo $=\text{CH}-\text{CH}_3$ possivelmente ligado a C-20.

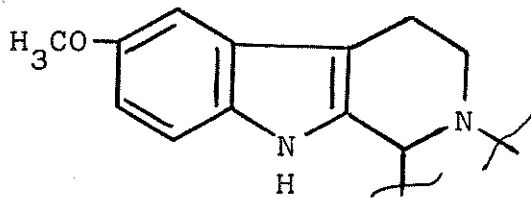
O espectro de massa (figura 4 pag.104) mostrou os seguintes sinais: m/e 466 (M^{++} , 23%); 449 (1%); 436 (2%); 283 (19%); 282 (77%); 279 (33%); 253 (12%); 201 (25%); 186 (27%); 185 (100%); 184 (16%); 171 (38%); 119 (22%); 117 (24%).

Ramiflorina B

Um segundo alcalóide muito semelhante a ramiflorina A foi isolado dos seguintes extratos: extrato 3B (pag.86), extrato C, (esquema 6 pag.90), extrato 5E (pag.91).

O espectro de ultravioleta (figura 9 pag. 109) apresentou bandas de absorções características de alcalóides indólicos, possuindo uma metoxila como substituinte na posição 10¹³³.

$\lambda_{\text{max.}}^{\text{EtOH}} = 224\text{nm} (\log \epsilon 4,91); 280\text{nm} (\log \epsilon 4,40); 288\text{nm} (\log \epsilon 4,31).$



Cromoforo 2

No espectro de infravermelho (figura 10 pag. 110) observou-se os sinais dos grupos: NH a 3400 cm^{-1} , -C=O-C- a 1210 cm^{-1} .

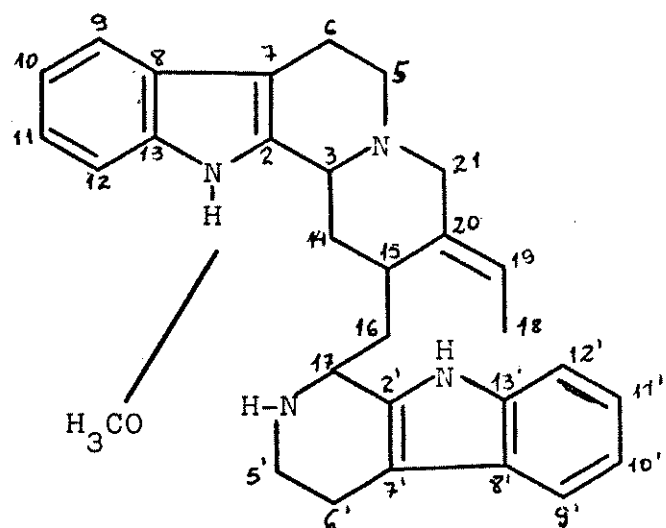
O espectro de RMN de ^1H (figuras 12 e 13 pag. 111 e 112), mostrou os sinais dos grupos NH indólico (s1, 1H) 9,2 ppm, que desaparece após a deuteração, e de 7H aromáticos (m, 6,75 – 7,45 ppm) que confirmam a hipótese de que, também neste composto só existe um grupo metoxila na molécula. Este fato foi comprovado também pela existência de 3H na região de metoxila (s1, 3,8 ppm). O espectro de RMN de ^1H mostra a presença de um grupo =CH (m, 1H) na região de 5,3 ppm acoplado a um CH_3 (d, J= 6Hz, 3H) 1,5 ppm sugerindo que um grupo =CH CH_3 está presente na molécula.

O espectro de massa (figura 11 pag.111) mostrou os seguintes sinais: m/e 466 (M^+ , 25%); 449 (2%); 436 (4%); 284 (58%); 283 (80%); 282 (77%); 279 (70%); 253 (48%); 201 (35%); 186 (58%); 185 (100%); 184 (62%); 183 (65%); 171 (80%); 143 (49%); 130 (33%).

As ramiflorinas A e B possuem a mesma massa e seus espectros de RMN de 1H , IR e UV são muito semelhantes, porém, ao serem comparadas por cromatografia em camada delgada, verificou-se que na realidade são dois alcalóides com Rfs diferentes.

Os dois alcalóides apresentam o mesmo pico molecular 466 e possuem fragmentação característica de compostos do tipo semi-dímero já isolados de Ochrosia (Apocynaceae)¹³⁵ e Cinchona (Rubiaceae)¹³⁶.

Os dados espectrais indicaram a estrutura 82 para as ramiflorinas A e B. Foram estudadas também a localização da metoxila, a presença de uma amina secundária e a estereoquímica.



(82)

Na determinação estrutural dos compostos tipo tchibangénsina¹³⁵ e ochrolifuaninas¹³⁷ (ver quadro 5 pag.57) o espectro de massa tem uma contribuição muito importante. A fragmentação mais importante desta série de compostos ocorre entre os carbonos 15 e 16 produzindo o fragmento a referente a porção indoloquinolizidínica com 252 unidades de massa nas duas séries. A porção tetra-hidro- β -carbolina destes compostos também é facilmente observada pelos picos a m/e 201 na série tchibangensina e m/e 185 na série ochrolifuanina que não possui -OH no carbono C10'.

O espectro de ultravioleta das Ramiflorinas permite identificar o cromoforo 10-metoxi-indólico (cromoforo 2). Em virtude de se tratar de um alcalóide bis-indólico fica-se com duas possibilidades para atribuir a presença da metoxila no carbono C-10 ou C-10'. Por espectrometria de massa é possível fixar claramente a posição deste substituinte no C-10. A referida atribuição se baseia no fragmento a' que possui 30 unidades de massa a mais que o fragmento a (ver quadro 5). O fragmento b' (m/e 185) confirma esta interpretação, pois este fragmento é característico da porção tetra-hidro- β -carbolina destes alcalóides quando isenta de substituintes¹³⁵.

Os dados apresentados indicam que as duas estruturas devem ser isomeras da estrutura plana 85 (ver quadro 5).

As Ramiflorinas (85) possuem espectro de massa muito semelhantes, diferindo apenas na intensidade relativa dos picos, cujas fragmentações principais são mostradas nos quadros 6 e 7.

O fragmento A (m/e 282), pode ser obtido de duas maneiras: a primeira através da clivagem dos C-15 e C-16 com a qual obtém-se também o fragmento B (m/e 185); e a segunda por clivagem inicial dos car-

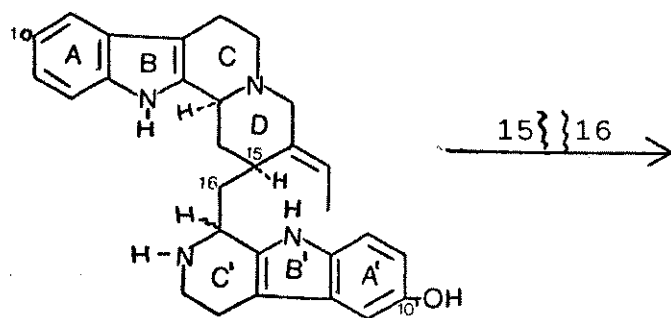
bonos C-3 e C-14 formando o intermediário C seguido da quebra da ligação dos carbonos C-15 e C-16 (ver quadro 6).

O intermediário C fornece o fragmento D (m/e 214), pela clivagem dos carbonos C-20 e C-21 e também o fragmento E (m/e 201) resultado da cisão homolítica nas posições N-4 e C-21 (ver quadro 6).

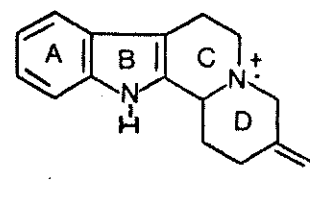
Outra fragmentação importante destes alcalóides ocorre com a quebra da ligação C-16 e C-17 que fornece o fragmento F (m/e 171) (ver quadro 7).

O fragmento G (m/e 156) é obtido pela fragmentação do anel C', envolvendo mecanismo retro-Diels-Alder seguido por uma cisão homolítica da ligação C-15 e C-16, que fornece também o fragmento H (m/e 130) após clivagem dos carbonos C-2 e C-3 (ver quadro 7).

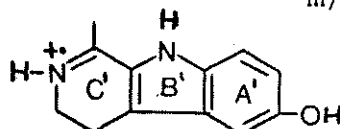
Quadro 5



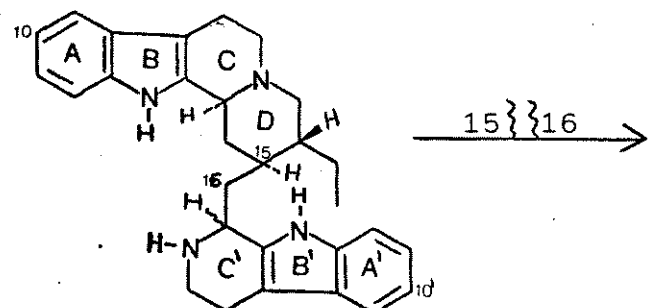
83 - 10' Hidroxi-4',17-dihidrotchibangensina



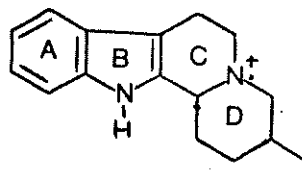
Fragmento a
m/e 252



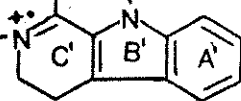
Fragmento b
m/e 201



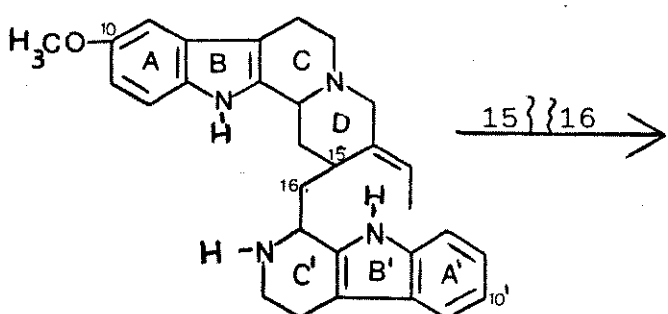
84 - Ochrolifuanina



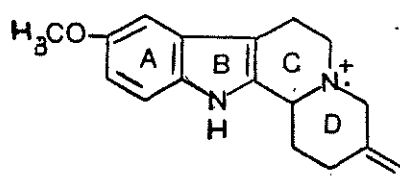
Fragmento c
m/e 254



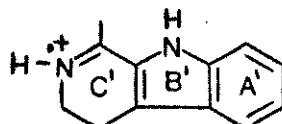
Fragmento d
m/e 185



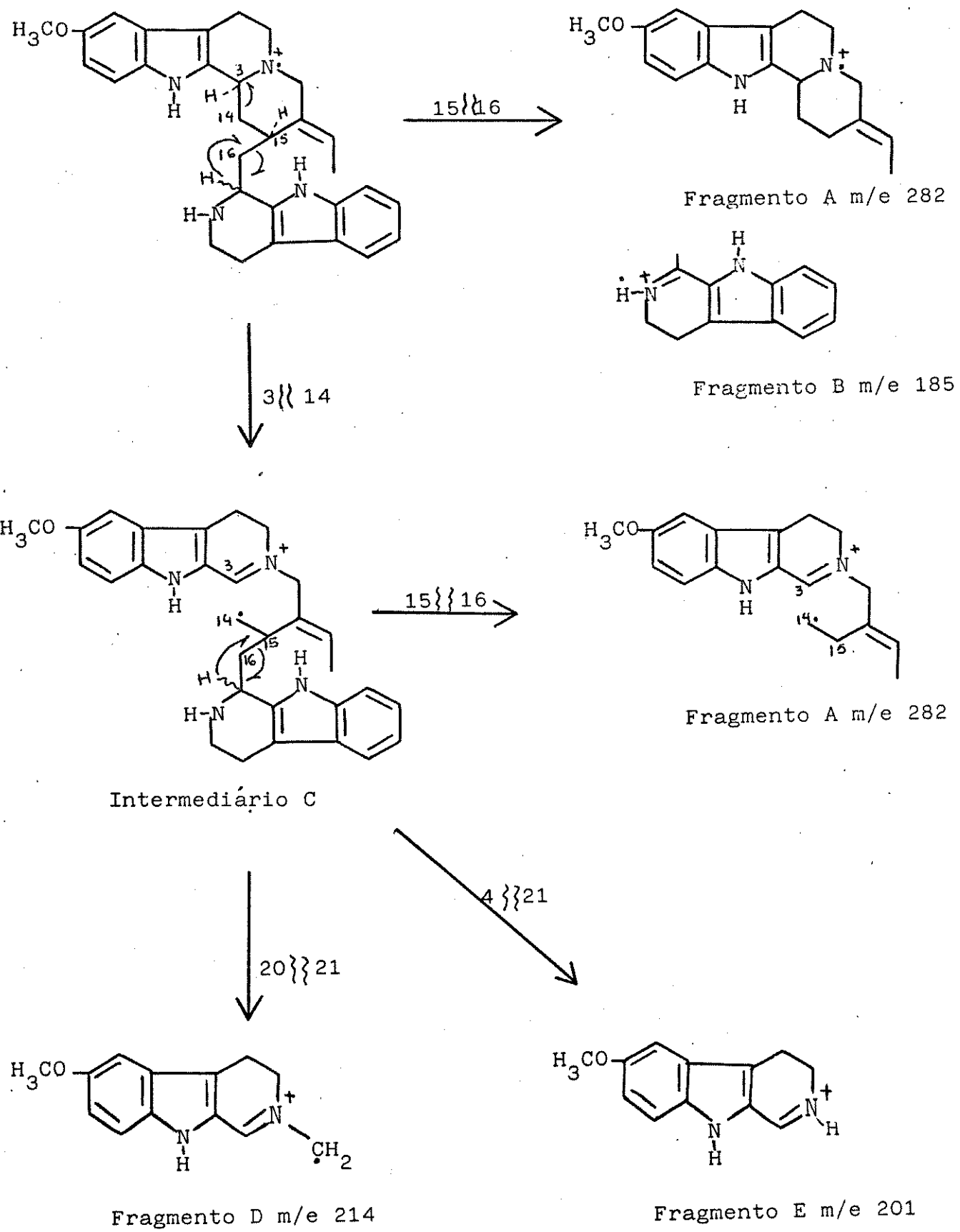
85 - Ramiflorina

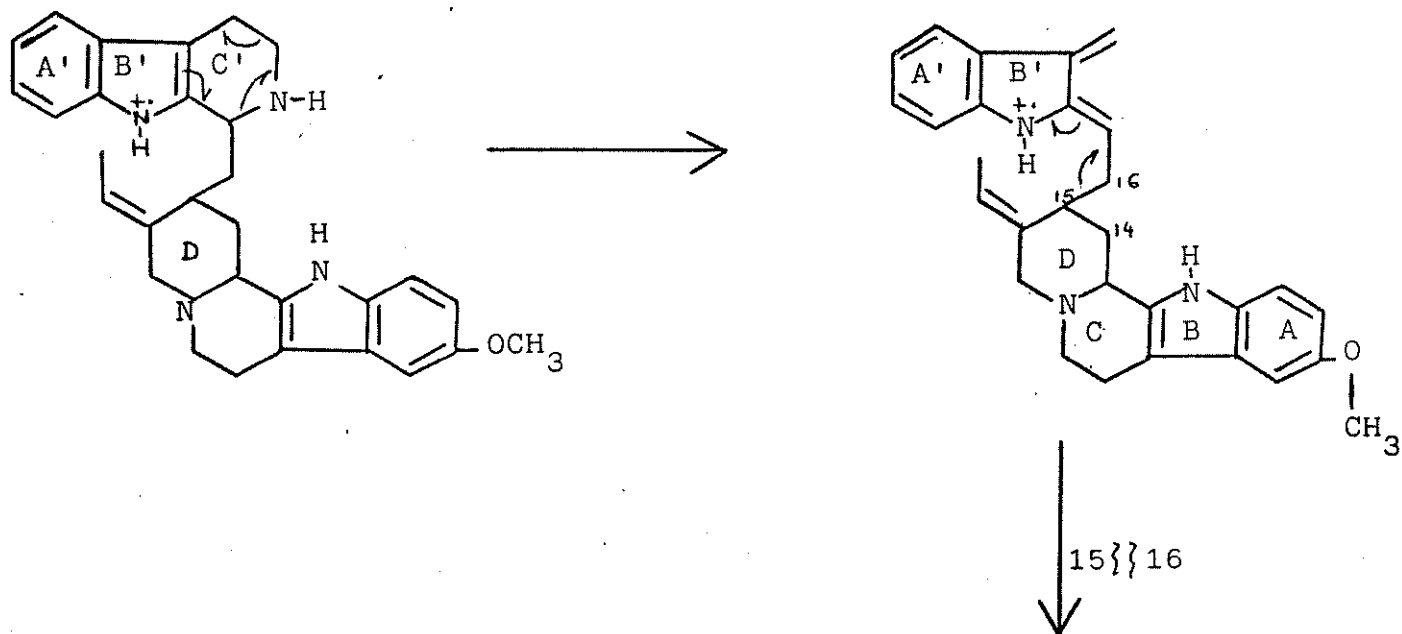
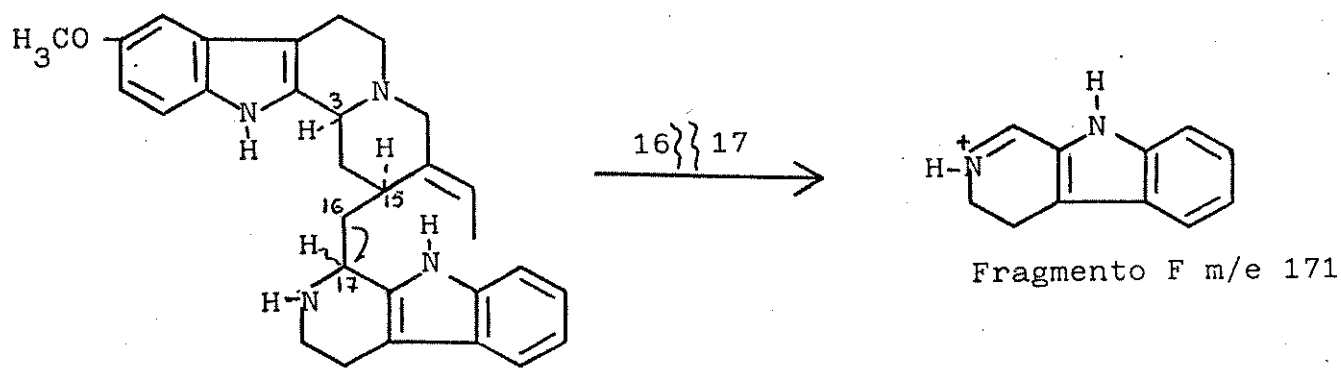


Fragmento a'
m/e 282



Fragmento b'
m/e 185

Quadro 6

Quadro 7

Fragmento H m/e 130

Fragmento G m/e 156

Acetilação da Ramiflorina A

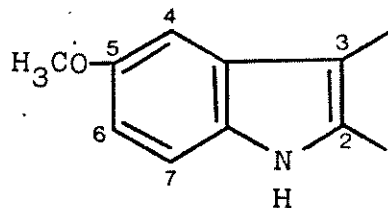
Com o objetivo de confirmar a estrutura deste alcalóide, e a presença de uma amina secundária na molécula, a Ramiflorina A foi submetida a uma reação de acetilação, formando um produto amorfó de ponto de fusão 214°C.

Observou-se no espectro de infravermelho (figura 17 pag. 117) uma banda de absorção média a 3400cm^{-1} atribuída a NH indólico e também uma banda em 1630cm^{-1} devido ao grupamento ($-\text{CO}-\text{N}$).

O espectro de ultravioleta (figura 16 pag. 116) apresenta absorções máximas a:

$$\lambda_{\text{EtOH}}^{\text{max}} = 226,7\text{nm} (\log \epsilon 4,65); 280,0\text{nm} (\log \epsilon 4,08); 289,0\text{nm} (\log \epsilon 4,02).$$

correspondentes a um indol tendo como substituinte uma metoxila na posição 5¹³³.



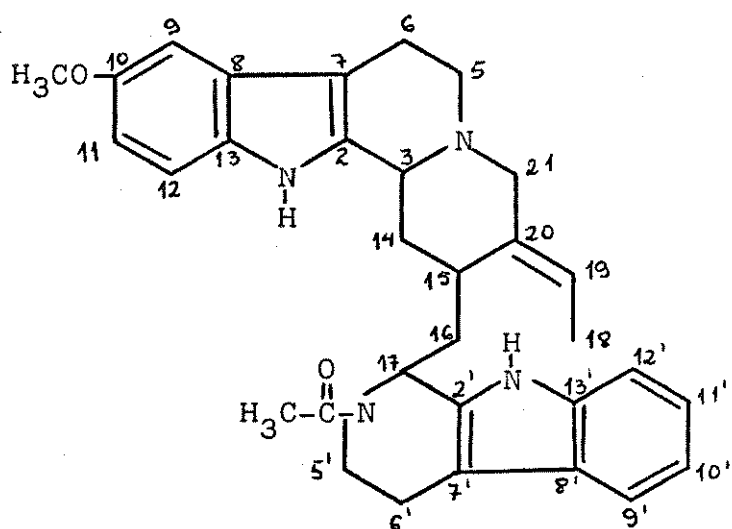
5-metoxi-indol

O espectro de massa (figura 18 pag. 118) deste alcalóide, possui pico molecular m/e 508 (31%) que tem 42 unidades de massa a mais que a Ramiflorina A (m/e 466). O pico m/e 227 indica claramente que a acetilação ocorreu na amina secundária, pois representa um acréscimo de 42 unidades de massa no pico m/e 185 (ver quadro 8 pag.).

64). O fragmento A' m/e 282 (100%) confirma esta hipótese pois permaneceu inalterado após a reação de acetilação.

No espectro de RMN de ^1H (figuras 19 e 20 pag. 119 e 120) observou-se os sinais dos NH indólicos (s1) 9,4ppm e 8,5ppm que desaparecem após deuteração, a existência de um multiplete entre 6,7ppm e 7,7ppm correspondente a 7H aromáticos, o sinal de um proton a 5,3ppm do grupo =CH, um singlete a 3,8ppm de 3H (OCH_3), o sinal do grupo N-CO-CH₃ que é observado a 2,2ppm (s1, 3H) e o sinal em 1,3ppm (d, J=6Hz, 3H) correspondente ao grupo =CHCH₃.

Com base nestes dados, concluiu-se que o produto de acetilação da ramiflorina A é 88, o que confirma não só a presença da amina secundária assim como a estrutura plana da molécula.



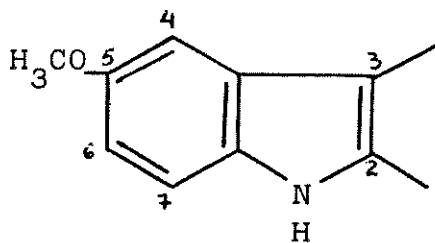
(88)

Acetilação da Ramiflorina B

A ramiflorina B foi acetilada com o objetivo de confirmar sua estrutura. Após a reação de acetilação, obteve-se um produto amorfó cujo ponto de fusão é 253°C.

O espectro de ultravioleta, (fig.21 pág. 121), apresenta absorções máximas em:

$\lambda_{\text{EtOH}}^{\text{max.}} = 224,0 \text{ nm} (\log 4,70); 280,0 \text{ nm} (\log 4,14); 289,0 \text{ nm} (\log 4,06)$, correspondentes a um indol tendo uma metoxila como substituinte na posição 5133.



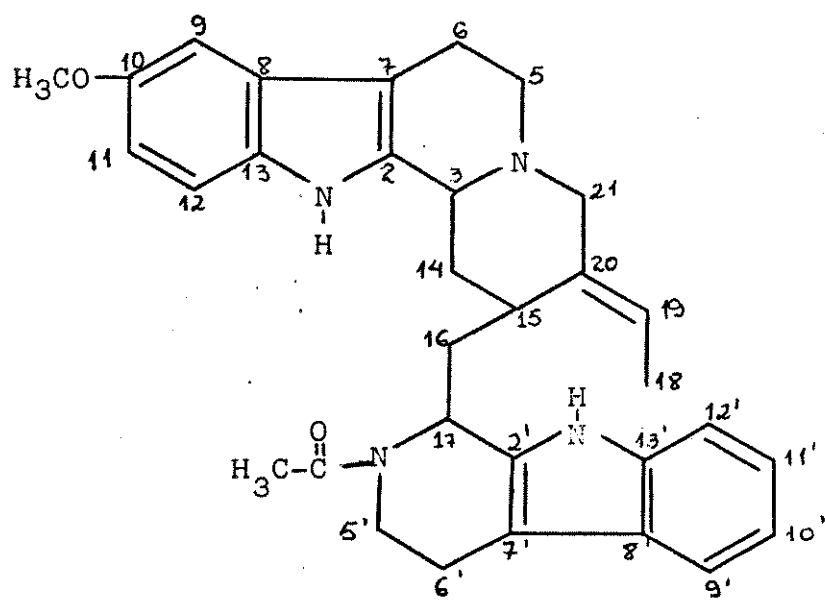
5-metoxi-indol

O espectro de infravermelho (fig. 22 pag. 121) mostrou bandas de absorção na região de 3410 cm^{-1} que correspondem ao NH indólico, em 1640 cm^{-1} a banda do grupo $\text{N}-\text{COCH}_3$.

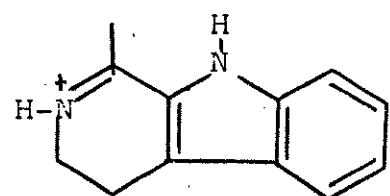
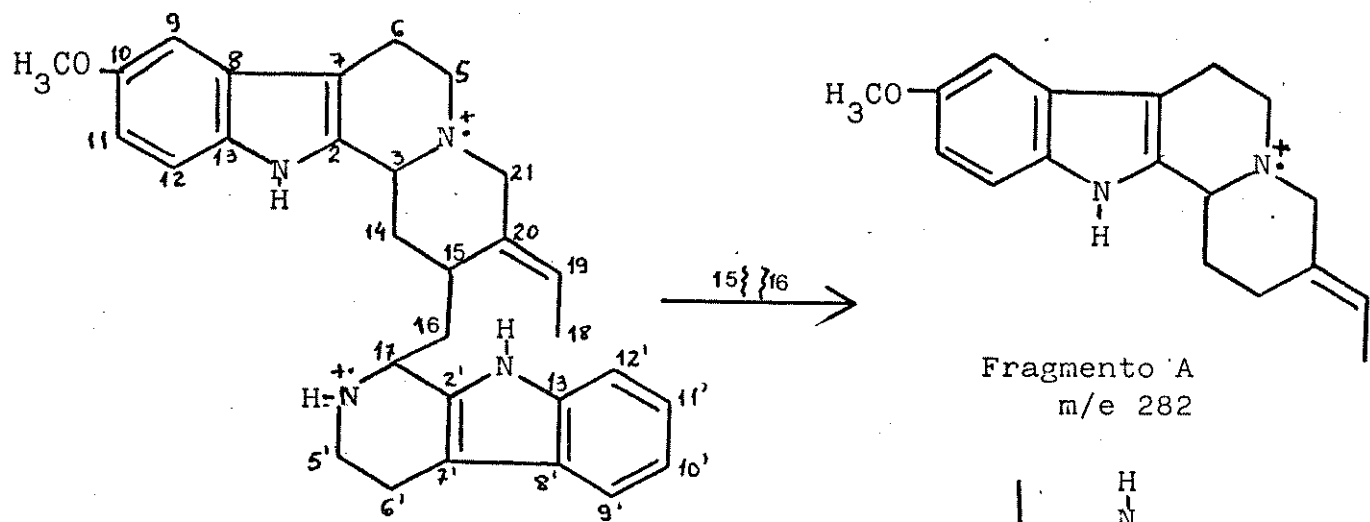
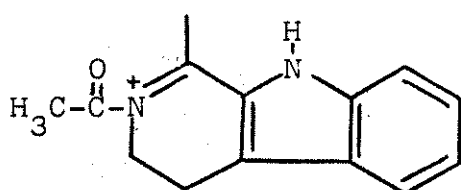
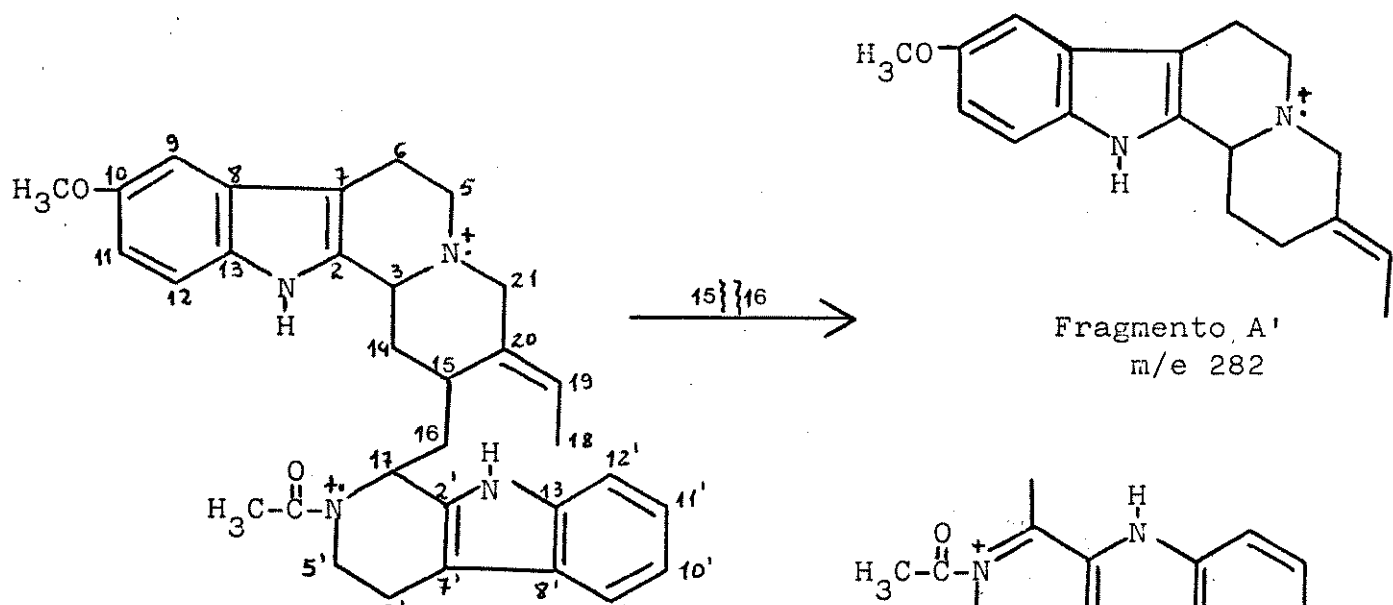
O espectro de massa (fig. 23 pag 123) apresentou o pico molecular em m/e 508 (88%), confirmando a acetilação. A posição do acetato é indicada pelo fragmento m/e 227 (5%) que indica a presença da amina secundária e que possui 42 unidades de massa a mais que o fragmento m/e 185 da Ramiflorina B. Isto é confirmado pelo fragmento m/e 282 (100%) que permaneceu inalterado após a reação de acetilação.

No espectro de RMN de ^1H , (fig. 24 e 25 pag. 124 e 125), observou-se os sinais dos NH indólicos a 9,5ppm e 7,9ppm que desaparecem após deuteração, a existência de um multiplete entre 6,6ppm e 7,6 ppm corresponde a 7H aromáticos, o sinal de um proton a 5,3ppm do grupo =CH, um singlete a 3,8ppm de 3H do grupo metoxila o sinal do grupo NCO-CH₃ observado a 2,3ppm (s1 3H) e em 1,4ppm (d, J= 6Hz, 3H) o sinal correspondente ao grupo =CHCH₃.

Com base nestes dados, concluiu-se que o produto de acetilação da ramiflorina B contém as mesmas feições estruturais que foram observadas no produto de acetilação da Ramiflorina A. A reação de acetilação confirmou a presença da amina secundária e a estrutura plana da molécula como um todo sugerindo um estereoisômero da estrutura 88.



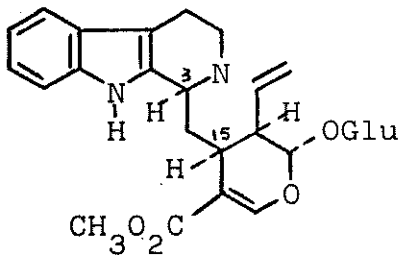
Quadro 8

Fragmento B
m/e 185Fragmento B'
m/e 227

Determinação da Configuração Relativa das Ramiflorinas.

Todos os dados obtidos destas substâncias indicavam claramente que se tratavam de isomeros da mesma estrutura plana. Como se pode observar nas estruturas 98 e 99 estes compostos têm três carbonos assimétricos: C-3, C-15 e C-17.

A partir de considerações biogenéticas, os alcalóides indólicos tem configuração H-15 α que é a mesma configuração do precursor comum o vincosidio (89). Nenhum dos processos biogenéticos subsequentes produzem alterações ao nível deste carbono em toda a série de compostos do tipo corinano¹³⁸. Consequentemente admitimos ser também esta a configuração nas duas Ramiflorinas, restando a ser determinada a configuração dos C-3 e C-17.



(89) Vincosidio

Na determinação da configuração absoluta das cinchofilinas foram analisadas as curvas de dicroísmo circular (CD) na qual se verificou que a associação das combinações de H-3 α , H-17 α (compostos 94 e 96) e H-3 β , H-17 β (compostos 95 e 97) dão curvas praticamente simétricas e de sinais opostos. A configuração 3 β H está relacionada a um efeito Cotton negativo. Quando as combinações são H-3 α - H-17 β (composto 95) e H-3 β - H-17 α (composto 96) os sinais são também opostos,

embora o efeito seja menos intenso. Resultado semelhante foi obtido com as ochrolifuaninas, nas quais as combinações de H-3 α - H-17 β (composto 91) e H-3 α - H-17 β (composto 90) dão ambas efeito Cotton positivo em 280 nm, sendo que no caso de 90 o efeito é menos intenso

138

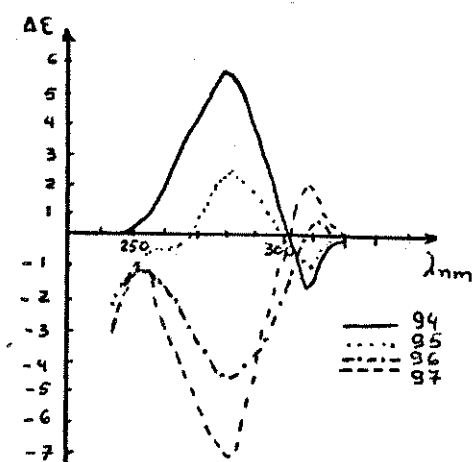


Figura 1

Dois outros alcalóides semi-dímeros, as tchibangensinas 100 e 101, tiveram sua configuração absoluta determinada através de RMN de ^{13}C e RMN de ^1H (Campo alto) Dicroísmo Circular e Síntese Parcial.

Estes compostos se diferenciam das Ramiflorinas apenas pela ausência de um grupo metoxila e consequentemente se constituem num bom modelo para comparação com as Ramiflorinas.

Com o objetivo de confirmar a estrutura de 98 e 99 e determinar a estereoquímica relativa destes compostos fez-se um estudo de Ressonância Magnética Nuclear de ^{13}C , comparando-se os dados com as tchibangensinas.

No espectro de RMN de ^{13}C (fig. 7 e 8 pag. 108 e 109) da Ramiflorina A observou-se claramente a presença de 18 carbonos sp (10 totalmente substituídos) e 8 CH. Por comparação com 10-metoxigeissos-

chizol obteve-se a confirmação de um 10-metoxi-indol, de uma tetra-hidro- β -carbolina e uma dupla ligação C-19 - C-20. Os deslocamentos químicos dos carbonos sp^2 do segundo composto, a Ramiflorina B, (RMN de ^{13}C , fig. 14 e 15 pag. 114 e 115), são praticamente idênticos aos da Ramiflorina A exceto quanto ao C-19. As diferenças entre ambos aparecem quando observamos os carbonos sp^3 .

Os alcalóides semi-dímeros estudados por RMN de ^{13}C são todos de estereoquímica H-3 α , H-15 α , H-17 α ou H-17 β , possuindo no C-20 como substituinte o grupo etilideno (Tchibangensinas¹³⁵ e Ramiflorinas) etileno (Cinchofilinas¹³⁶) e etila (Ochrolifuaninas¹³⁷).

Antes de abordar a análise das Ramiflorinas procedeu-se a um exame comparativo cuidadoso dos trabalhos já feitos, separadamente, com as Tchibangensinas¹³⁵, Cinchofilinas¹³⁶ e Ochrolifuaninas¹³⁷.

Na série Ochrolifuanina¹³⁷ os compostos tem configuração H-3 α , H-15 α , H-17 α e H-20 α , (92) e H-3 α , H-15 α , H-17 β e H-20 α , (93). Os deslocamentos químicos dos carbonos sp^3 (aneis C, D e C') são muito pouco afetados pela mudança de configuração do C-17, exceto o C-20 que sofre desproteção de 3ppm (92 \rightarrow 93). Já nos compostos 90 e 91 com H-20 β a passagem do H-17 de α (91) para β (90) induz proteção dos carbonos: C-14 (2,1 ppm), C-15 (2 ppm) e C-17 (3,1 ppm) os demais (91) sp^3 permanecem praticamente inalterados.

Na série Cinchofilina os compostos tem configuração H-3 α , H-15 α , H-17 α e H-20 β (94) e H-3 α , H-15 α , H-17 β e H-20 β (95). Nestes compostos a mudança de configuração no C-17, H-17 α \rightarrow H-17 β induz proteção nos C-14 (3ppm), C-15 (2ppm) e C-17 (3,4 ppm).

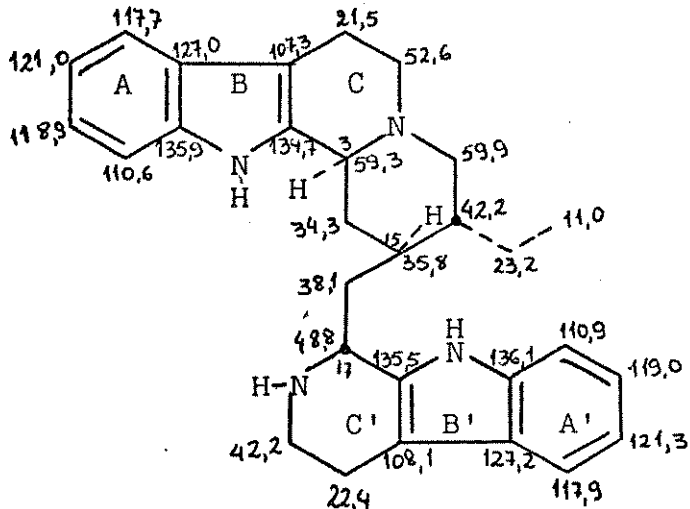
Na mudança de configuração do C-17 das Tchibangensinas (H-17 α para H-17 β) observa-se a mesma proteção já citada nas séries anteriores: C-14 (4ppm), C-15 (1,1ppm) e C-17 (1,6ppm).

De um modo geral a mudança de configuração do C-17 (H-17 α) para H-17 β) induz uma proteção em maior ou menor grau, dependendo da série observada, nos C-14, C-15 e C-17.

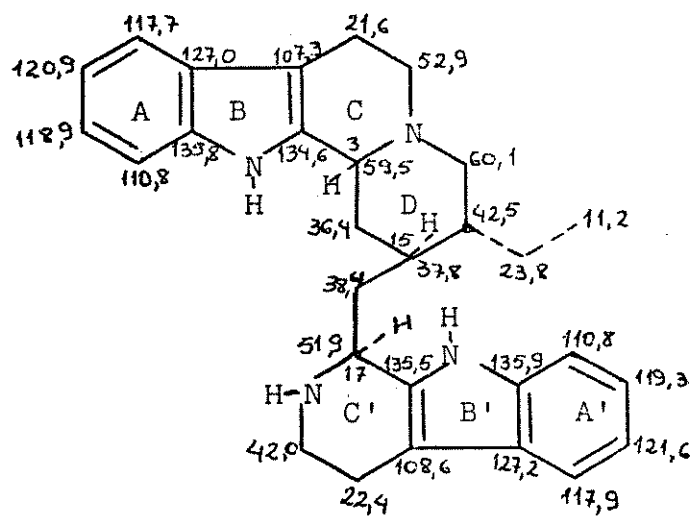
Comparando-se a Ramiflorina A (98) com a H-17 α Tchibangensina (100) observa-se uma grande semelhança nos deslocamentos químicos de seus carbonos sp³. Os deslocamentos dos carbonos do anel C' são praticamente idênticos. Da mesma forma a comparação da Ramiflorina B (99) com a H-17 β Tchibangensina (101) ressalta igual semelhança. Comparando-se as Ramiflorinas A e B observa-se uma proteção nos C-14 (3,5 ppm), C-15 (1,4ppm) e C-17 (1,5ppm) na Ramiflorina B, semelhantes às observadas anteriormente nos demais alcalóides semi-dímeros analizados.

Observou-se que a estereoquímica do C-17 não produz grandes alterações nos deslocamentos químicos dos carbonos vizinhos, exceto o C-14 que apresenta um $\Delta\delta = -3,5$ na mudança de C-17 α para C-17 β . As alterações maiores foram observadas nos carbonos 19 e 21 sem que se possa dar uma explicação aceitável para o fato. No C-19 a alteração observada foi de 121,3 ppm (98) para 128,2 ppm (99), ($\Delta\delta = -6,9$). Tais alterações se reproduziram com intensidades menores na comparação entre as Tchibangensinas (100) e (101).

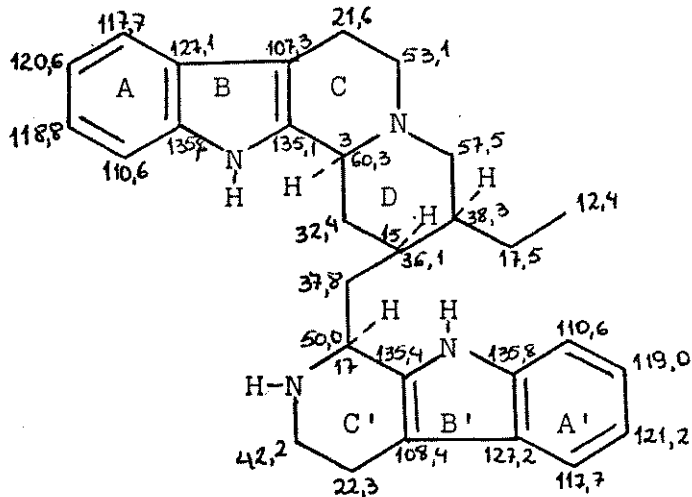
Considerando-se que as tchibangensinas tiveram sua configuração bem determinada, e através da comparação dos deslocamentos químicos de RMN de ¹³C (quadro 9) com as Ramiflorinas determinamos as configurações relativas dos carbonos C-3, C-15 e C-17 de (98) e (99). A Ramiflorina A tem a estrutura e a estereoquímica relativa (98) com H-3 α , H-15 α e H-17 α , e a Ramiflorina B (99) H-3 α , H-15 α e H-17 β .

Quadro 9

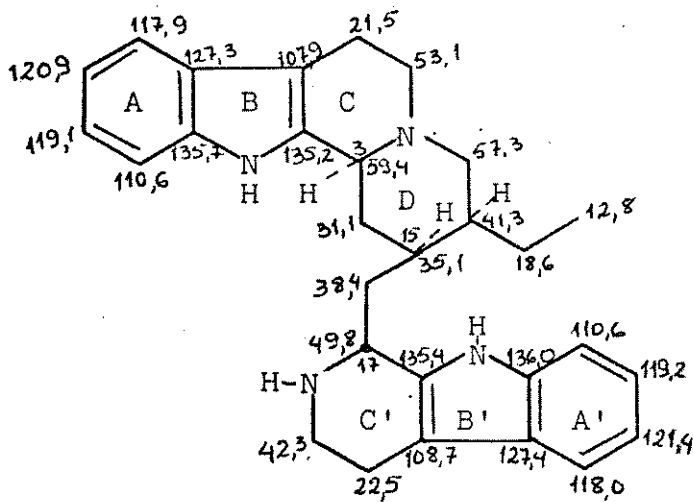
90- Ochrolifuanina A



91- Ochrolifuanina B

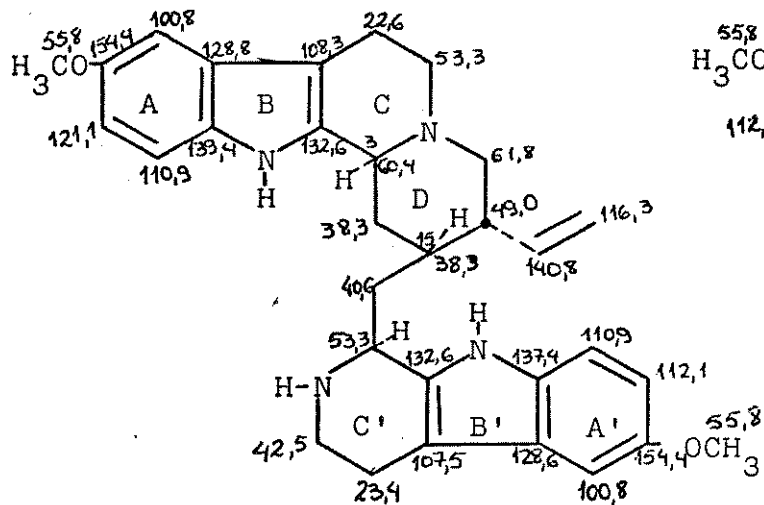


92- Ochrolifuanina C

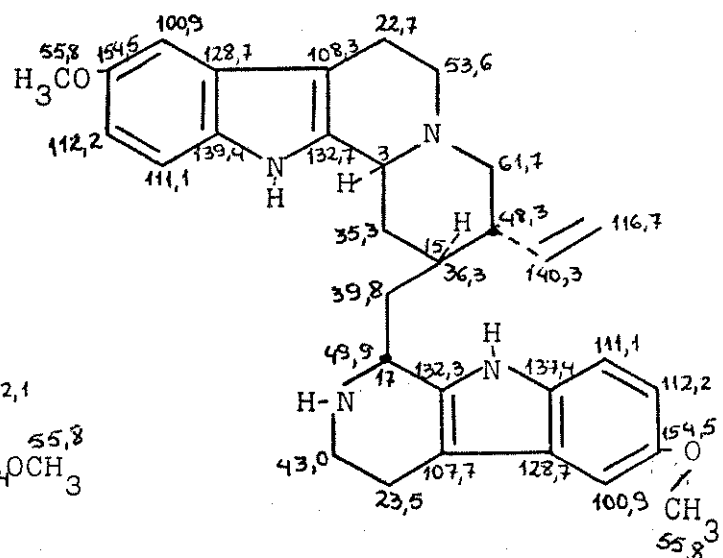


93- Ochrolifuanina D

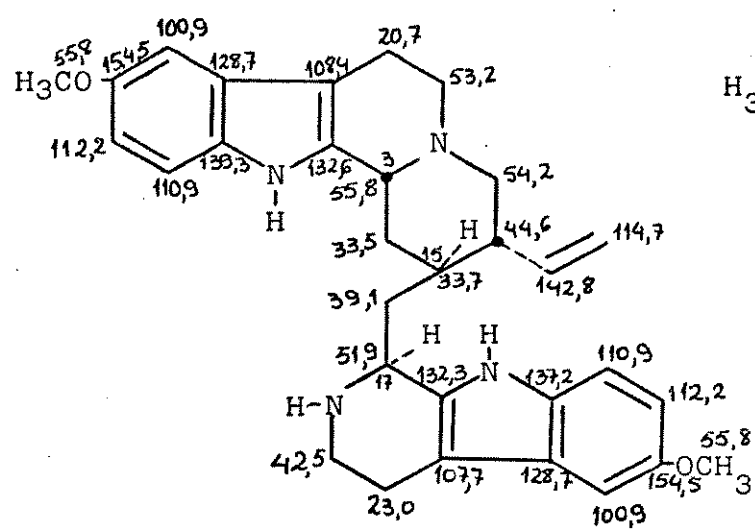
Quadro 9 (Cont.)



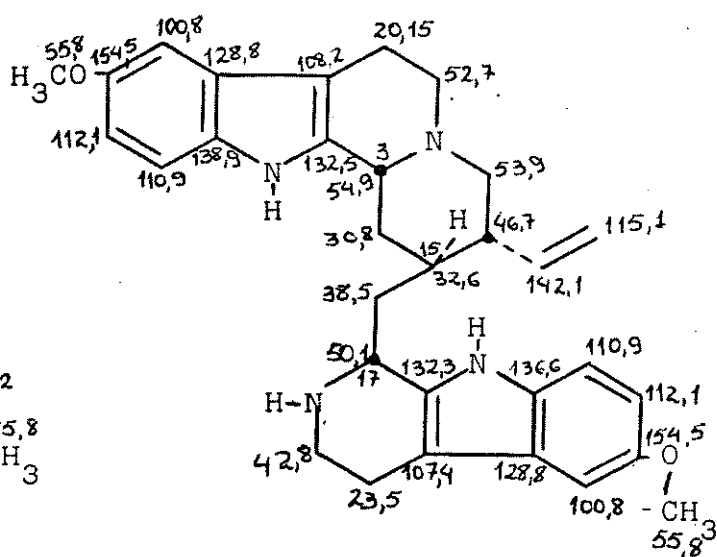
94- 3 α , 17 α Cinchofilina



95- 32, 173 Cinchofilina

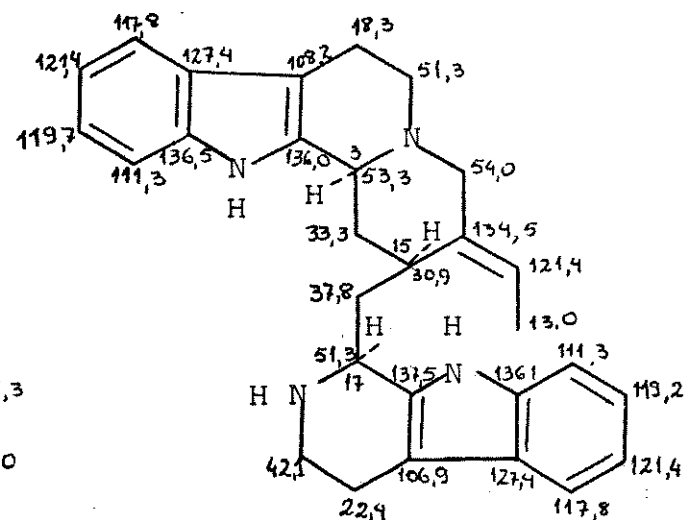
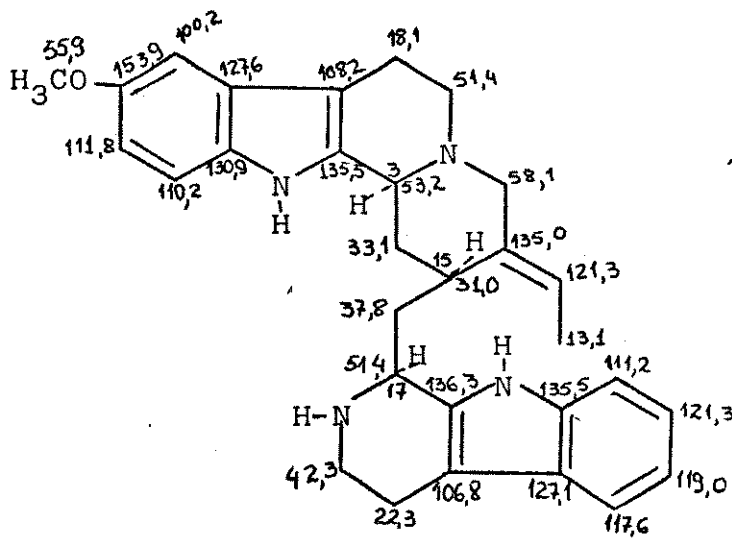


96- 3_β, 17α Cinchofilina

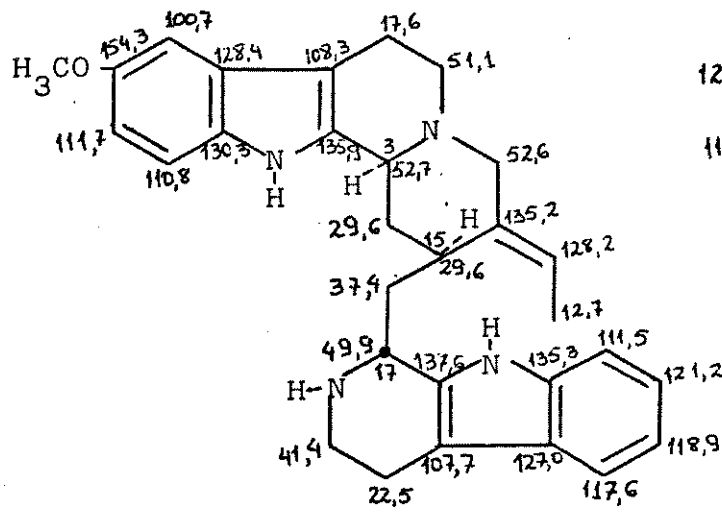


97-3A, 173 Cinchofilina

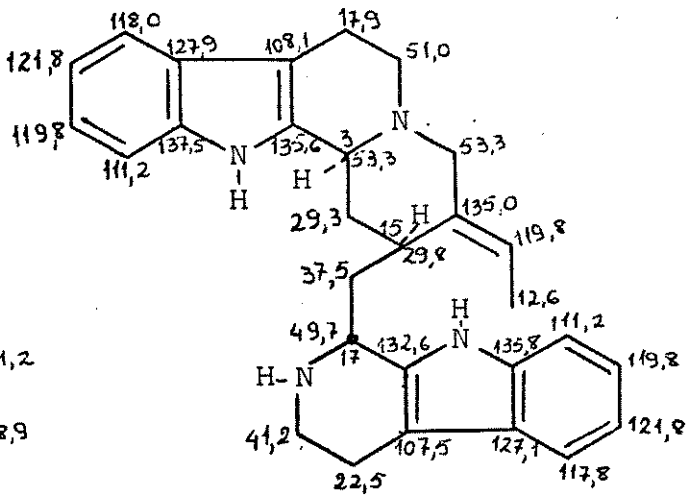
Quadro 9 (Cont.)



98- Ramiflorina A

100- 4' 17- dihidro-17 α -tchibangensina

99- Ramiflorina B

101- 4' 17-dihidro-17 β -tchibangensina

Conclusão

O estudo da casca e semente de *Aspidosperma Ramiflorum* Muell. Arg. permitiu o isolamento de dois alcalóides já conhecidos, 10-metoxigeissoschizol e β -yohimbina, e dois compostos novos, Ramiflorina A e Ramiflorina B.

Este é o primeiro trabalho com esta espécie que é a única pertencente a série Ramiflora.

As ramiflorinas A e B são alcalóides do tipo semi-dímeros e tiveram suas estruturas determinadas por métodos espectroscópicos usuais e a estereoquímica estabelecida por Ressonância Magnética Nuclear de ^{13}C .

Capítulo III
Parte Experimental

i- Materiais e Métodos

Os solventes e reagentes utilizados, eram das marcas: Merck, Carlo Erba.

As cromatografias em camada delgada foram feitas utilizando-se sílica gel HF 254,366 ou alumina neutra F254 numa espessura de 0,25 mm. Para cromatografia em camada preparativa usou-se sílica gel 60 PF 254,366 com espessura de 1mm.

A visualização dos alcalóides foi feita através de absorção em lampada ultravioleta 254-350 nm, pulverização com reagente Dragendorff (coloração alaranjada para alcalóides) e solução $H_2SO_4 : CH_3OH$ (1:1) seguida de aquecimento em placa.

Para as cromatografias em coluna utilizou-se sílica gel 0,05 ± 0,2 mm, óxido de alumínio e poliamida (sob pressão de nitrogênio). Como eluente foi usado a sequência $CHCl_3$, $CHCl_3 / CH_3OH$ em polaridade crescente.

Os pontos de fusão foram determinados num aparelho Fisher-Johns.

As rotações óticas específicas $[α]_D$ foram medidas num polarímetro fotoelétrico Carl Zeiss de precisão 0,005%, utilizando-se clorofórmio e etanol como solvente.

Os espectros de ultravioleta foram obtidos em aparelho Bausch & Lomb - 2000 spectronic usando-se etanol como solvente.

Os espectros na região do infravermelho foram feitos em um aparelho Jasco A-202, em celas de KBr para líquidos, usando-se CHCl_3 como solvente ou em pastilha de KBr para sólidos.

Os espectros de RMN de ^1H foram obtidos em um espectrômetro Bruker AW - 80 MHz ou em espectrômetro Varian XL 100 A-15 (100 MHz) usando-se CDCl_3 , $\text{CDCl}_3/\text{CD}_3\text{OD}$, CD_3OD como solventes e como referência interna Tetrametilsilano (TMS).

Os espectros de RMN de ^{13}C foram obtidos em um espectrômetro Varian XL 100 A-15 FT (25,2 MHz) usando-se como solvente $\text{CHCl}_3/\text{CH}_3\text{OH}$ e como referência interna, Tetrametilsilano (TMS).

Os espectros de massa foram obtidos no espectrômetro de massa Varian Mat 311A à 70 eV.

2- Coleta de Material e Obtenção dos Extratos.

Amostras da espécie Aspidosperma ramiflorum foram coletadas em Porto Ferreira - São Paulo. As sementes e a casca do caule (depois de separada da madeira), foram deixadas ao ar livre para secar. O material foi moído e em seguida extraído com etanol.

As soluções etanólicas assim obtidas foram concentradas e os extratos: etanólico I (semente) foi tratado segundo o esquema 3 (pag. 77) e o extrato etanólico II (casca) foi tratado conforme os esquemas 4, 5 e 6 (pag. 80, 88 e 90). As extrações foram feitas até que o teste de Mayer desse negativo.

3- Estudo das Sementes de Aspidosperma ramiflorum

3.1 - Extrações e Isolamentos

250 gramas de sementes foram extraídas com etanol a frio durante 5 dias, resultando 63 gramas de extrato etanólico, o qual foi submetido ao tratamento ácido-base descrito abaixo.

O extrato etanólico foi adicionado a uma solução de ácido acético 10%, que permaneceu em geladeira por uma noite. A solução ácida foi filtrada, separando-se as substâncias que não solubilizaram em ácido acético. As substâncias não solúveis em ácido acético foram submetidas a teste de Mayer, o qual apresentou resultado negativo, indicando que estas substâncias não eram alcalóides.

Fez-se extração da fase aquosa ácida com clorofórmio até apresentar teste de Mayer negativo. O extrato clorofórmico foi primeiramente lavado com água destilada até pH=7 e em seguida lavado com uma solução saturada de cloreto de sódio. Em seguida, o extrato foi seco com sulfato de sódio anidro e o solvente eliminado completamente num rotavapor, obtendo-se o extrato 1A (0,256 gramas).

A fase aquosa ácida foi neutralizada com Na_2CO_3 e extraída com clorofórmio até apresentar teste de Mayer negativo, seguindo o procedimento descrito acima para a obtenção do extrato ácido (1A), obteve-se o extrato neutro (1B), 2,476 gramas.

A fase aquosa neutra foi alcalinizada com Na_2CO_3 até pH=10 e em seguida foi extraída com clorofórmio até apresentar teste de Mayer

negativo, depois o extrato clorofórmico foi lavado com água destilada até pH=7 e então lavado com solução saturada de cloreto de sódio e seco com sulfato de sódio anidro. O solvente foi totalmente eliminado em rotavapor, obtendo-se 0,769 gramas do extrato 1C.

Após as sucessivas extrações em diferentes pHs foi feito o teste de Mayer na fase aquosa básica. Como a solução apresentou teste de Mayer positivo, procedeu-se a neutralização com Na_2CO_3 e então, foi feita extrações com butanol até que o teste de Mayer desse negativo. O extrato butanólico foi então lavado com água destilada e solução saturada de cloreto de sódio e seco com sulfato de sódio anidro e após destilação obteve-se 6,3 gramas do extrato 1D.

O tratamento ácido-base descrito acima se encontra resumido no esquema 3 (pag. 77).

Foi estudado apenas o extrato 1B, pois os extratos 1A e 1C apresentavam misturas intratáveis além da quantidade reduzida de material. O extrato 1D, foi cromatografado em coluna com poliamida sob pressão de nitrogênio porém esta tentativa de purificação resultou infrutífera.

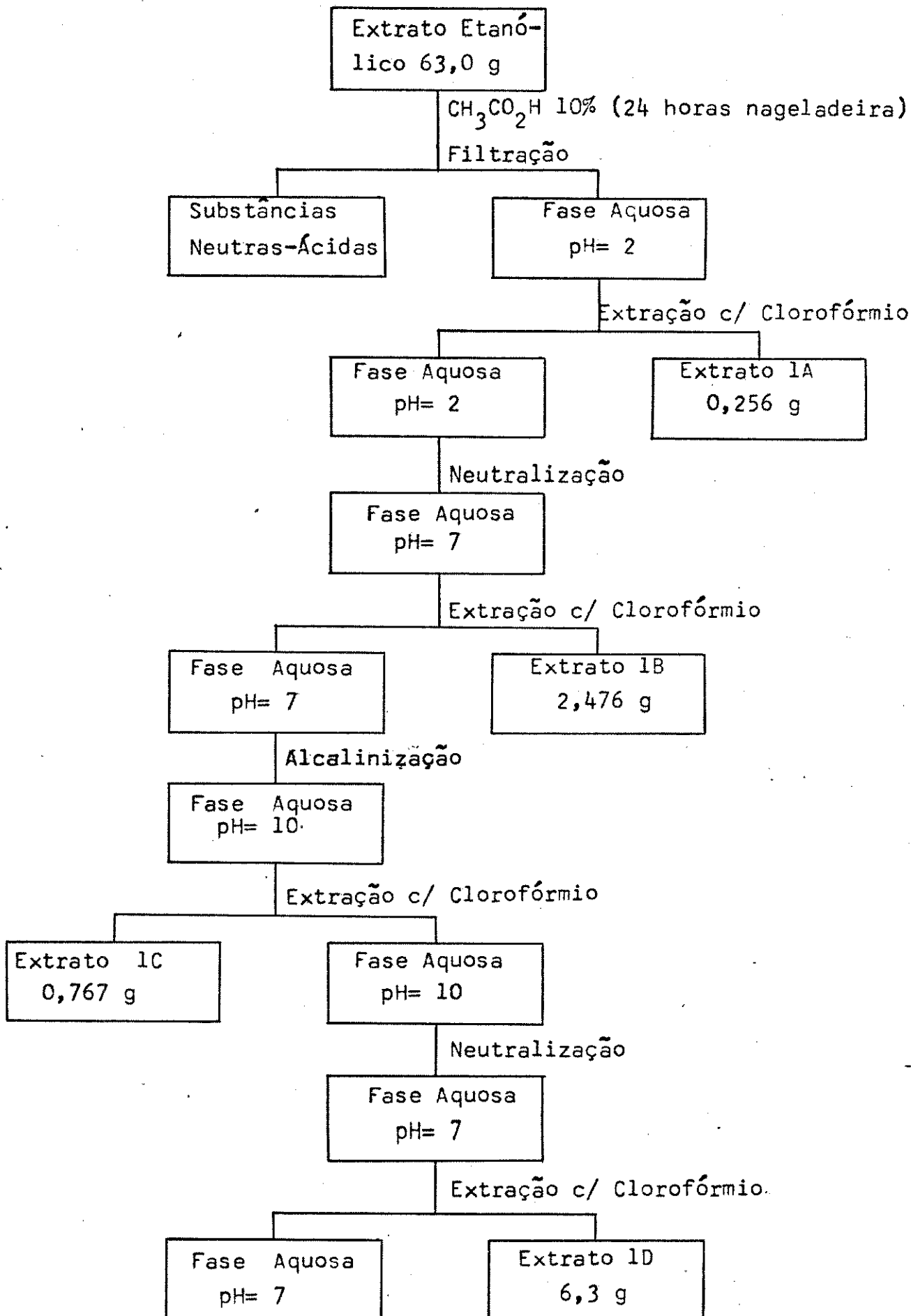
Extrato 1B

Foram cromatografadas 400 mg do extrato 1B de A. ramiflorum em placa preparativa de óxido de alumínio GF, usando-se como eluente $\text{CHCl}_3 + \text{CH}_3\text{OH}$ 3%. Foi isolado 227,05 mg de β -yohimbina.

1,0' grama do extrato 1B foi cromatografado em coluna de vidro contendo 40 gramas de óxido de alumínio ativado neutro. A eluição foi iniciada com CHCl_3 e a polaridade aumentada com metanol. Foram re-

Esquema 3

77



colhidas 40 frações de 50 ml que foram reunidas conforme Rf em cromatografia em camada delgada.

Frações	Solvente	Frações	Quantidade	Composto
	CHCl ₃ : CH ₃ OH Reunidas		(mg)	Isolado.
01 - 12	100 : 0	05 - 10	403,31	β - yohimbina
		11	20,00	
		12	11,92	
13 - 27	99' : 1	13	119,67	β - yohimbina
		14 - 18	261,50	β - yohimbina e 10-metoxigeissoschizol
		19	20,31	β - yohimbina
		20 - 27	60,65	β - yohimbina
28 - 40	98 : 2	28 - 32	12,30	
		33 - 36	8,29	
		37	5,52	
		38	17,09	
		39	6,97	
		40	4,03	
Total =				951,56

As frações 05-10, 13, 19 e 20-27 foram comparadas com padrão e identificadas como sendo β-yohimbina.

261,50 mg da fração 14-18 foram purificada por placa preparativa PF com o sistema $\text{CHCl}_3 + \text{CH}_3\text{OH}$ 20%, foram obtidas 104,45 mg de β -yohimbina e 62,07 mg de 10-metoxigeissoschizol.

O extrato neutro foi recromatografado em coluna e após cristalização em metanol, obteve-se 251,78 mg de cristais de β -yohimbina.

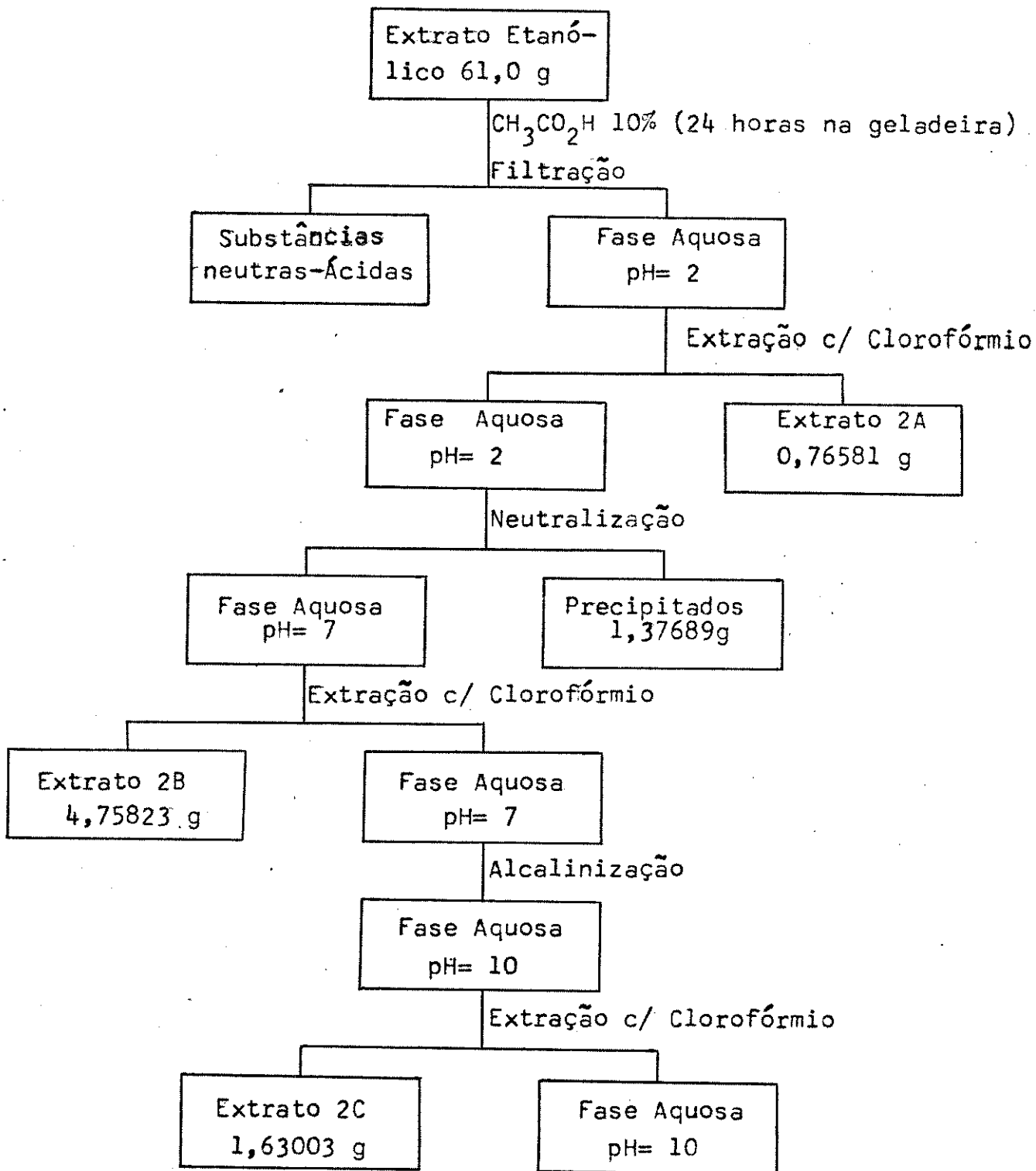
4- Estudo das Cascas de Aspidosperma ramiflorum

4.1- Extrações e Isolamentos

500 gramas de cascas após secagem e Trituração foram extraídas com etanol a temperatura ambiente, durante 4 dias, resultando 61,0 gramas de extrato. Este extrato, foi submetido a tratamento ácido-base conforme é mostrado no esquema 4.

O extrato etanólico, foi colocado em solução de ácido acético 10% por uma noite na geladeira, em seguida foi filtrado separando-se a fase aquosa ácida das substâncias não solúveis. Estas substâncias foram submetidas a teste de Mayer, o qual deu resultado negativo, indicando que a parte não solúvel em ácido acético não continha alcaloides.

A fase aquosa ácida foi extraída com clorofórmio até apresentar Mayer negativo, em seguida, o extrato clorofórmico foi lavado com água destilada até pH=7, depois foi lavado com uma solução saturada de NaCl e seco com Na_2SO_4 anidro. O solvente foi eliminado em rotavapor e obteu-se 0,76581 gramas do extrato 2A.

Esquema 4

A fase aquosa ácida foi neutralizada com Na_2CO_3 . Durante a neutralização, houve formação de precipitados, que foram separados da fase aquosa neutra através de filtração. Estes precipitados foram colocados, sob vácuo, em dessecador contendo sílica indicadora de umidade e pentóxido de fósforo, por 24 horas. Obteve-se 1,37689 gramas de precipitado.

A fase aquosa neutra foi extraída com clorofórmio até apresentar teste de Mayer negativo. Em seguida, o extrato clorofórmico foi lavado com água destilada e depois com solução saturada de cloreto de sódio e seco com sulfato de sódio anidro. O solvente foi totalmente eliminado em rotavapor, rendendo 4,75823 gramas do extrato 2B.

A fase aquosa neutra foi alcalinizada, até pH=10, usando-se para isto Na_2CO_3 . Foram feitas sucessivas extrações com clorofórmio, até apresentar teste de Mayer negativo. O extrato clorofórmico foi lavado com água destilada até pH=7 e lavado com solução saturada de cloreto de sódio e seco com sulfato de sódio anidro. O solvente foi evaporado em rotavapor obtendo-se 1,63003 gramas do extrato 2C.

Foram estudados os extratos 2B e 2C.

4.2- Isolamento dos Compostos do Extrato 2C

1,0 grama do extrato 2C foi cromatografado em coluna de vidro contendo 50 gramas de óxido de alumínio. O sistema eluente foi composto por $\text{CHCl}_3 + \text{Hexano}$, CHCl_3 , e $\text{CHCl}_3 + \text{CH}_3\text{OH}$ (% crescente de metanol).

Foram coletadas 80 frações de 50 ml sendo comparadas por cromatografia de camada delgada e reunidas conforme a semelhança de seus Rfs.

Frações	Solvente	Frações Reunidas	Quantidade (mg)	Composto Isolado
01 - 25	CHCl ₃ + Hexano 1:1	01	10,74	
		02	1,40	
		03	1,55	
		04	6,45	
		05	4,60	
		06	11,64	
		07 - 12	106,06	10-metoxigeissoschizol
		13 - 34	372,34	10-metoxigeissoschizol
26 - 43	CHCl ₃ + CH ₃ OH 100 : 0	35 - 48	65,62	
44 - 54	99 : 1	49 - 51	15,17	
55 - 69	98 : 2	52 - 56	20,20	
		57 - 58	14,62	
		59	9,22	
		60 - 70	133,55	
70 - 77	95 : 5	71 - 78	63,84	
78 - 83	90 : 10	79 - 83	61,98	
		Total =	898,98	

372,34 mg da fração 13-34 foram purificadas por placa preparativa de óxido de alumínio usando como eluente $\text{CHCl}_3 + \text{CH}_3\text{OH}$ 5% em atmosfera de NH_3 , rendendo 139,62 mg de 10-metoxigeissoschizol.

Foram cromatografadas em placa preparativa de óxido de alumínio GF, 0,43250 gramas do extrato 2C, o sistema eluente foi $\text{CHCl}_3 + \text{CH}_3\text{OH}$ 3%, isolando-se 0,12921 gramas de 10-metoxigeissoschizol.

4.3- Isolamento dos Compostos do Extrato 2B

2,5 gramas do extrato 2B foram cromatografadas em coluna de vidro contendo 100 gramas de óxido de alumínio. O sistema eluente usado foi $\text{CHCl}_3 + \text{Hexano}$; CHCl_3 ; $\text{CHCl}_3 + \text{CH}_3\text{OH}$ (% crescente de metanol). Foram coletadas 49 frações de 100 ml.

As frações reunidas 05-06; 07-11; 12-13; 14-15; 16-17; 18-20; 21-22 e 23-25 foram comparadas com padrão de 10-metoxigeissoschizol em cromatografia de camada delgada e seu componente principal foi identificado como sendo 10-metoxigeissoschizol.

Frações	Solvente	Frações Reunidas	Quantidade (mg)	Composto Isolado
01-25	CHCl ₃ + Hexano 1 : 1	01 02 03 04 05-06	9,05 1,50 0,67 23,71 111,92	
10-19	CHCl ₃	07-11 12-13 14-15 16-17 18-20	596,75 424,40 214,84 95,04 62,43	10-metoxigeissoschizol 10-metoxigeissoschizol 10-metoxigeissoschizol 10-metoxigeissoschizol 10-metoxigeissoschizol
20-28	CHCl ₃ + CH ₃ OH 1%	21-22 23-25 26 27 28	82,14 54,05 22,52 19,39 9,28	10-metoxigeissoschizol 10-metoxigeissoschizol
29-33	CHCl ₃ + CH ₃ OH 2%	29-34	60,65	
34-39	CHCl ₃ + CH ₃ OH 5%	35 36 37 38 39	8,33 54,73 23,90 16,20 30,50	
40-44	CHCl ₃ + CH ₃ OH 10%	40 41 42 43 44	30,29 21,65 24,42 24,42 9,28	
45-47	CHCl ₃ + CH ₃ OH 15%	45 46 47	26,90 12,76 7,46	
48-49	CHCl ₃ + CH ₃ OH 50%	48 49	10,76 10,60	

Total = 2097,54

5- Novas Extrações e Isolamentos

Com o objetivo de conseguir isolar mais alcalóides de Aspidosperma ramiflorum, foram feitos mais extratos.

Para obtenção dos extratos, foram utilizados 3 processos:

1- Extração diretamente com clorofórmio a temperatura ambiente.

2- Extração diretamente com etanol a temperatura ambiente.

3- Extração diretamente com etanol a quente utilizando aparelho de Soxhlet.

5.1- Extrato Clorofórmico

Este extrato foi feito partindo-se de 1800 gramas de casca de A. ramiflorum. As cascas, depois de secadas em estufa a 40°C por vários dias, foram moídas finamente em moinho Wiley, e extraídas com clorofórmio durante 3 dias.

Evaporado o solvente restaram 24,5 gramas de extrato. Em seguida o extrato clorofórmico foi submetido ao mesmo tratamento ácido-base ao qual foi submetido o extrato etanólico (casca) descrito na pag. 79 e que se encontra resumido no esquema 4 (pag. 80).

Extrato 3A- 0,30329 gramas

Extrato 3B- 1,72000 gramas

Extrato 3C- 0,06654 gramas

Precipitado em meio neutro - 0,72020 gramas

5.2 - Isolamento dos Compostos do Extrato 3B

Por apresentar boa separação em placa analítica de sílica, o extrato 3B (1,50 gramas) foi cromatografado em coluna de vidro contendo 80 gramas de sílica gel ($\phi = 0,05 \pm 0,20$ mm) foram coletadas 109 frações de 50,00 ml.

Frações	Solvente $\text{CHCl}_3 + \text{CH}_3\text{OH}$	Frações Reunidas	Quantidade (mg)	Composto Isolado
01-05	100:1	01	22,02	
		02-03	7,54	
		04-05	1,81	
06-09	99,5:0,5		0,00	
10-12	99:1		0,00	
13-27	98:2	06-20	8,28	
		21-22	14,68	
		23-25	6,69	
		26-28	9,71	
28-39	95:5	29		
		30-32	12,54	
		33	31,60	
		34-36	52,19	
		37-38	13,93	
		39	6,31	
40-50	92,5:7,5	40-44	80,45	
		45,46-49,50	130,96	10-metoxigeissoschizol
		47	40,81	10-metoxigeissoschizol
		48	37,30	10-metoxigeissoschizol
51-72	90:10	51-58	234,70	10-metoxigeissoschizol
		59-66	188,65	Ramiflorina B
		67-74	145,32	Ramiflorina A e B
73-81	85:15	75-82	169,14	Ramiflorina A
82-89	80:20	83-88	53,19	
90-95	75:15	89-90	12,44	
		91-94	16,10	
96-102	50:50	95-98	14,01	
		99-102	21,27	

Total = 1331,64

A fração 67-74 (145,32 mg) foi cromatografada em placa preparativa de sílica PF, usando como eluente $\text{CHCl}_3 + \text{CH}_3\text{OH}$ 10% em atmosfera de amônia. Foi isolado 42,44 mg de Ramiflorina A e 16,80 mg de Ramiflorina B.

A fração 75-82 (169,14 mg) foi submetida a cromatografia de placa preparativa. O sistema eluente usado foi $\text{CHCl}_3 + \text{CH}_3\text{OH}$ 10% com amônia, isolando-se 103,93 mg de ramiflorina A.

100 mg da fração 51-58 foi purificada por placa preparativa de sílica PF, o sistema eluente foi $\text{CHCl}_3 + \text{CH}_3\text{OH}$ 10% com amônia, isolando-se 44,31 mg de 10-metoxigeissoschizol.

A fração 59-66 (188,65 mg) foi cromatografada em placa preparativa de sílica PF, em $\text{CHCl}_3 + \text{CH}_3\text{OH}$ 10% em atmosfera de amônia, sendo isolado 78,56 mg de Ramiflorina B.

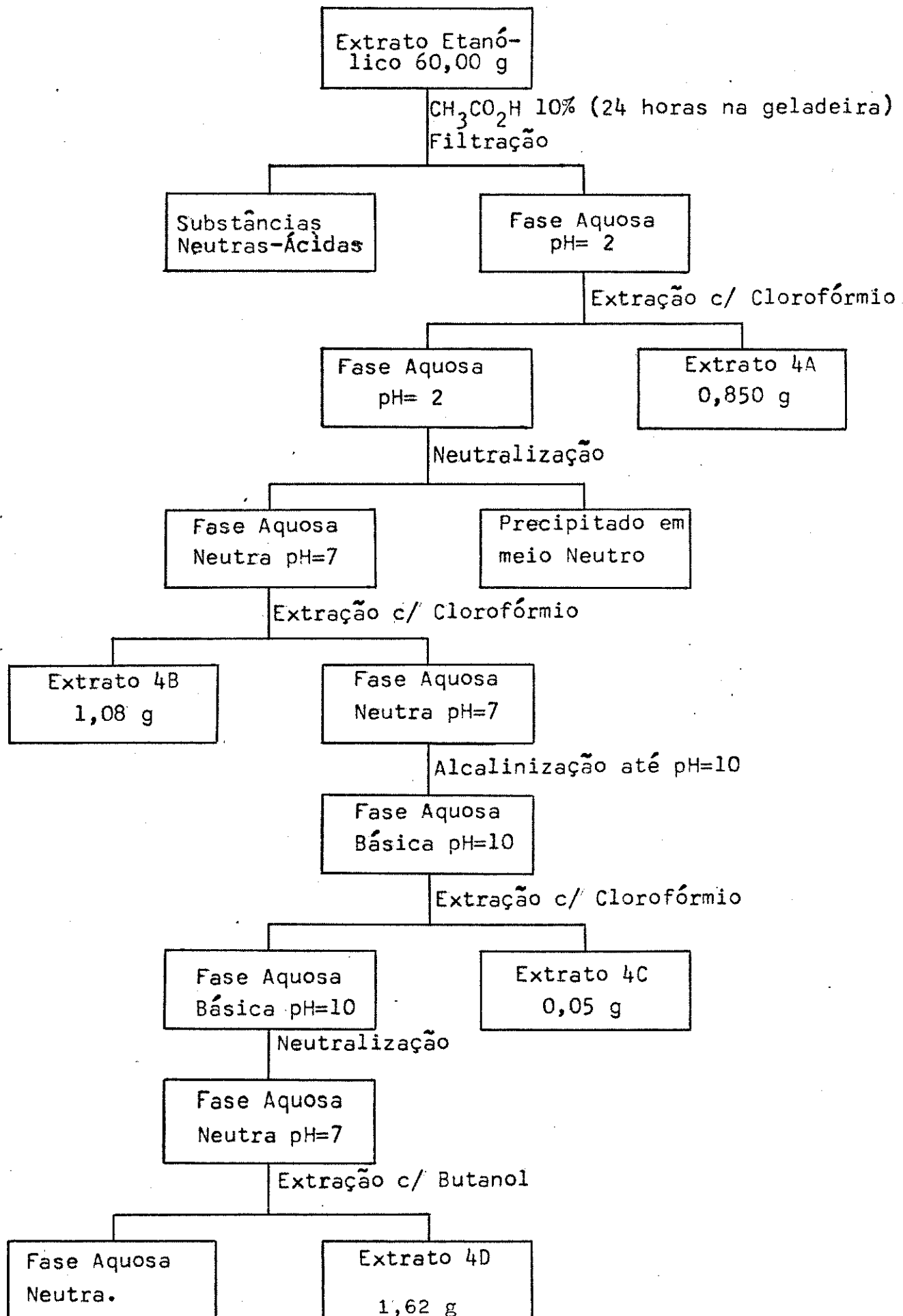
5.3- Extrato Obtido pelo Processo 2 (etanol a frio)

Após extração com clorofórmio, as cascas de *A. ramiflorum* foram submetidas a extração com etanol durante 5 dias. Evaporado o solvente em rotavapor, obteve-se 122,47 gramas de extrato.

60,00 gramas do extrato etanólico foi submetido a tratamento ácido-base como é mostrado no esquema 5 (pag. 88), e o procedimento usado na preparação dos extratos está descrito na pag. 79.

Esquema 5

88



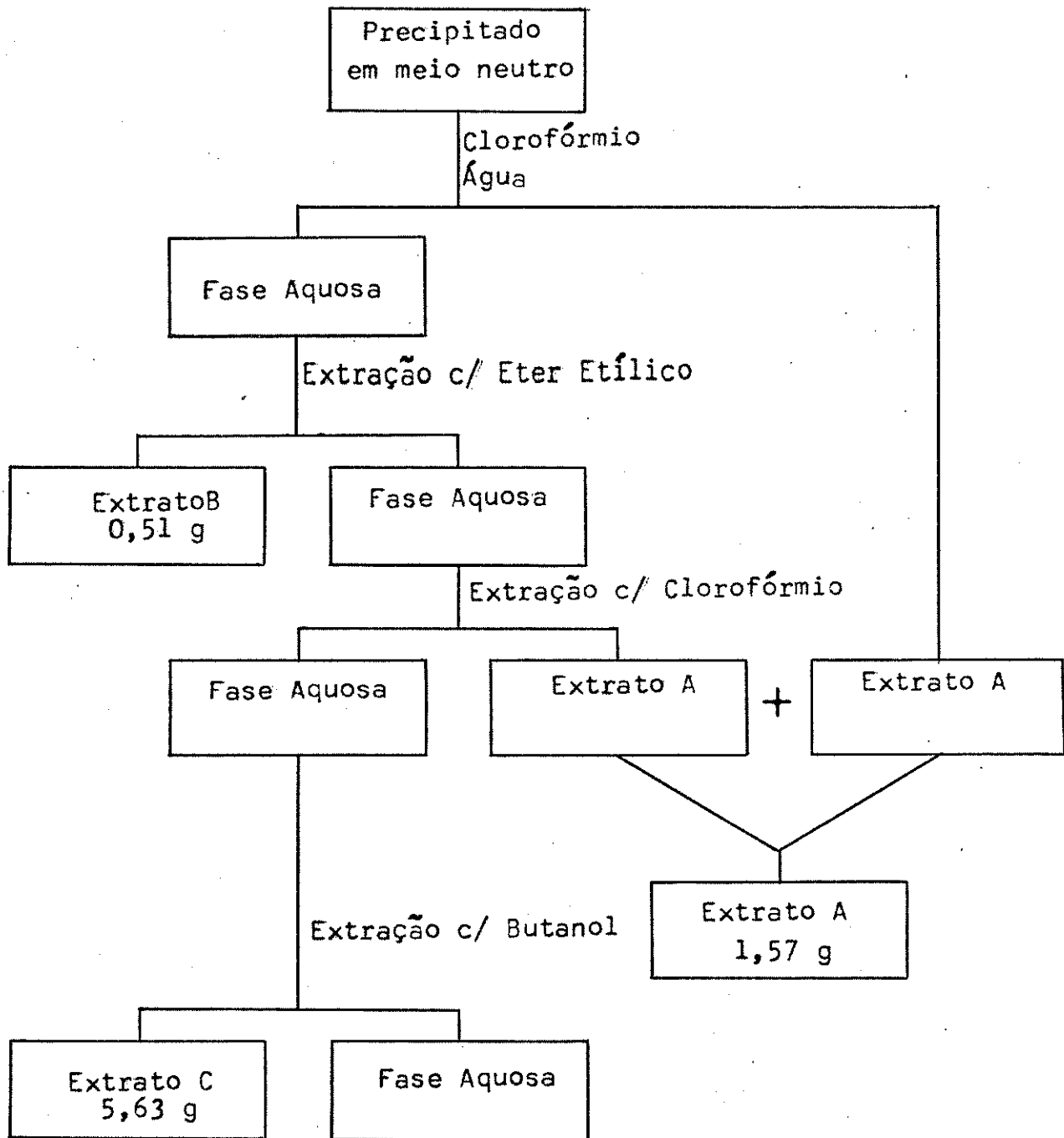
Durante a neutralização da fase aquosa ácida houve formação de precipitado. Este precipitado foi parcialmente solubilizado em clorofórmio e a esta mistura foi adicionada água. Devido o teste Mayer positivo apresentado pela fase aquosa, foram feitas extrações sucessivas com eter etílico, clorofórmio e butanol. As duas fases clorofórmicas reunidas forneceram 1,57 gramas de extrato, o extrato etéreo 0,51 gramas e o extrato butanolico 5,63 gramas de alcalóides (veja esquema 6 pag. 90).

Foi de interesse o estudo do extrato 4B (esquema 5 pag. 88) e dos extratos A e C (esquema 6 pag. 90).

O extrato 4B (150,00 mg) foi cromatografado em placa preparativa de sílica PF, usando como eluente $\text{CHCl}_3 + \text{CH}_3\text{OH}$ 10% em atmosfera de amônia. Isolou-se 133,80 mg de 10-metoxigeissoschizol.

A partir de 700,00 mg do extrato A (esquema 6 pag. 90) foram feitas sucessivas placas preparativas de sílica PF, usando-se como eluente $\text{CHCl}_3 + \text{CH}_3\text{OH}$ 10% em atmosfera saturada de amônia, que permitiu o isolamento de 181,74 mg de Ramiflorina B.

A partir de 320,00 mg do extrato C (esquema 6 pag. 90) foram separadas por placa preparativa de sílica PF 58,99 mg de ramiflorina A e 58,74 mg de Ramiflorina B. O sistema eluente usado foi $\text{CHCl}_3 + \text{CH}_3\text{OH}$ 10% em atmosfera de amônia.

Esquema 6

5.4- Extrato Obtido Pelo Processo 3 (etanol a quente)

Após terem sido extraídas com clorofórmio e etanol a frio, as cascas de A. ramiflorum foram colocadas em um aparelho Soxhlet e extraídas com etanol durante 8 dias, rendendo 49,00 gramas de extrato. Este extrato foi submetido a tratamento ácido-básico de acordo com esquema 5, usando-se o mesmo procedimento descrito na pag. 88.

Extrato 5A- 0,57981 gramas.

Extrato 5B- 1,39783 gramas.

Extrato 5C- 0,05455 gramas.

Extrato 5D- 0,66576 gramas.

Extrato 5E (precipitado)- 2,14020 gramas.

Os extratos 5B e 5C foram comparados por cromatografia em camada delgada de sílica gel com 10-metoxigeissoschizol, demonstrando conter esta substância como componente principal.

O precipitado em meio neutro, cromatografado em placa preparativa de sílica PF. O sistema eluente usado foi $\text{CHCl}_3 + \text{CH}_3\text{OH}$ 10% em atmosfera de amônia. Desta cromatografia foram isolados 2 alcalóides: ramiflorina A e ramiflorina B.

6.0- Propriedades Físicas dos Alcalóides Isolados

Todos os compostos isolados de Aspidosperma ramiflorum são alcalóides indólicos.

A seguir são apresentadas as propriedades físicas e os dados dos espectros de Ultravioleta (UV), Infravermelho (IV), Ressonância Magnética Nuclear de Proton (RMN de ^1H), Ressonância Magnética Nuclear de Carbono Treze (RMN de ^{13}C) e Espectro de Massa (EM) dos compostos isolados.

β - Yohimbina

Ponto de Fusão 231°C (CH_3OH) 75

Lit. 236 - 237°C

$\Delta \text{E}_D = -13$ (etanol, $c = 0,01073$ g/ml) · Lit. $\Delta \text{E}_D = -43$ (piridina)⁷⁵

Ultravioleta (etanol)

$\lambda_{\text{max}}^{\text{EtOH}} = 225\text{nm} (\log \epsilon 4,34); 281\text{nm} (\log \epsilon 3,73); 289\text{nm} (\log \epsilon 3,65)$.

Infravermelho

3520 cm^{-1} (OH); 3400 cm^{-1} (NH); 1730 cm^{-1} (C=O).

Espectro de Massa

m/e 354 (M+.100%); 353 (93%); 323 (6%); 295 (24%); 184 (37%); 170 (46%); 169 (58%); 156 (36%).

RMN de ^1H (CDCl_3)

8,05 ppm 1H s1 NH indólico
7,50-6,80 ppm 4H m H aromáticos
3,78 ppm 3H s1 $\text{CH}_3\text{OC=O}$
2,25 ppm 1H s1 OH

RMN de ^{13}C

Carbonos Totalmente Substituídos sp^2 : 174,8 (COOCH_3); 135,9 (C-13); 134,1 (C-2); 127,2 (C-8); 108,1 (C-7) ppm.

Carbonos do Tipo CH sp^2 : 121,3 (C-11); 119,3 (C-10); 118,0 (C-9); 110,7 (C-12) ppm.

Carbonos do Tipo CH_2 sp^3 : 61,00 (C-21); 52,8 (C-5); 34,1 (C-14); 34,1 (C-18); 27,9 (C-19); 21,7 (C-6) ppm.

Carbonos do Tipo CH sp^3 : 72,1 (C-17); 59,4 (C-3); 57,4 (C-16); 41,9 (C-15); 39,8 (C-20) ppm.

Carbono do tipo CH_3 : 51,9 ($\text{H}_3\text{CO-C=O}$) ppm.

10-metoxigeissoschizol

Ponto de Fusão: 90°C (etanol)

Lit. 185°C¹¹.

$\alpha_D^{25} = +22,12$ (etanol, $c = 0,010$ g/ml) Lit. $\alpha_D^{25} = -42$ (piridina)¹¹

Ultravioleta (etanol)

$\lambda_{\text{max}}^{\text{EtOH}} = 224,3\text{nm}$ ($\log \epsilon 4,4$); $281,1\text{nm}$ ($\log \epsilon 3,9$); $293,6\text{nm}$ ($\log \epsilon 3,8$).

Infravermelho

3350 cm^{-1} (OH); 3250 cm^{-1} (NH); 1210 cm^{-1} (-C-O-C-).

RMN de ^1H (CDCl_3)

8,90 ppm s1 1H NH indólico

7,40 - 6,60 ppm m 3H aromáticos

5,40 ppm m 1H C=CH

3,90 ppm s1 3H OCH₃

1,50 ppm d $J = 6\text{Hz}$ 3H CH₃CH=C<

Espectro de Massa

m/e: 326 (M+.100%); 325 (91%); 311 (7%); 295 (21%); 281 (34%); 267 (15%); 253 (14%); 214 (8%); 200 (29%); 199 (45%); 186 (29%).

RMN de ^{13}C

Carbonos totalmente substituídos sp^2 : 153,7 (C-10); 136,4 (C-20); 134,9 (C-2); 131,1 (C-13); 127,6 (C-8); 106,7 (C-7) ppm.

Carbonos do tipo CH sp^2 : 120,8 (C-19); 111,6 (C-11); 110,9 (C-12); 100,3 (C-9) ppm.

Carbonos do tipo CH_2 sp^3 : 61,1 (C-17); 53,6 (C-5); 51,0 (C-21); 35,9 (C-16); 32,6 (C-14); 18,4 (C-6).

Carbonos do tipo CH sp^3 : 54,2 (C-3); 31,8 (C-15) ppm.

Carbonos do tipo CH_3 : 55,9 ($\text{H}_3\text{CO}-$); 12,9 (C-18) ppm.

Ramiflorina A

Ponto de Fusão: 159°C

$\Delta \infty_D = +23,52$ (etanol, $c = 0,01013$ g/ml)

Ultravioleta (etanol)

$\lambda_{\text{max}}^{\text{EtOH}} = 224\text{nm} (\log \epsilon 4,9); 280\text{nm} (\log \epsilon 4,4); 288\text{nm} (\log \epsilon 4,3)$.

Infravermelho

3400 cm^{-1} (NH); 1210 cm^{-1} (-C-O-C-).

RMN de ^1H (CDCl_3)

7,9 ppm s1 1H NH indólico
 6,6-7,4 ppm m 7H aromáticos
 5,5 ppm q 1H C=CHCH₃
 3,8 ppm s1 3H OCH₃
 1,7 ppm d J= 6Hz 3H CH₃

Espectro de Massa

m/e: M⁺ 466 (23%); 449 (1%); 436 (2%); 283 (19%); 282 (77%); 281 (35%); 279 (33%); 253 (12%); 201 (25%); 186 (27%); 185 (100%); 184 (16%); 171 (38%); 119 (22%); 117 (24%).

RMN de ^{13}C

Carbonos totalmente substituídos sp²: 153,9 (C-10); 136,3 (C-2'); 135,5 (C-2); 135,5 (C-13'); 135,0 (C-20); 130,9 (C-13); 127,6 (C-8); 127,1 (C-8'); 108,2 (C-7); 106,8 (C-7') ppm.

Carbonos do tipo CH sp²: 121,3 (C-11'); 121,3 (C-19); 119,0 (C-10'); 117,6 (C-9'); 111,8 (C-11); 111,2 (C-12'); 110,2 (C-12); 100,2 (C-9) ppm.

Carbonos do tipo CH sp³: 53,2 (C-3); 51,4 (C-5); 31,0 (C-15) ppm.

Carbonos do tipo CH₂ sp³: 58,1 (C-21); 51,4 (C-5); 42,3 (C-5'); 37,8 (C-16); 33,1 (C-14); 22,3 (C-6'); 18,1 (C-6) ppm.

Carbonos do tipo CH₃: 55,9 (H₃CO-); 13,1 (C-18) ppm.

Ramiflorina B

Ponto de Fusão: 194°C

$[\alpha]_D = +59,20$ (etanol, $c = 0,010006$ g/ml)

Ultravioleta (etanol)

$\lambda_{\text{max}}^{\text{EtOH}} = 224\text{nm} (\log \epsilon 4,91); 280\text{nm} (\log \epsilon 4,40); 288\text{nm} (\log \epsilon 4,31).$

Infravermelho

3420 cm^{-1} (NH); 1220 cm^{-1} (-C=O-C-).

RMN de ^1H (CDCl_3)

9,2 ppm s1 1H NH indólico

6,75-7,45 ppm m 7H aromáticos

5,3 ppm q 1H C=CHCH₃

3,8 ppm s1 3H OCH₃

1,5 ppm d J= 6Hz 3H H₃C-CH=C<

Espectro de Massa

m/e: M+ 466 (25%); 449 (2%); 436 (4%); 284 (58%); 283 (80%); 282 (77%); 279 (70%); 253 (48%); 201 (35%); 186 (58%); 185 (100%); 184 (62%); 183 (65%); 171 (80%); 143 (49%); 130 (33%).

RMN de ^{13}C

Carbonos totalmente substituídos sp^2 : 154,3 (C-10); 137,6 (C-2'); 135,9 (C-2); 135,3 (C-13'); 135,2 (C-20); 130,3 (C-13); 128,4 (C-8); 127,0 (C-8'); 108,3 (C-7); 107,7 (C-7') ppm.

Carbonos do tipo CH sp^2 : 128,2 (C-19); 121,2 (C-11'); 118,9 (C-10'); 117,6 (C-9'); 111,7 (C-11); 111,5 (C-12'); 110,8 (C-12); 100,7 (C-9) ppm.

Carbonos do tipo CH sp^3 : 52,7 (C-3); 49,9 (C-17); 29,6 (C-15) ppm.

Carbonos do tipo CH_2 sp^3 : 52,6 (C-21); 51,1 (C-5); 41,4 (C-5'); 37,4 (C-16); 29,6 (C-14); 22,5 (C-6'); 17,6 (C-6) ppm.

Carbonos do tipo CH_3 : 55,9 ($\text{H}_3\text{CO}-$); 12,7 (C-18) ppm.

Acetilação da Ramiflorina A

50,00 mg da ramiflorina A foram dissolvidas em 1 ml de píridina seca e adicionou-se 0,8 ml de anidrido acético. A reação ficou sob agitação por 2 horas a temperatura ambiente. Adicionou-se 30 ml de água destilada e extraiu-se 3 vezes com 30 ml de clorofórmio. As fases orgânicas reunidas foram lavadas com água e secas com Na_2SO_4 anidro e o solvente retirado em rotavapor, resultando 61,13 mg de um único composto.

Ponto de Fusão: 214°C

$\lvert\alpha\rvert_D = +17,7$ (etanol, $c = 0,00577\text{g/ml}$)

Ultravioleta (etanol)

$\lambda_{\max}^{\text{EtOH}} 226,7\text{nm}$ ($\log \epsilon 4,65$); 280,0nm ($\log \epsilon 4,08$); 289,0nm ($\log \epsilon 4,02$).

Infravermelho

3400 cm^{-1} (NH); 1630 cm^{-1} (-CO-N $\langle\cdot\rangle$).

RMN de ^1H (CDCl_3)

9,4 ppm s1 1H NH indólico

8,5 ppm s1 1H NH indólico

6,7-7,7 ppm m 7H aromáticos

5,3 ppm q 1H =CHCH₃

3,8 ppm s1 3H -OCH₃

2,2 ppm s1 3H CH₃C=O(N $\langle\cdot\rangle$)

1,3 ppm d J= 6Hz 3H =CHCH₃

Espectro de Massa

m/e: M+.508 (31%); 295 (29%); 283 (21%); 282 (100%); 281 (29%); 279 (15%); 255(6%); 243 (8%); 227. (5%); 213 (9%); 201 (9%); 186 (5%); 171 (10%).

Acetilação Ramiflorina B

50,00 mg da ramiflorina B foram dissolvidas em 1 ml de píridina seca e adicionou-se 0,8 ml de anidrido acético. A reação ficou sob agitação por 2 horas a temperatura ambiente. Adicionou-se 30 ml de água destilada e extraiu-se 3 vezes com 30 ml de clorofórmio. As fases orgânicas reunidas foram lavadas com água destilada e secas com Na_2SO_4 anidro e o solvente retirado em rotavapor resultando 56,82 mg de um único composto.

Ponto de Fusão: 253°C

$\text{[}\alpha\text{]}_D = +12,24$ (CHCl_3 , $c = 0,00834$ g/ml)

Ultravioleta (etanol)

$\lambda_{\text{max}}^{\text{EtOH}} = 224,0\text{nm}$ ($\log \epsilon 4,70$); 280,0nm ($\log \epsilon 4,14$); 289,0nm ($\log \epsilon 4,08$).

Infravermelho

3410 cm^{-1} (NH); 1640 cm^{-1} (-CO-N-)

RMN de ^1H (CDCl_3)

9,5 ppm s1 1H NH indólico
7,9 ppm s1 1H NH indólico
6,6-7,6 ppm m 7H aromáticos
5,3 ppm q 1H =CHCH₃
3,8 ppm s1 3H -OCH₃
2,3 ppm s1 3H CH₃C=O(NC)
1,4 ppm d J= 6Hz 3H =CHCH₃

Espectro de Massa

m/e: M+, 508 (88%); 477 (7%); 367 (6%); 347 (5%); 308 (74%); 296 (20%);
295 (89%); 293 (17%); 283 (24%); 282 (100%); 281 (79%); 279 (31%); 265
(17%); 253 (23%); 227 (5%); 213 (31%); 201 (26%); 200 (31%); 187 (26%)
171 (22%).

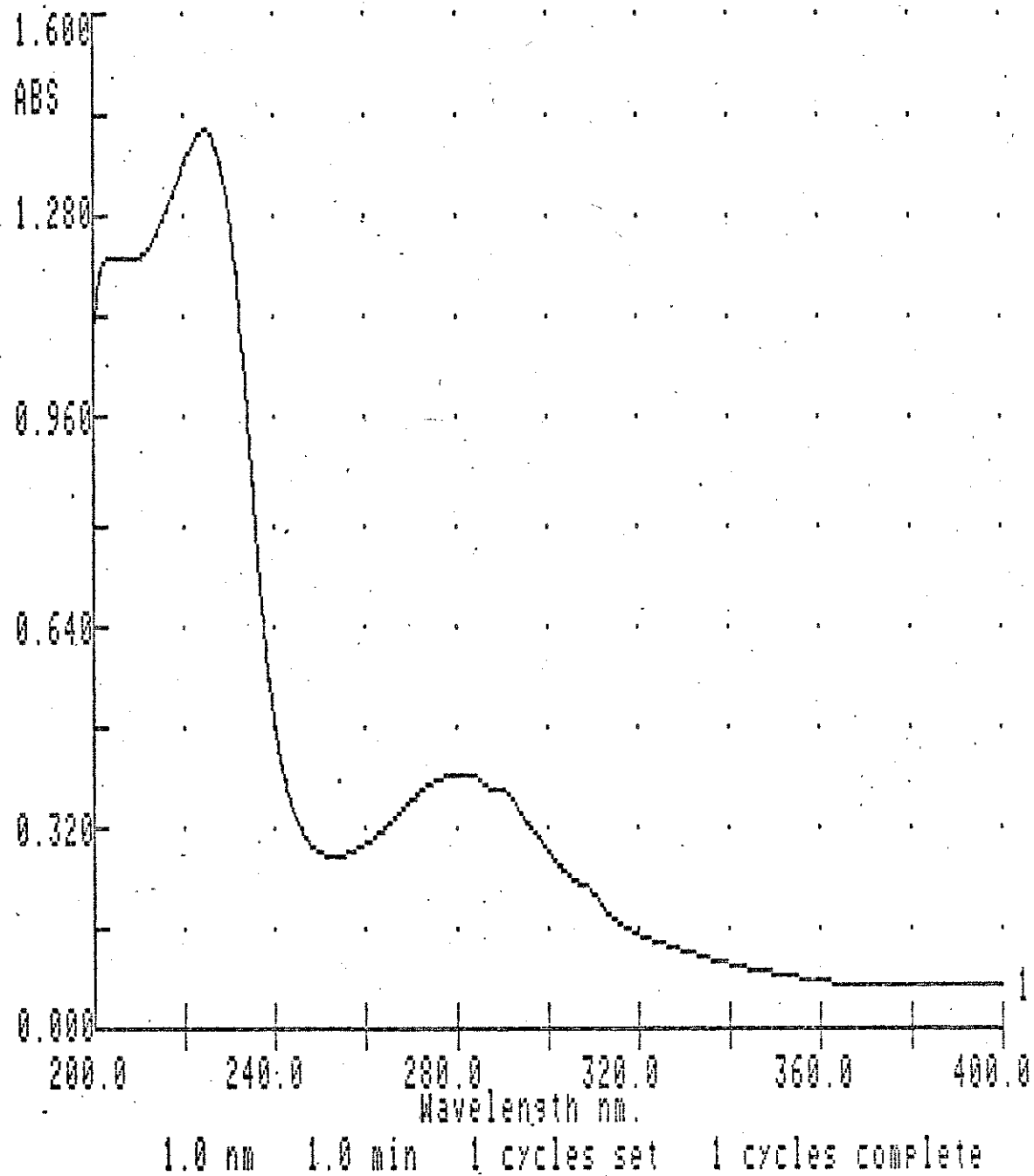


Figura 2 - Espectro no Ultravioleta da Ramiflorina A

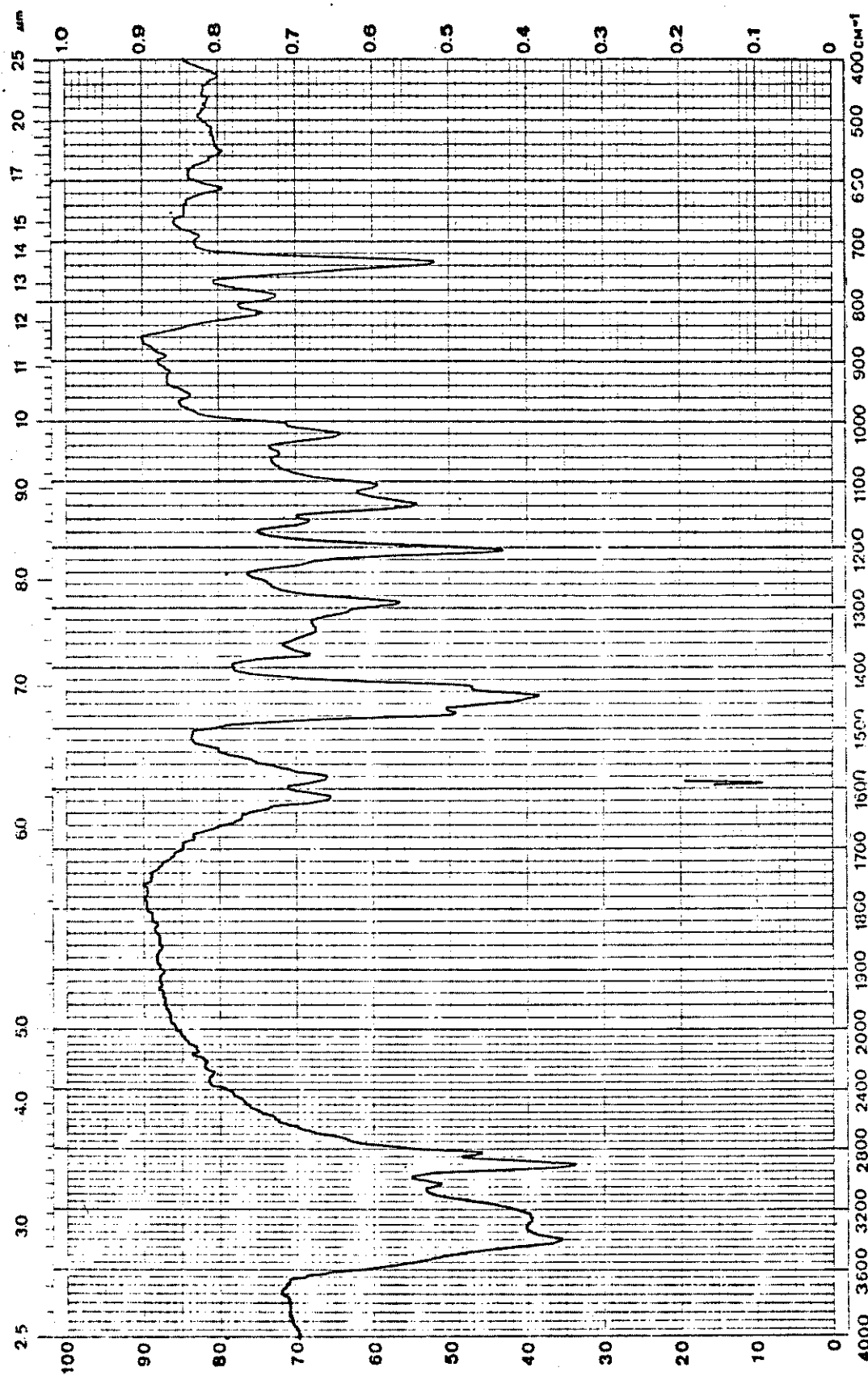


Figura 3 - Espectro no Infravermelho da Ramiflorina A

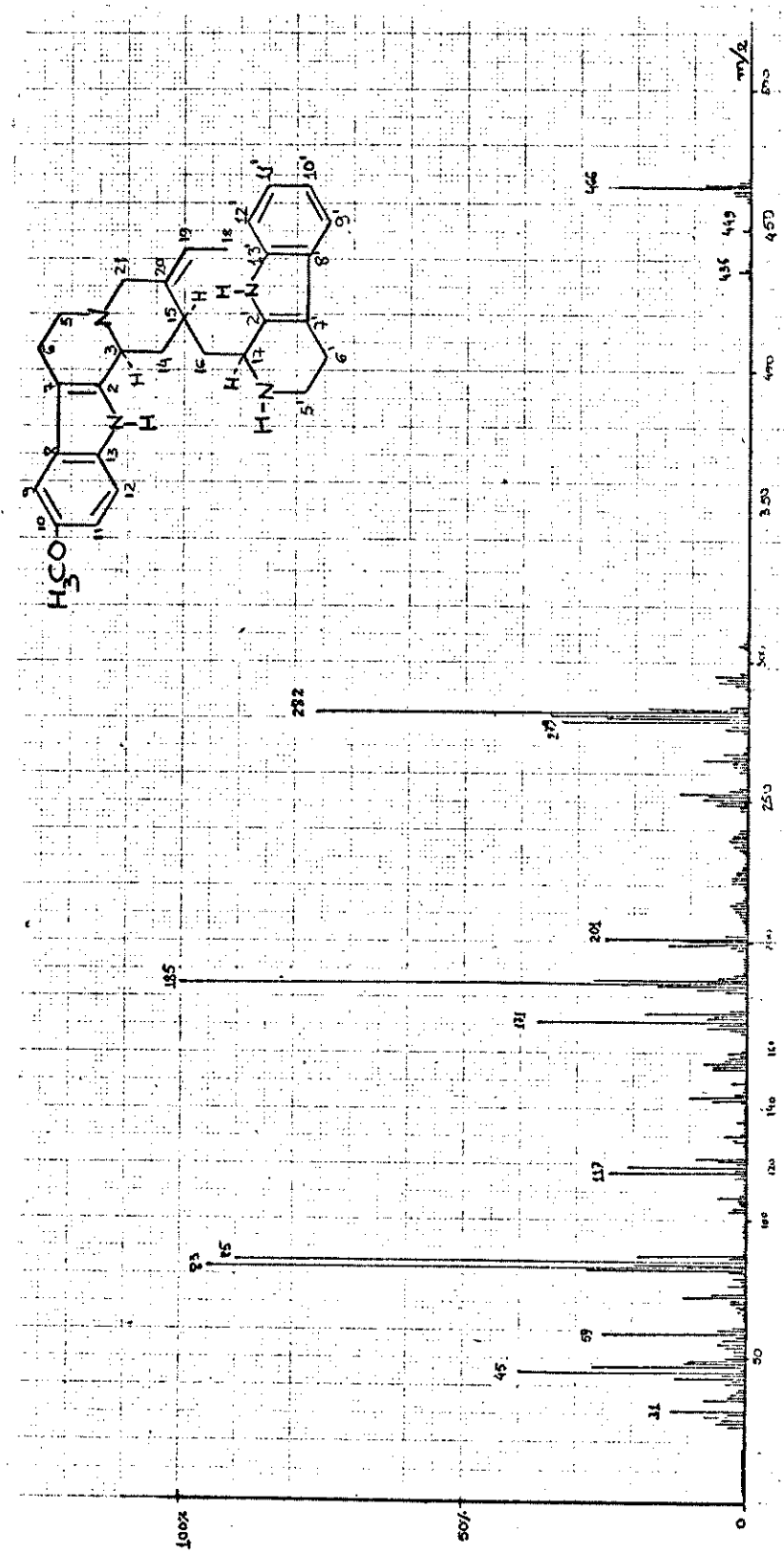


Figura 4 - Espectro de Massa da Ramiflorina A

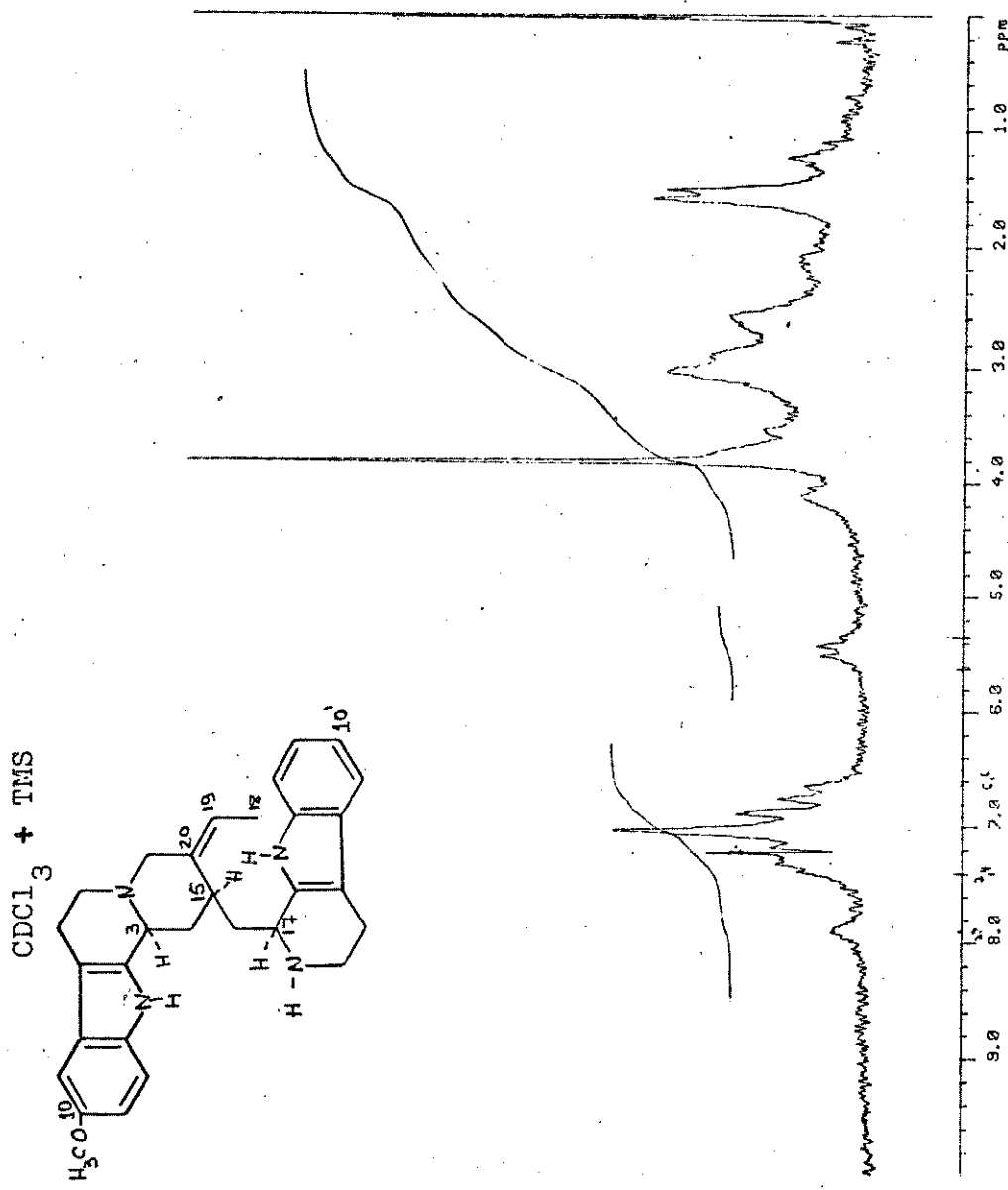


Figura 5 - Espectro de RMN de ¹H da Ramiflorina A

$\text{CDCl}_3 + \text{D}_2\text{O} + \text{TMS}$

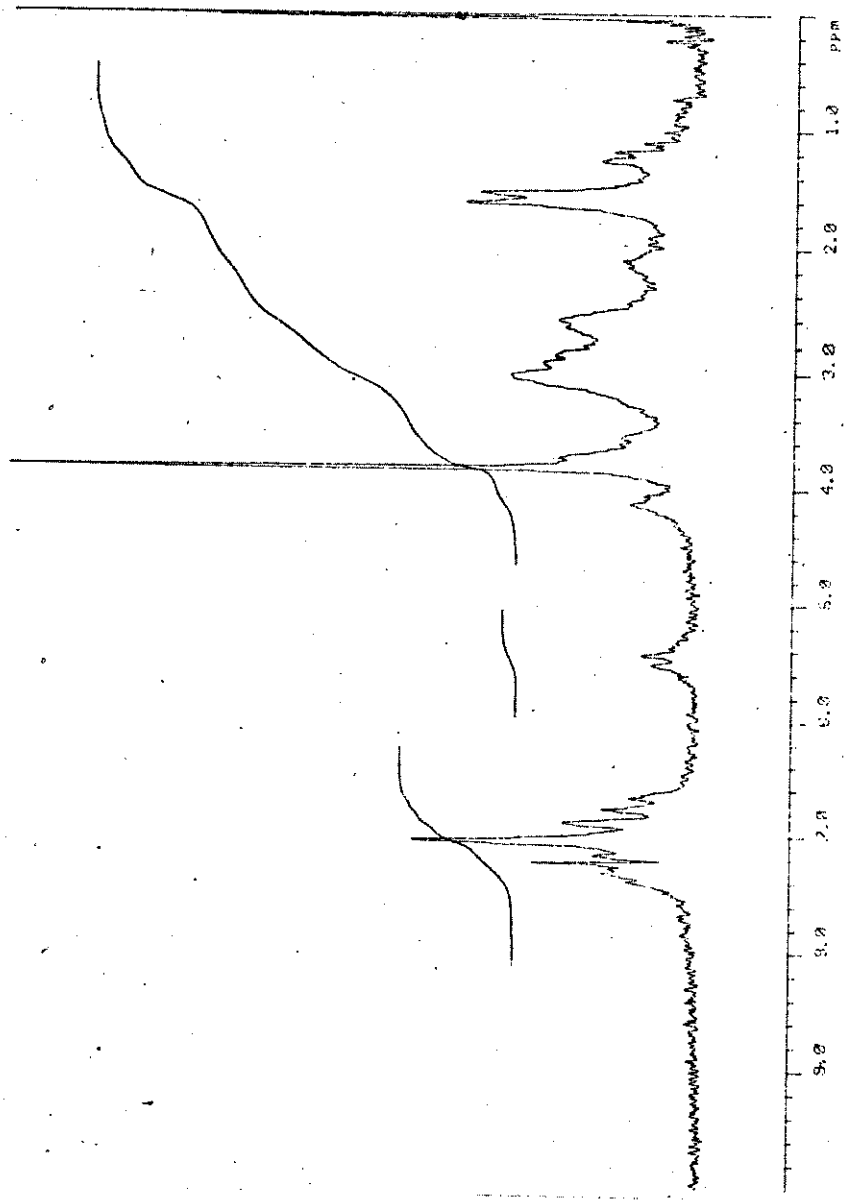


Figura 6 - Espectro de RMN de ^1H da Ramiflorina A na presença de D_2O

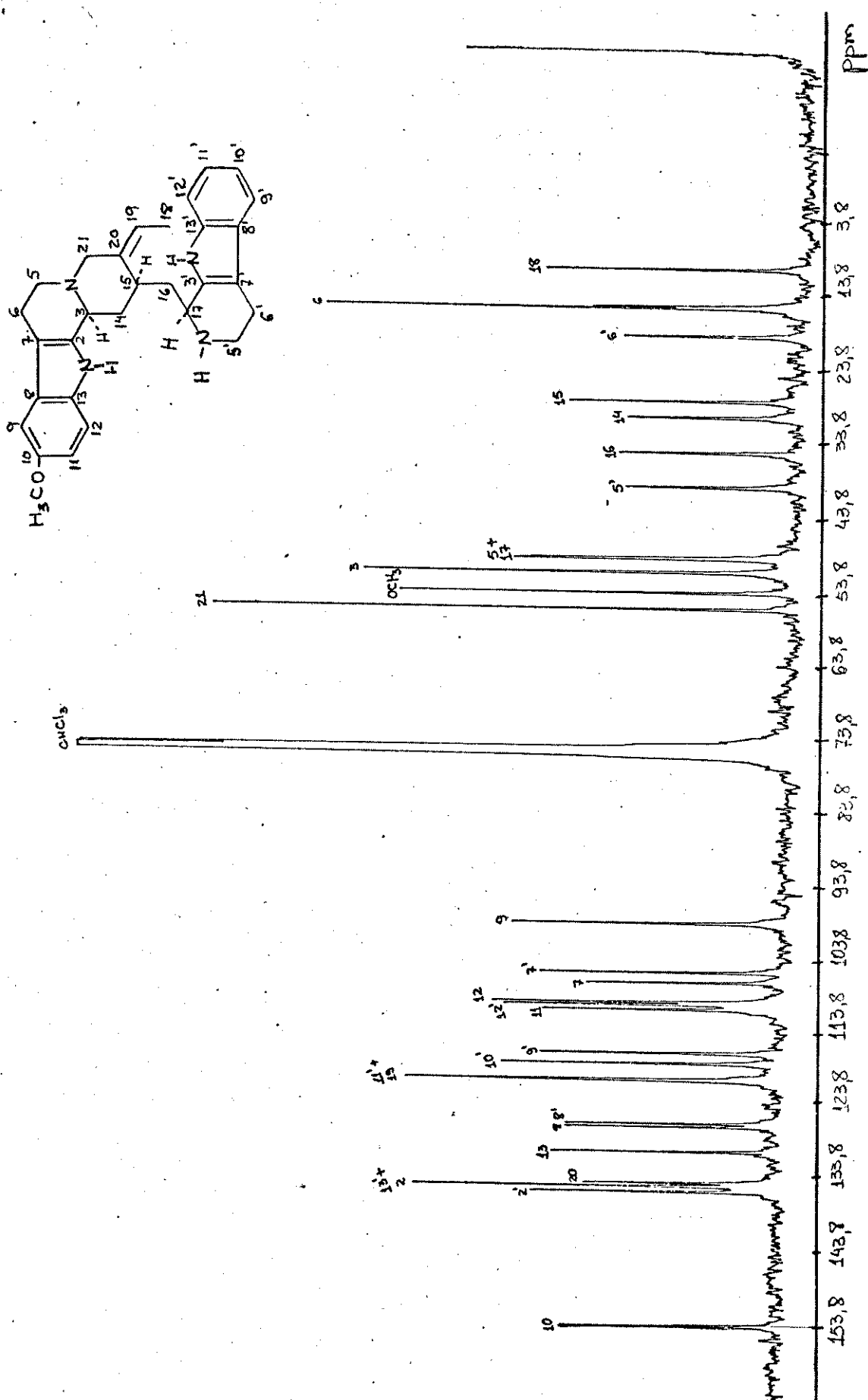


Figura 7 - Espectro de RMN de ^{13}C (DFL) da Ramiflorina A

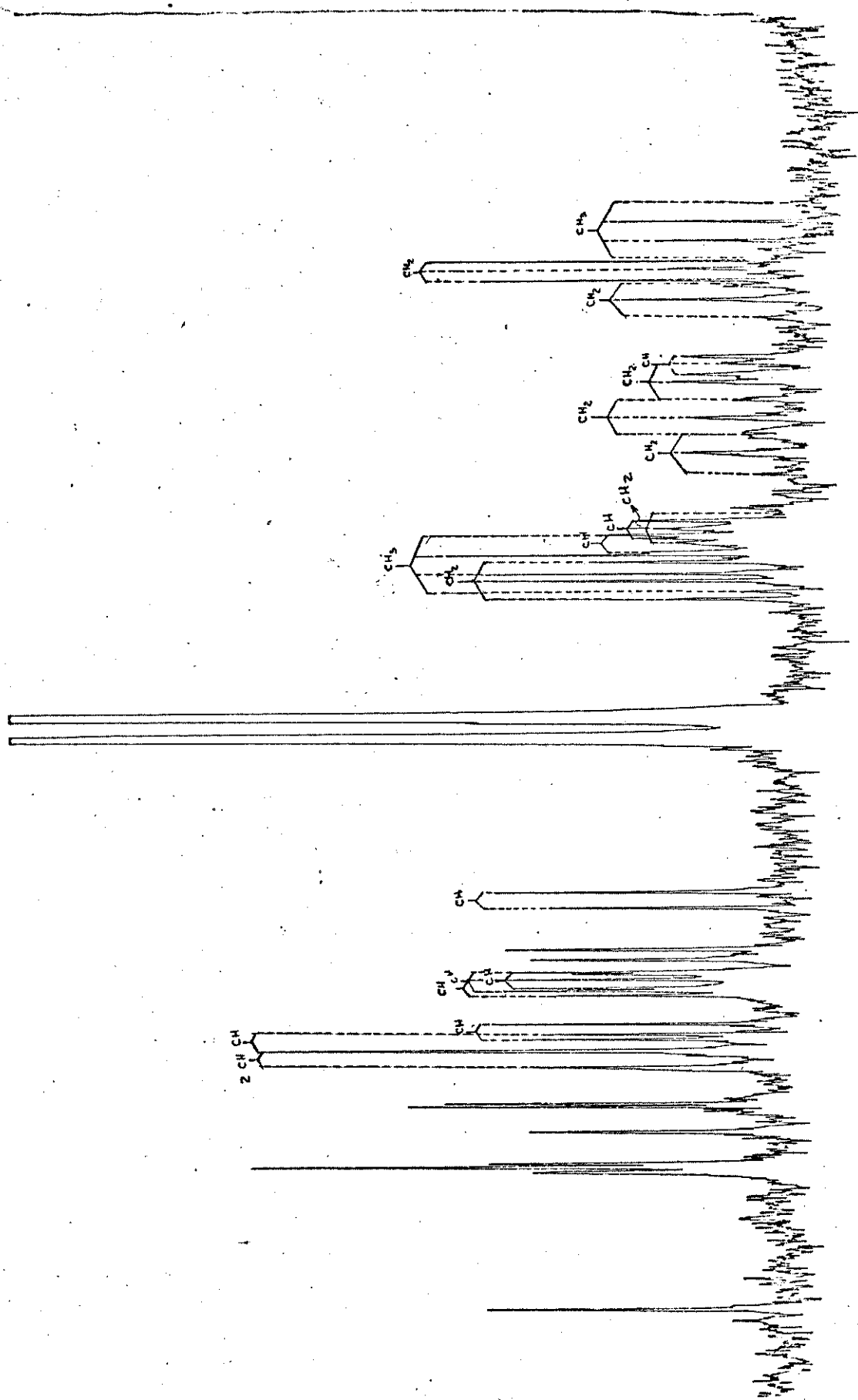


Figura 8 - Espectro de RMN de ^{13}C (SFORD) da Ramiflorina A

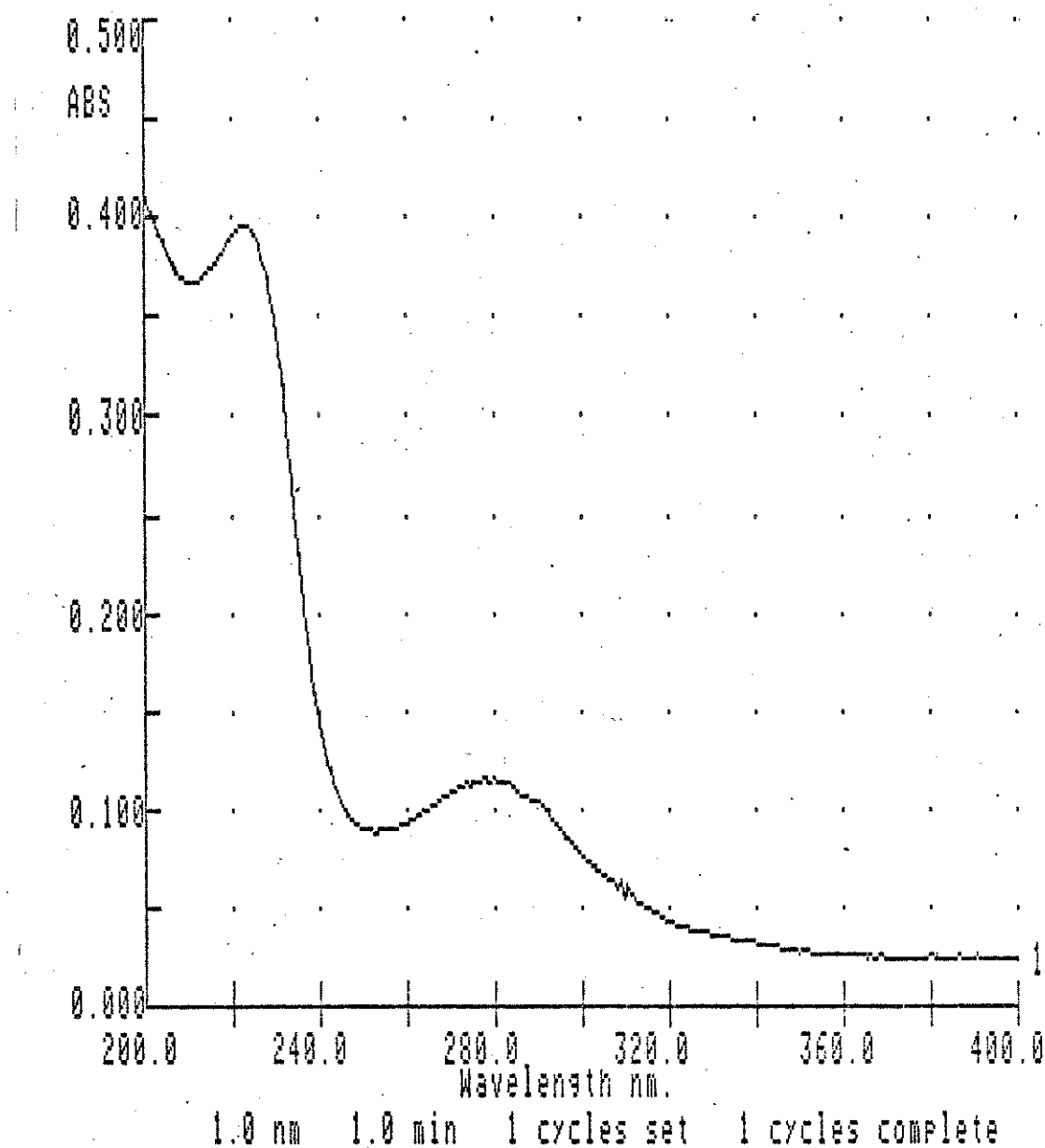


Figura 9 - Espectro no Ultravioleta da Ramiflorina B

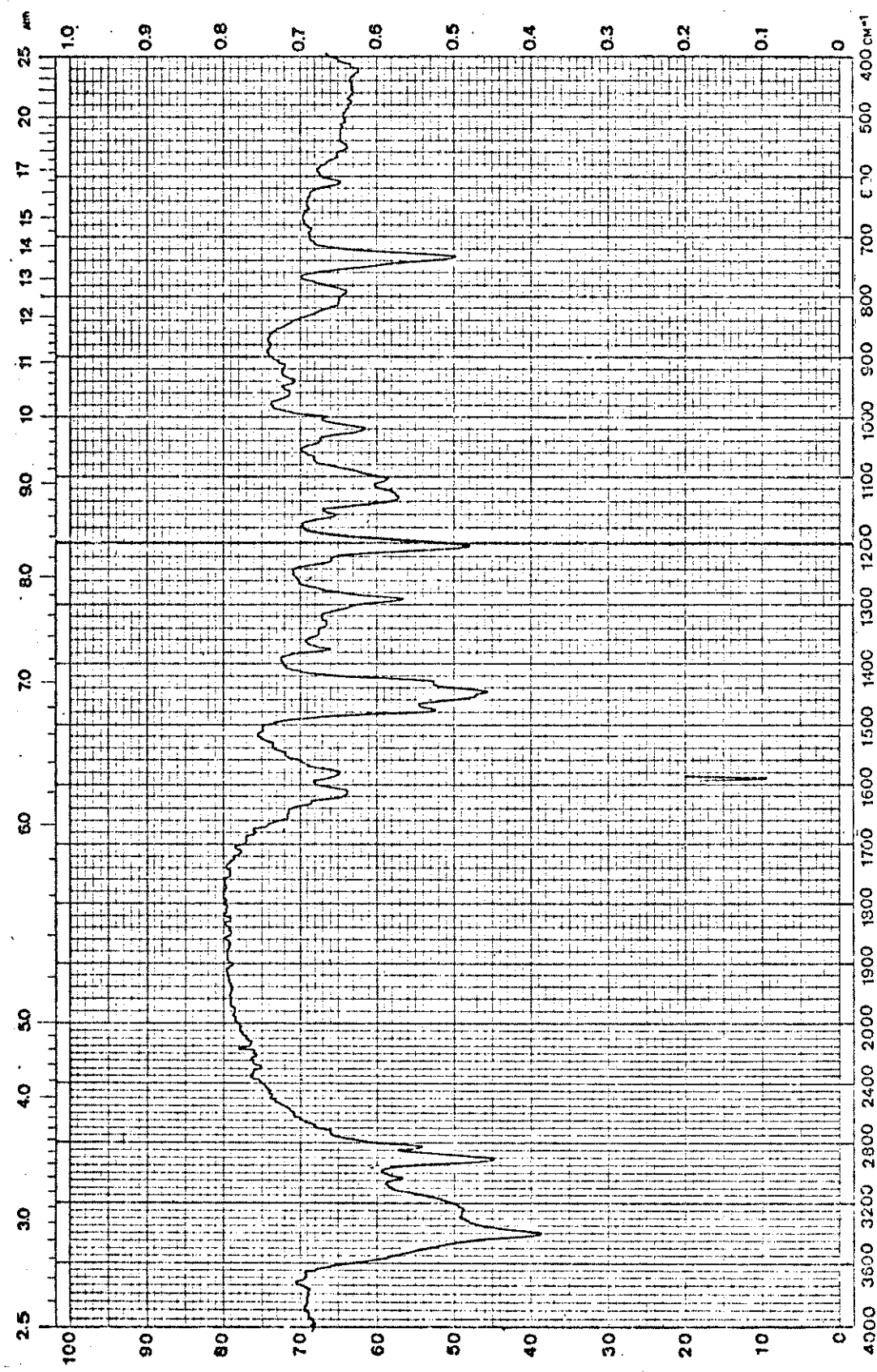


Figura 10 – Espectro no Infravermelho da Ramiflórina B

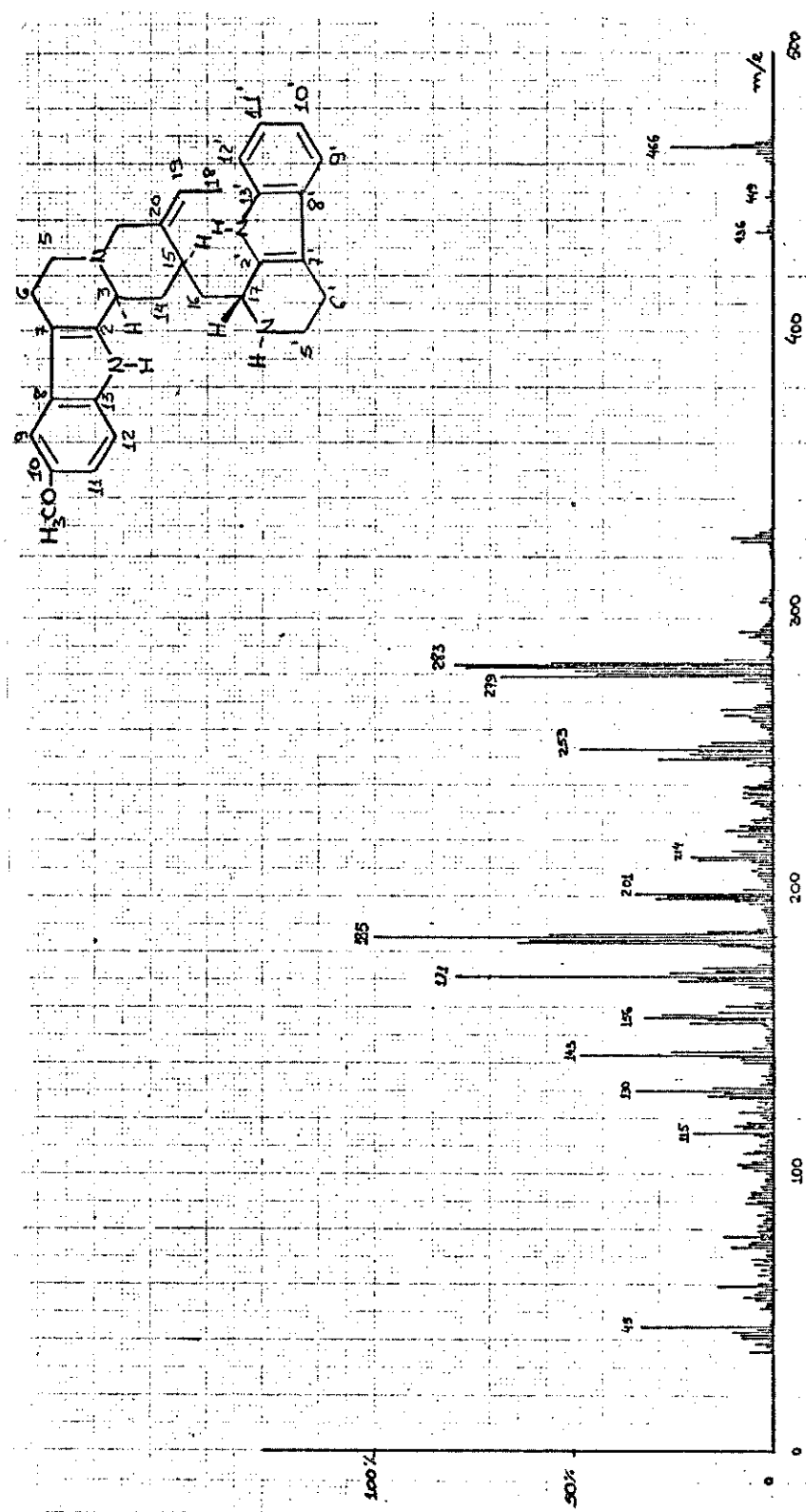


Figura 11 - Espectro de Massa da Ramiflorina B

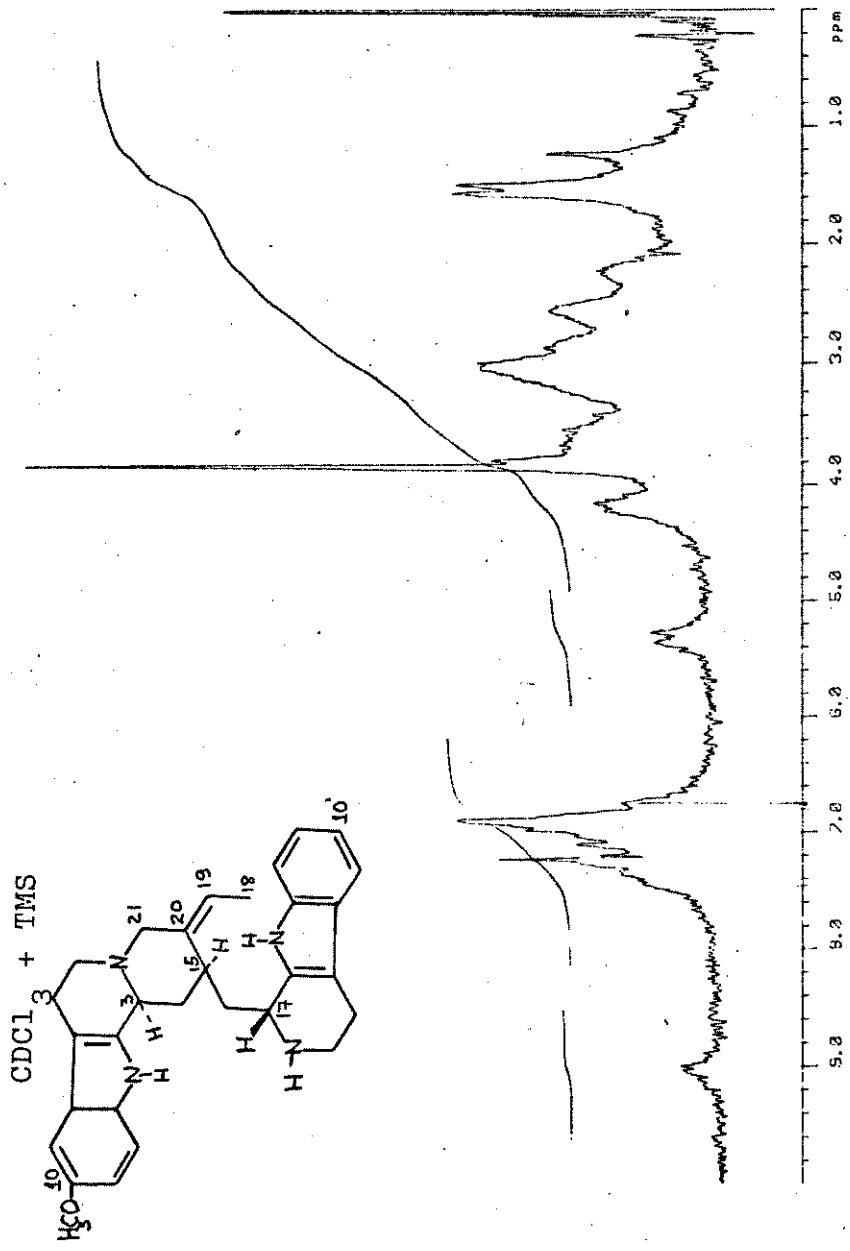


Figura 12 - Espectro de RMN de ^1H da Ramiflorina B

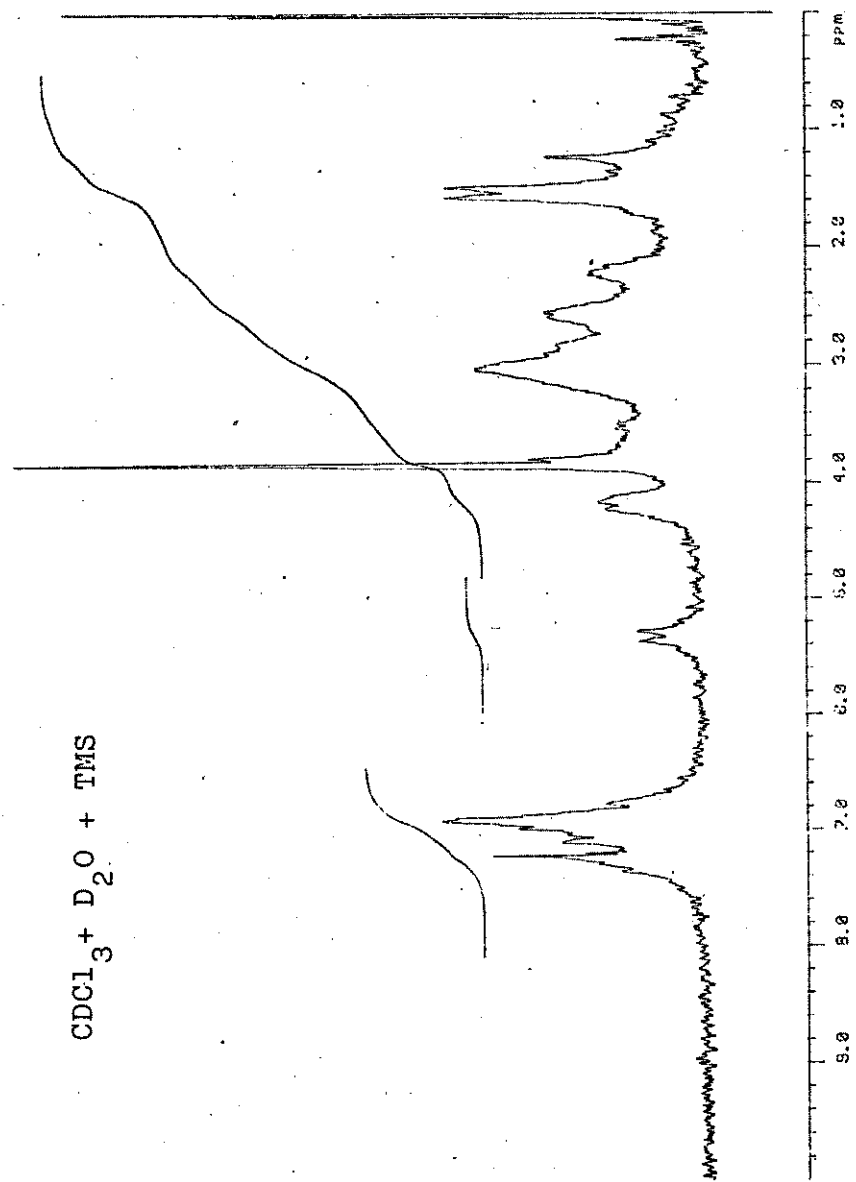


Figure 13. - Espectro de RMN de ^1H da Ramiflorina B na presença de D_2O

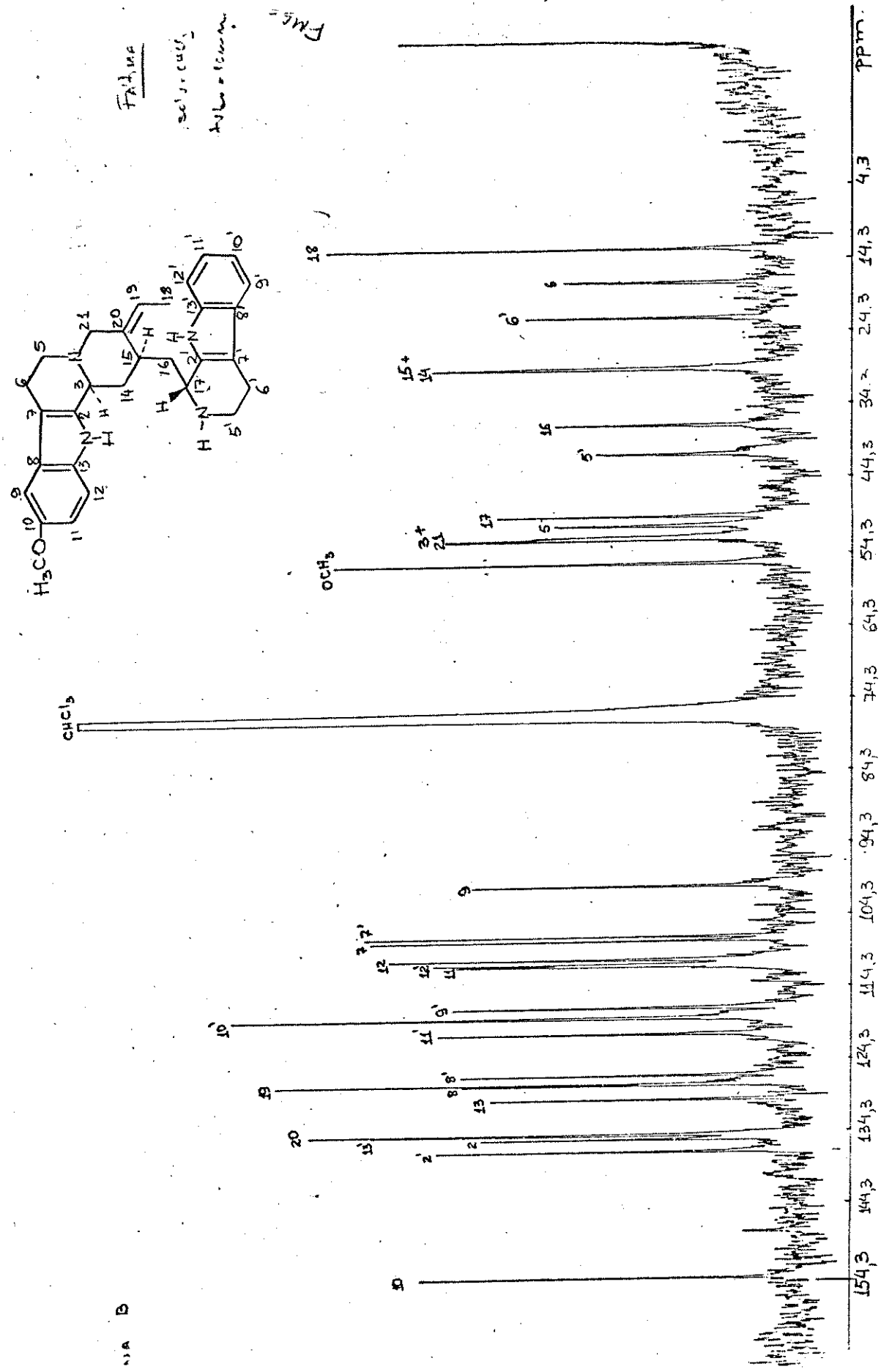


Figura 14 - Espectro de RMN de ^{13}C . (DFL) da Ramiflorina B

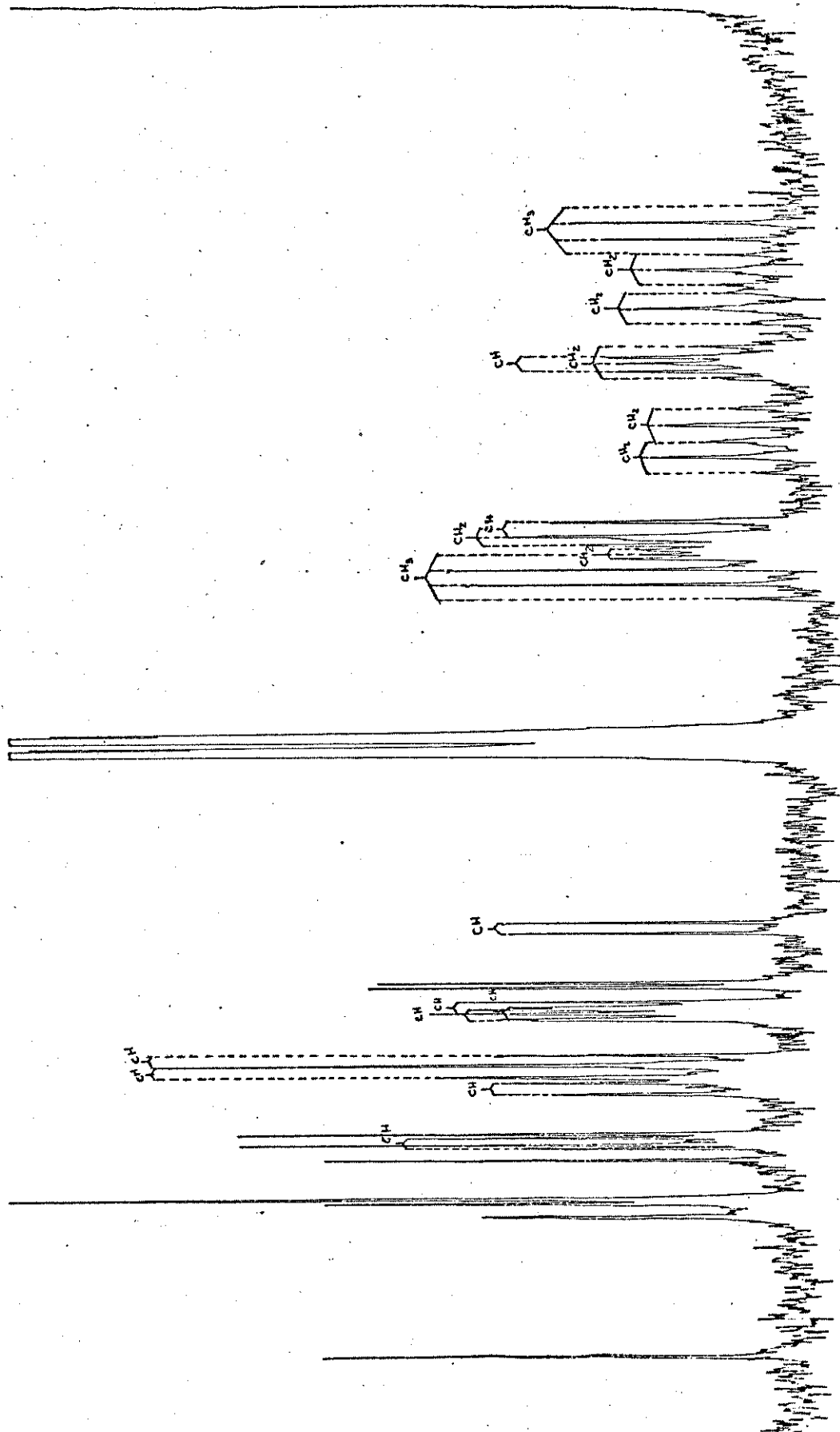


Figura 15 - Espectro de RMN de ^{13}C (SFORD) da *Ramiflorina B*

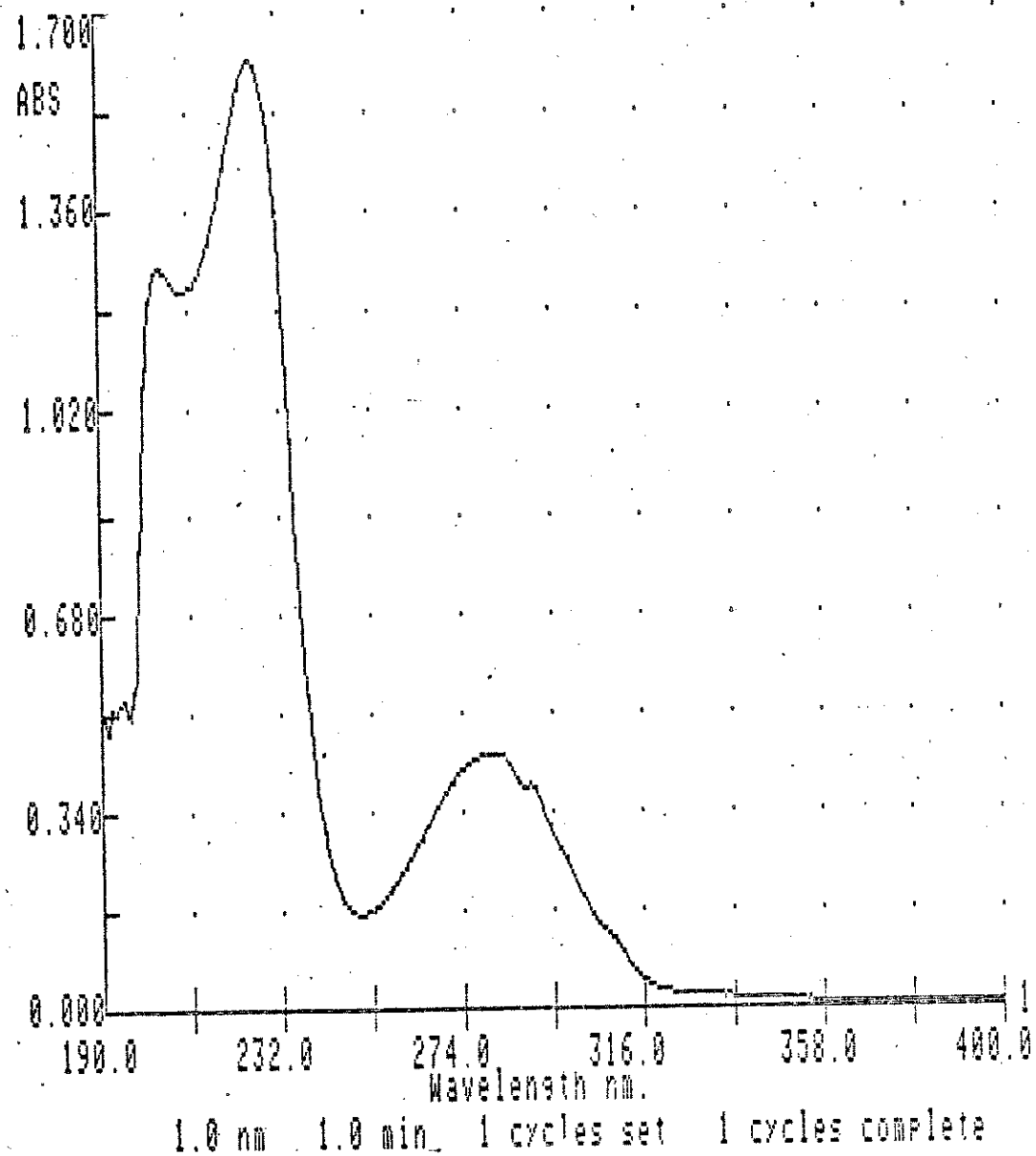


Figura 16 - Espectro no Ultravioleta da Ramiflorina A Acetilada.

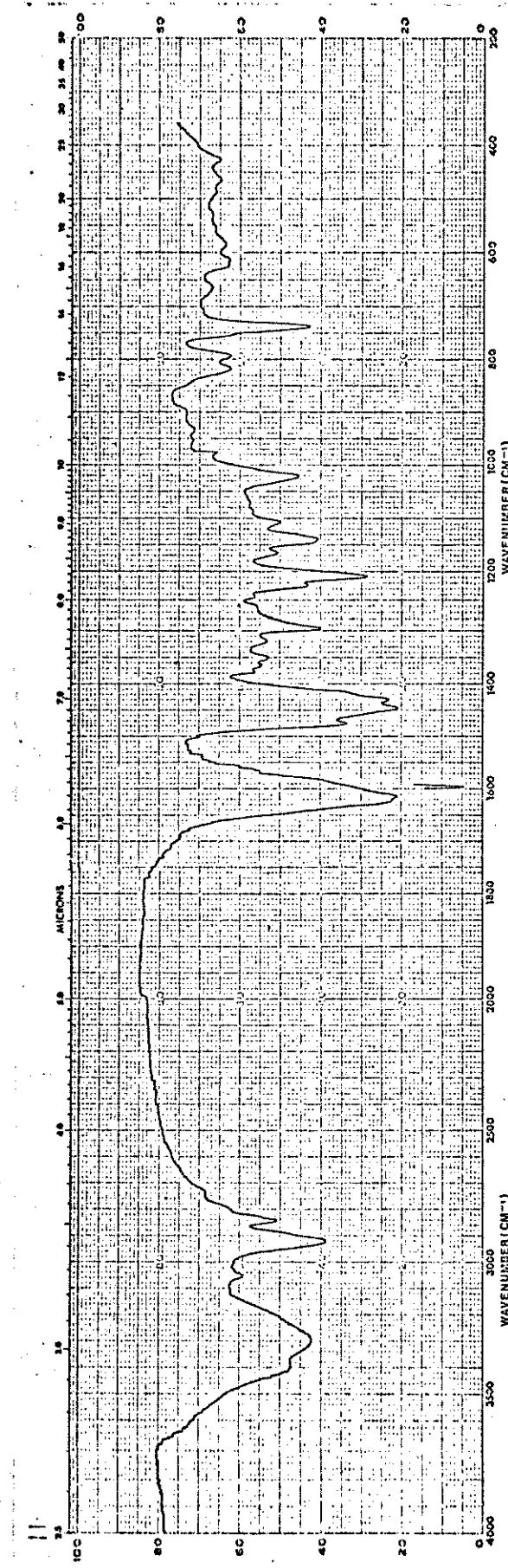


Figura 17 - Espectro no Infravermelho da Ramiflorina A Acetilada.

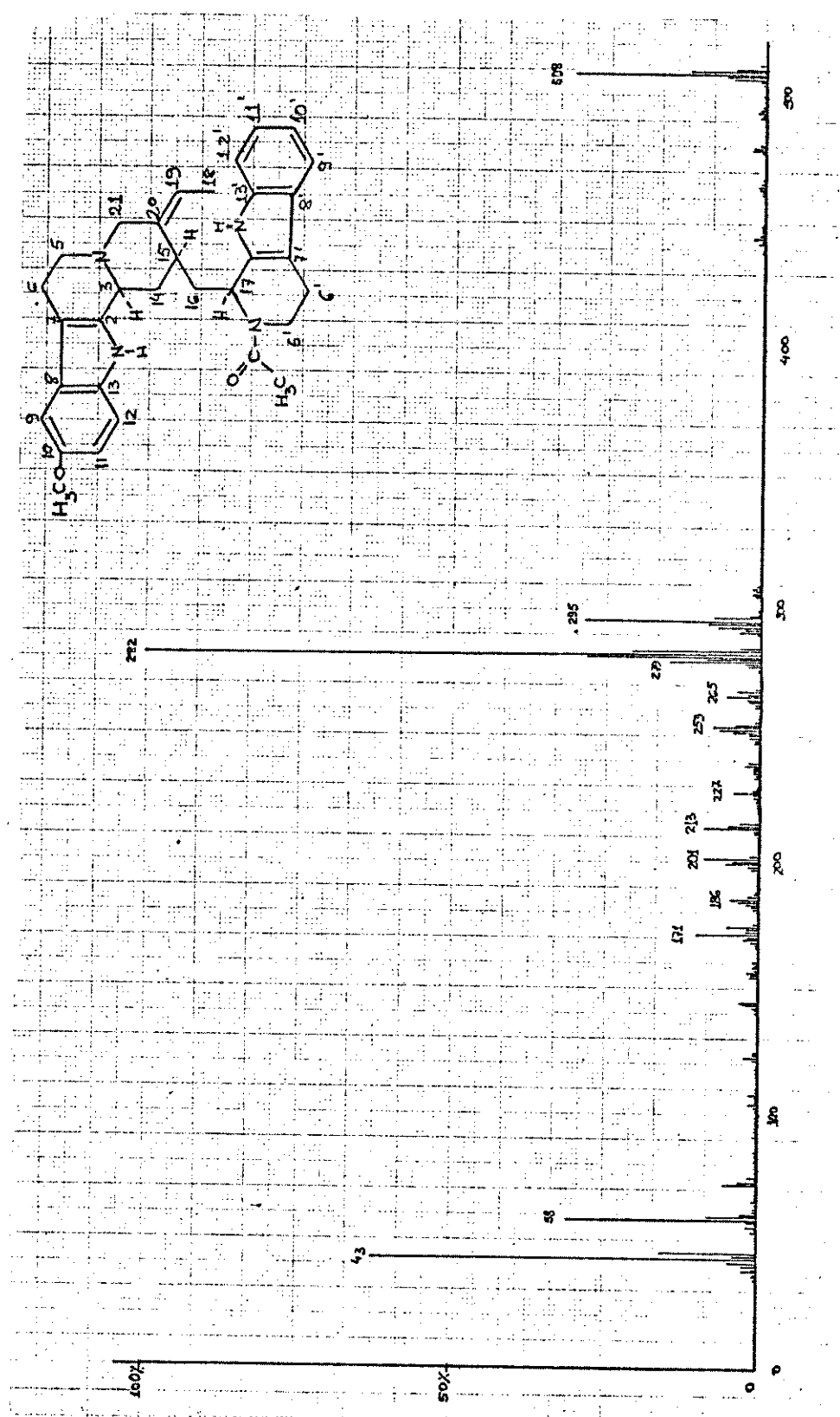


Figura 18 - Espectro de Massa da Ramiflorina A Acetilada

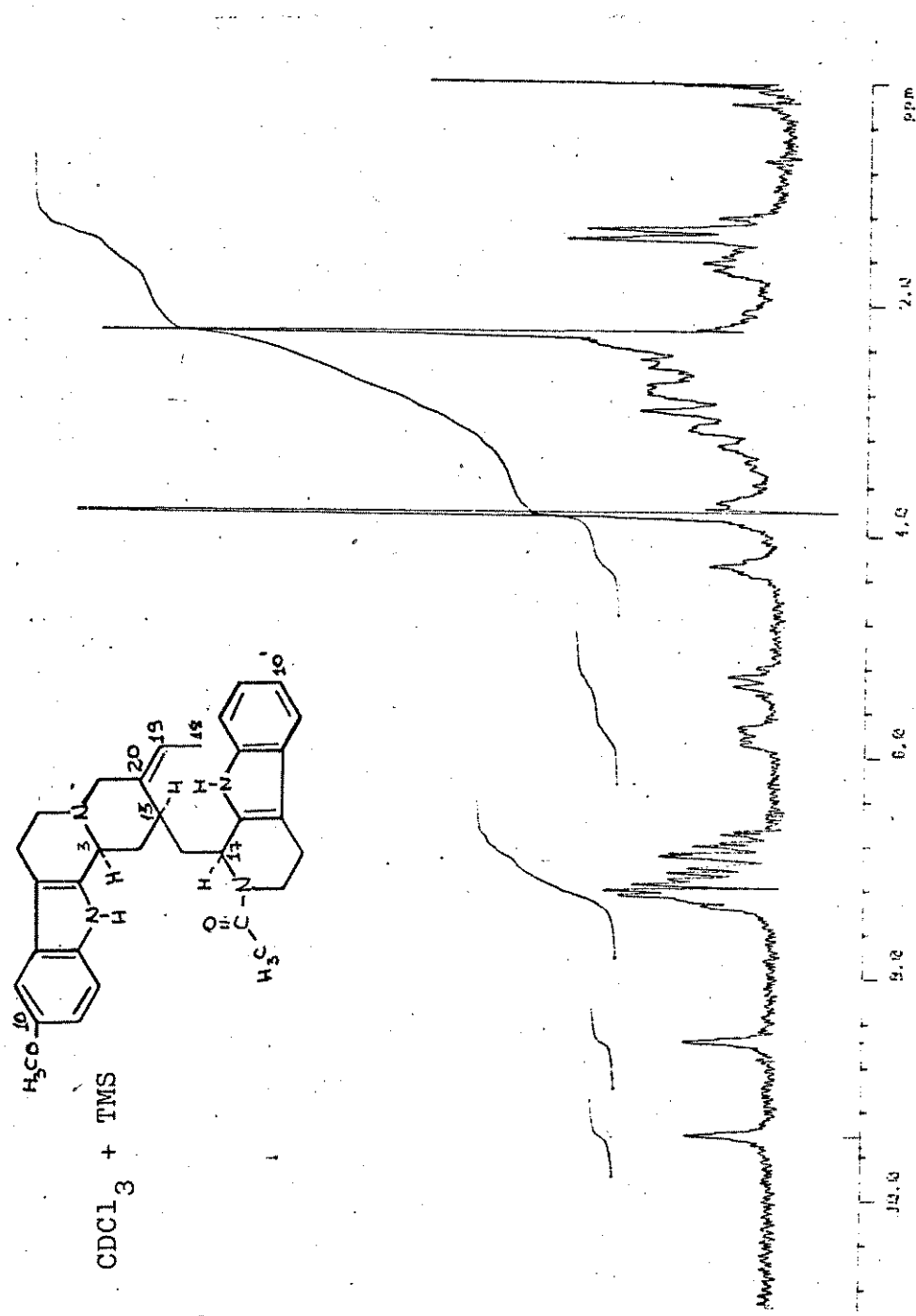


Figura 19 - Espectro de RMN de ^1H da Ramiflorina A Acetilada.

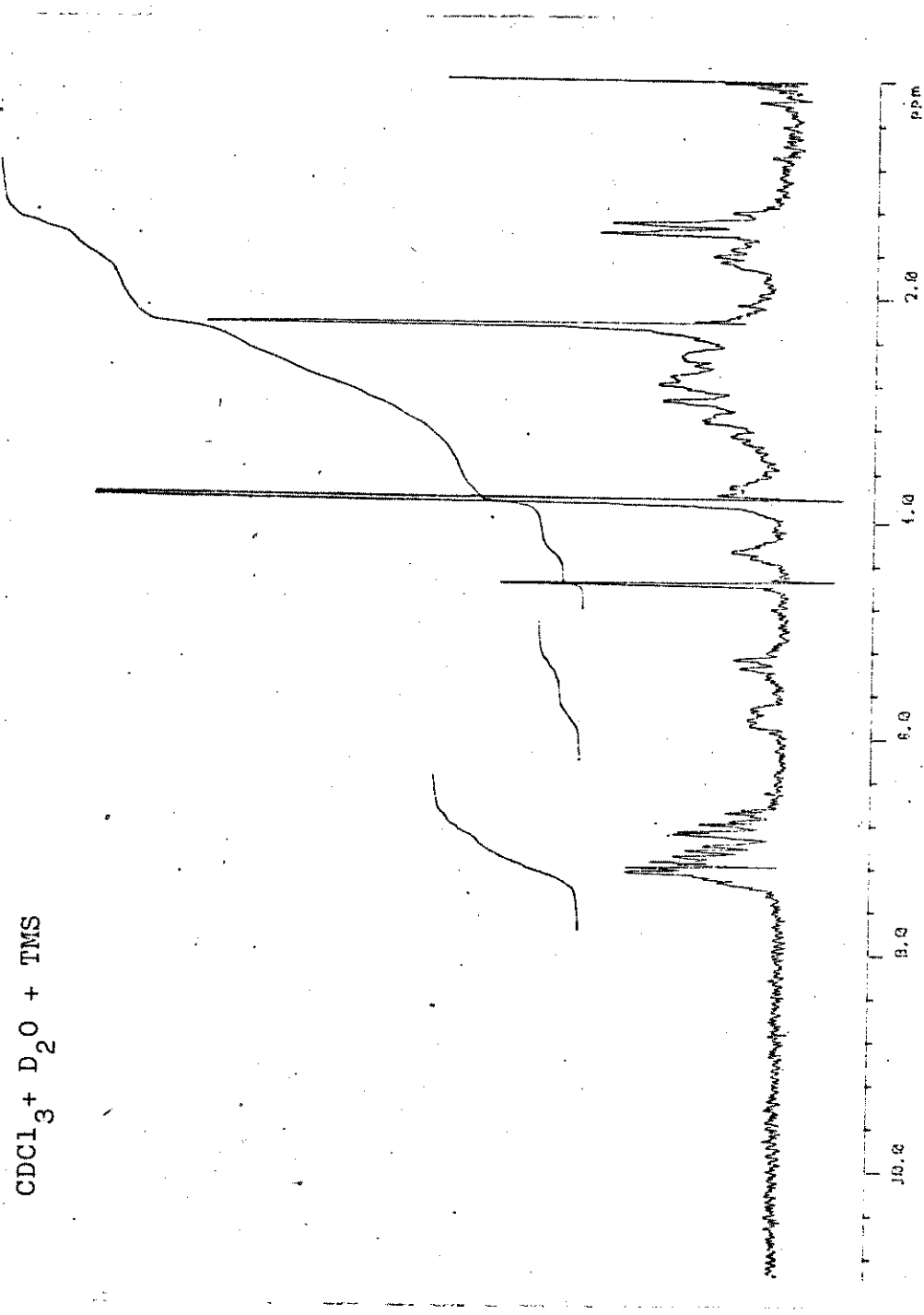


Figura 20 - Espectro de RMN de ¹H da Ramiflorina A Acetillada na presença de D₂O

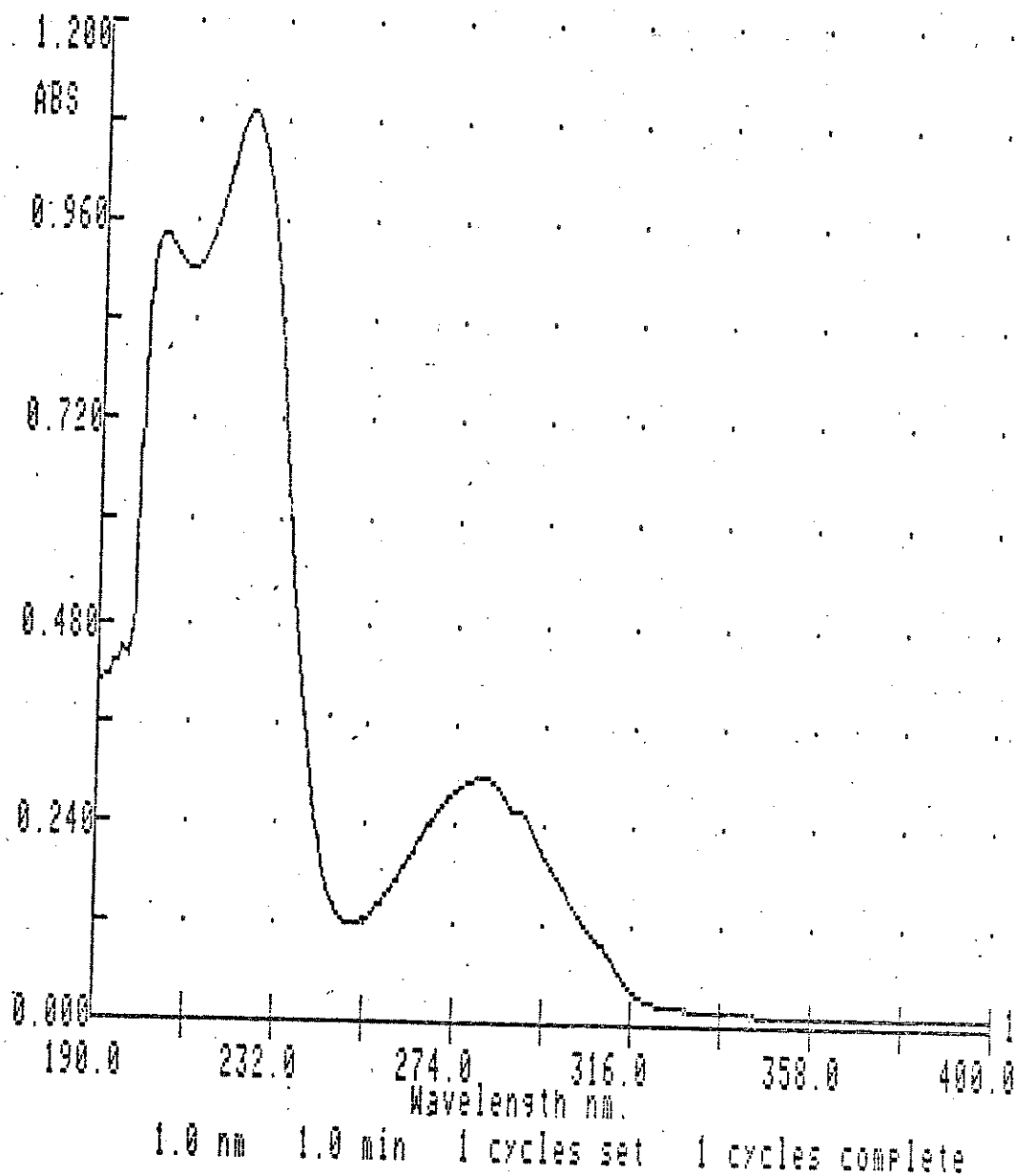


Figura 21 - Espectro no Ultravioleta da Ramiflorina B Acetilada

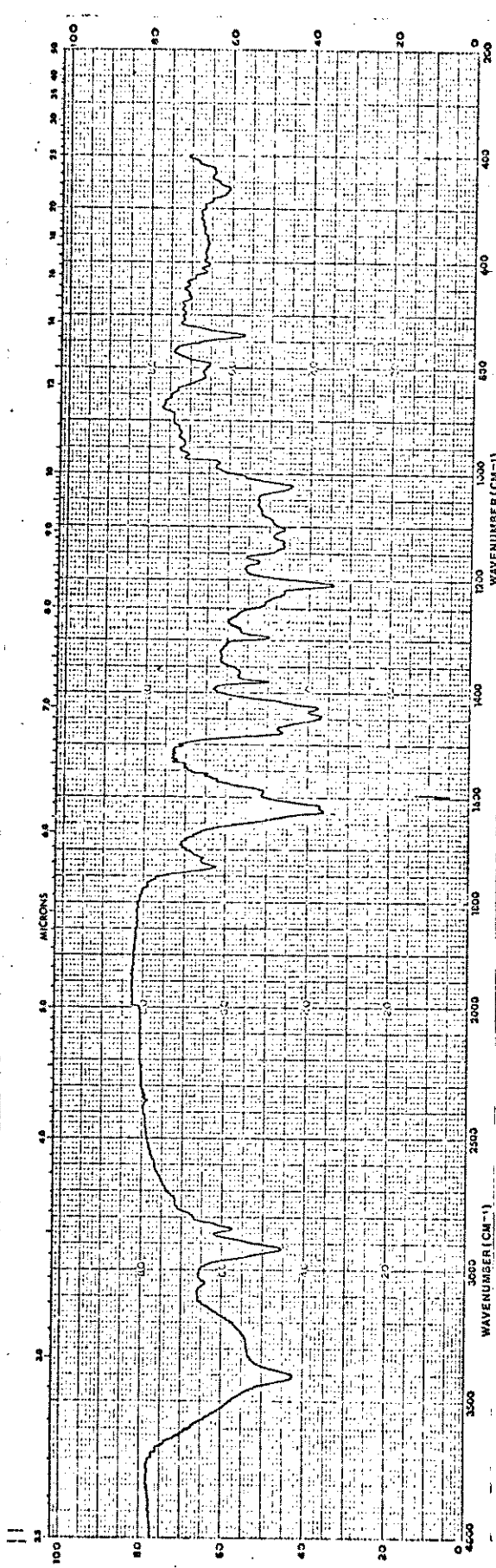


Figura 22 - Espectro no Infravermelho da Ramiflorina B Acetilada.

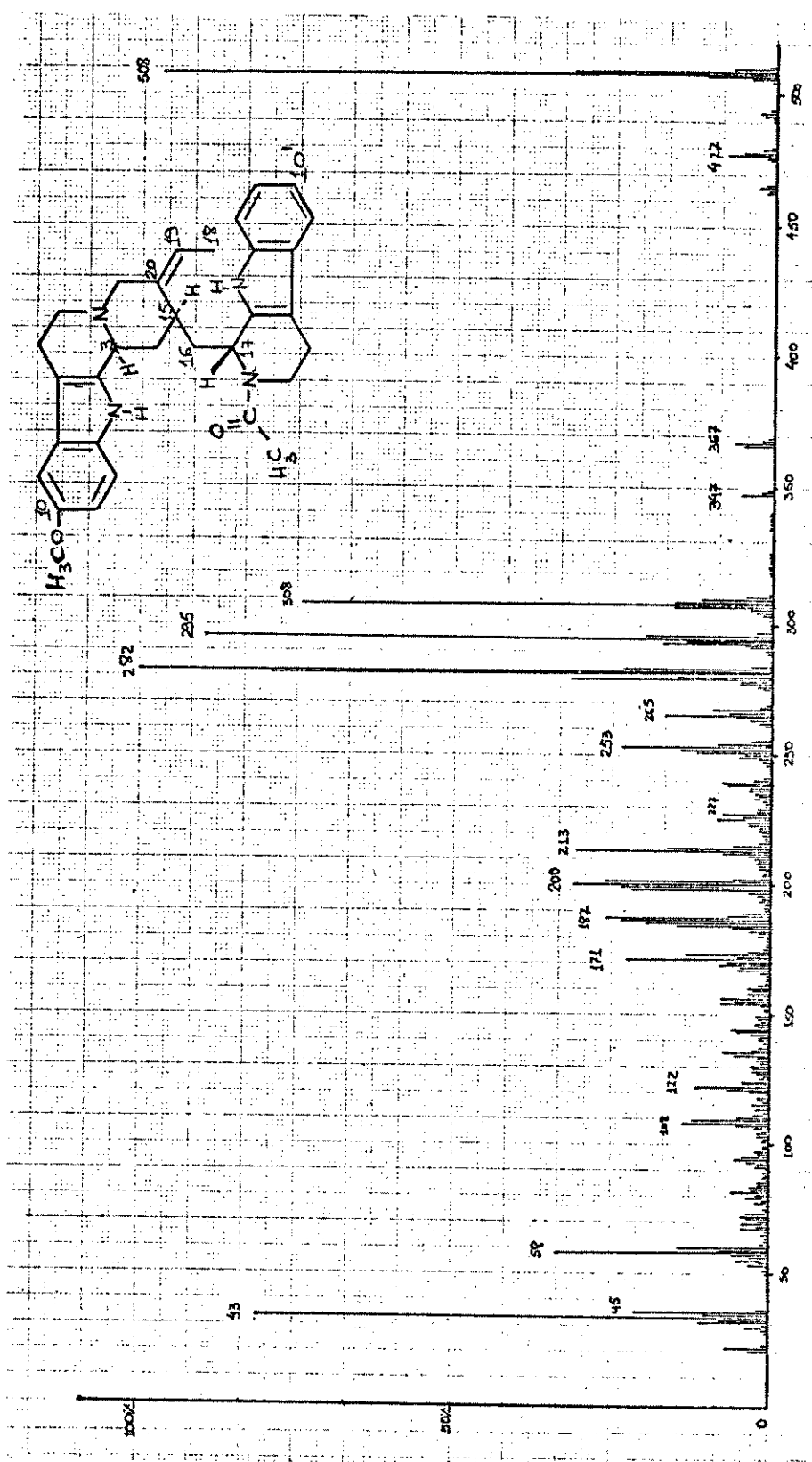


Figura 23. - Espectro de Massa da Ramiflorina B Acetylada

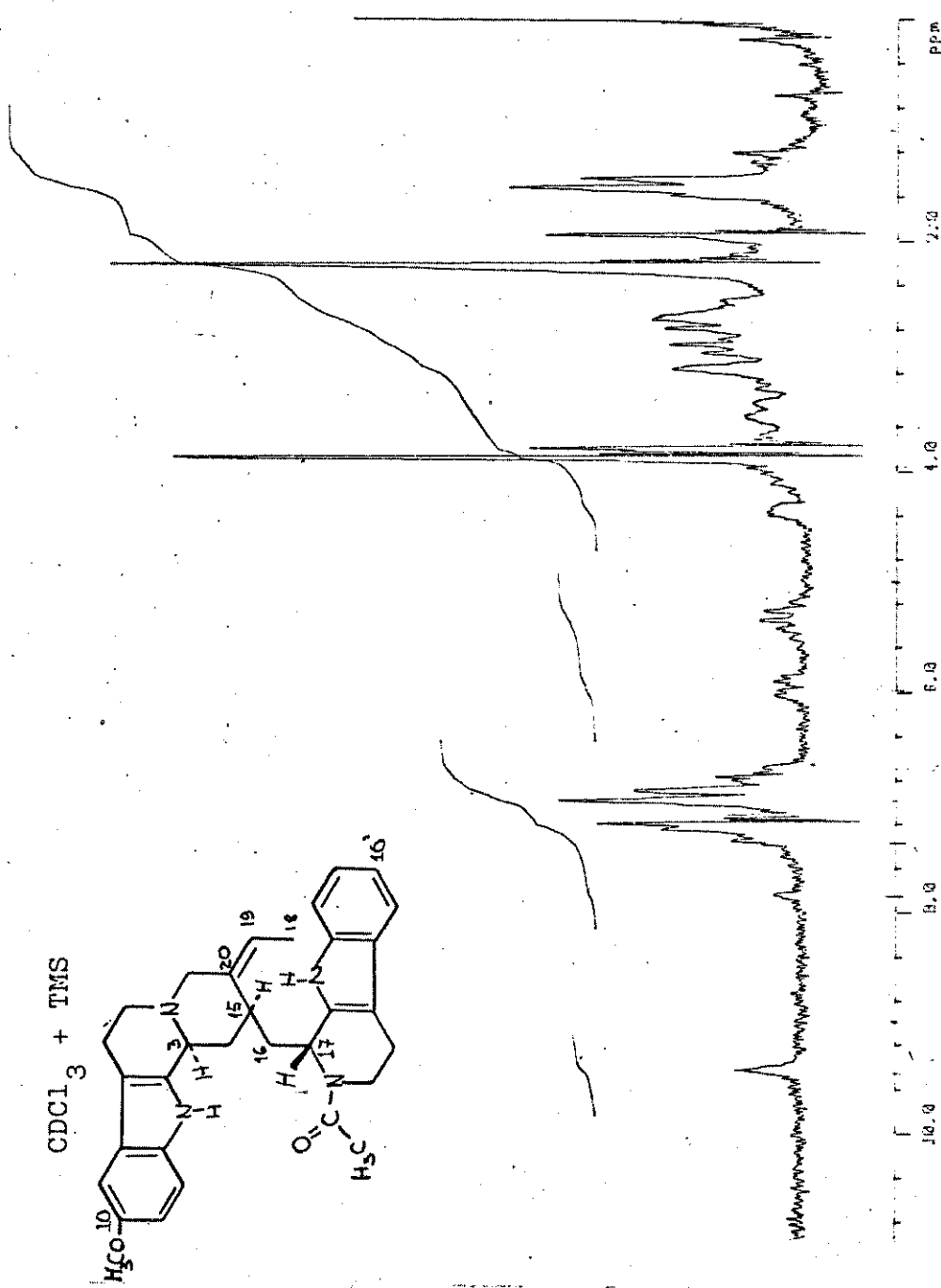


Figura 24 - Espectro de RMN de ^1H da Ramiflorina B Acetillada

$\text{CDCl}_3 + \text{D}_2\text{O} + \text{TMS}$

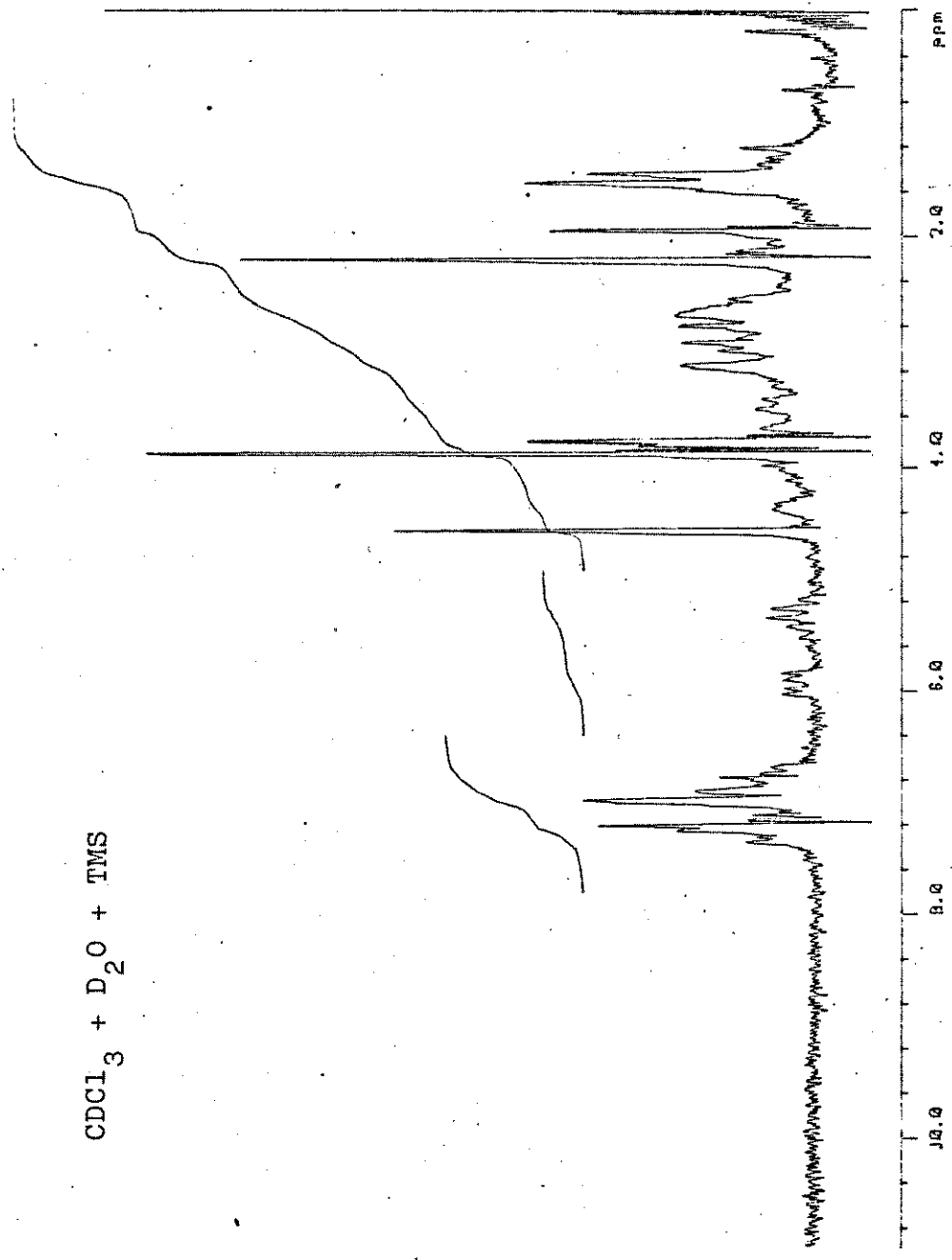


Figura 25 - Espectro de RMN de ^1H da Ramiflorina B Acetilada na presença de D_2O

REFERENCIAS

- 1 - "Um Estudo Fitoquímico do Gênero Aspidosperma", Gilbert, B., An. Acad. Bras. Ciênc. (1966) 38, ((supl.), 315.
- 2 - "An Interim Revision of the Genus Aspidosperma", Woodson Jr., R. E., Ann. Missouri Bot. Garden (1951) 38, 119.
- 3 - "Biosynthesis of Indole Alkaloids. The Aspidosperma and Iboga Bas-
ses", Wenkert, E., J. Am. Chem. Soc. (1962), 84, 98.
- 4 - "Alkaloid Biosynthesis. Part. XIV: Secologanin: Its Conversion in
to Ipecoside and its Role as Biological Precursor of Indole Alka-
loids", Battersby, A. R., Burnett, A. R., Parsons, P. G., J. Chem.
Soc. Chem. Comm. (1969), 1187.
- 5 - "Loganin as Precursor of Indole Alkaloids", Battersby, A. R.,
Brown, R. T., Kapil, R. S., Martin, J. A., Plunkett, A. O., Mo,
L., J. Chem. Soc., Chem. Comm., (1968) 133.
- 6 - "The Biological Conversion of Loganin Into Indole Alkaloids", Loew,
P., Arigoni, D., J. Chem. Soc., Chem. Comm., (1968), 137.
- 7 - "Partial Synthesis and Isolation of Vincoside and Isovincoside",
Battersby, A. R., Burnett, A. R., Parsons, P. G., J. Chem. Soc.,
Chem. Comm. (1968), 1282.
- 8 - "Four Heptacyclic Alkaloids from Aspidosperma species", Ferreira,
J. M., Gilbert, B., Kitagawa, M., Leme, L. A. P., e Durham, L. J.,
J. Chem. Soc. (1966), C, 1260.
- 9 - "Five Dihydroindole Alkaloids from Aspidosperma verbascifolium",
Brackman, J. C., Hootele, C., Van Moorlegem, C., Kaisin, M.,
Pecher, J., Antonaccio, L. D., e Gilbert, B., Bull. Soc. Chim.
Belg. (1969), 78 (1-2), 63.

- 10- "Trabalho não publicado", Marques, M. F. S. e Reis, F. A. M.
- 11- "Alkaloids Studies - I - The Alkaloids of twelve Aspidosperma Species" Gilbert, B., Duarte, A. P., Nakagawa, Y., Joule, J. A., Flores, S. E., Briolesse, J. A., Campello, J., Carrazzoni, E. P., Owellen, R. J., Blossey, E. C., Brown Jr., K. S. e Djerassi, C., Tetrahedron (1965) 21, 1141.
- 12- "Aspidofoline, the Phenolic Alkaloid of Aspidosperma pyrifolium Mart", Antonaccio, L. D., J. Org. Chem. (1960), 25, 1262.
- 13- "Recent Progress in Aspidosperma Alkaloids", Antonaccio, L. D., Djerassi, C., Ferreira Filho, J. M., e Gilbert, B., An. Assoc. Brasil. Quím. (1962), 21, 31.
- 14- "Physical Data of Indole and Dihydroindole Alkaloids", Neuss, N., Ely Lilly and Company, Indianapolis 6, Indiana, U.S.A., Edn. 1954, 1956, 1960, 1961 e 1962.
- 15- "Isolation of four new Aspidosperma Alkaloids: - Cylindrocarpine, Refractine, Pyrifolinne, and Pyrifolidine." Gilbert, B., Antonaccio, L. D., Archer, A. A. P. G., and Djerassi, C., Experiencia (1960) 16, 61.
- 16- "Isolation and Constitution of three new Aspidosperma Alkaloids: Cylindrocarpine, Cylindrocarpidine and Pyrifolidine", Djerassi, C., Archer, A. A. P. G., George, T., Gilbert, B., e Antonaccio, L. D., Tetrahedron (1961), 16, 212.
- 17- "Alkaloids LX - 19-dehydroyohimbine, a Novel Alkaloid from Aspidosperma pyricollum", Arndt, R. R., e Djerassi, C., Experientia (1965) 21, 566.
- 18- "Alkaloids of Aspidosperma pyricollum Mart. Isolation of Aspidospermine", Serur, Leila M., Matos, F., Abreu, J., Rev. Latinoam. Quím. (1981), 21 (1), 38.

- 19- "Die Massenspektren von Alkaloiden der Refractin-Pleiocarpin-Klasse und die Struktur von Aspidofractinin, einem Nebenalkaloid aus Aspidosperma refractum Mart.", Djerassi, C., Budzikiewicz, H., Owellen, R. J., Wilson, J. M., Kump, W. G., Le Count, D. J., Battersby, A. R., e Schmid, H., Helv. Chim. Acta (1963), 46, 742.
- 20- "Mass Spectrometry in Structural and Stereochemical Problems Pyridoline and Refractidine", Gilbert, B., Ferreira, J. M., Owellen, R. J., Swanholm, C. E., Budzikiewicz, H., Durham, L. J., e Djerassi, C., Tetrahedron Lett. (1962), 59.
- 21- "Mass Spectrometry in Structural and Stereochemical Problems. V. Refactine and Aaspidofractine", Djerassi, C., George, T., Finch N., Ledish, H. F., Budzikiewicz, H., e Gilbert, B., J. Am. Chem. Soc. (1962), 84, 1499.
- 22- "Alkaloids Studies. LVIII. The Alkaloids of six Aspidosperma Species", Arndt, R. R., Brown, S. H., Ling, N. C., Roller, P., Djerassi, C., Ferreira, F. J. M., Gilbert, B., Miranda, E. C., Flores, S. E., Duarte, A. P., e Carrazzoni, E. P., Phytochemistry (1967) 6, 1653.
- 23- "Study of the Bark of Aspidosperma quirandy Hassler", Floriani, L., Rev. Cent. Estud. Farm. Bioquím. (1935), 373 e 423.
- 24- "Alkaloids studies - LIII - The structure of Nine New Alkaloids from Aspidosperma dasycarpon A. DC.", Joule, J. A., Oltashi, M., Gilbert, B., and Djerassi, C., Tetrahedron (1965), 21, 1717.
- 25- "Alkaloid Studies. XLVII. The Structures of Five New Aspidosperma Alkaloids Related to Uleine", Ohashi, M., Joule, J. A., Gilbert, B., e Djerassi, C., Experientia (1964), 20, 363.

- 26- "Alkaloids studies - LI- The Structure of Aspidodasyarpine", Ohashi, M., Joule, J. A., e Djerassi, C., Tetrahedron Lett. (1964), 51, 3899.
- 27- Trabalho não Publicado (1963). Djerassi, C., Ferreira, J. M., Flores, S. E., George, T., Gilbert, B., Monteiro, H. J., Budzikiewicz, H. Wilson, J. M., Durham, L. J., Owellen, R. J., e Bianchi, E., Referência, Manske Vol. VIII pag. 335.
- 28- "Minor Alkaloids of Aspidosperma subincanum Mart.: Isolation, Structure Proof and Synthesis of 1,2-dihydro-ellipticine, 1,2-dihydro-ellipticine-methionitrile and ellipticine methionitrile", Bucki, G., Mayo, W. Dana, e Hochstein, F. A., Tetrahedron (1961), 15, 167.
- 29- "The Synthesis of Ellipticine", Woodward, R. B., Iacobucci, G. A., Hochstein, F. A., J. Am. Chem. Soc. (1959), 81, 4434.
- 30- "Structure of Uleine: Relative Stereochemistry", Gaskell, A. J. e Joule, J. A., Chem. Ind. (1967), 1089.
- 31- "Subincanine, a C - Carbazole Alkaloid." Gaskell, A. J., e Joule, J. A., Tetrahedron Lett. (1970), 77.
- 32- "Contribuição ao Estudo Químico do Gênero Aspidosperma: Aspidosperma pruinosum Margraf", Nunes, D. S., Tese de Mestrado, Instituto de Química - UNICAMP (1980).
- 33- "Alkaloids from Aspidosperma australe Mull. Arg.", Ondetti, M. A., e Deulofeu, V., Tetrahedron (1961), 15, 160.
- 34- Trabalho não Publicado (1967). Gaskell, A. J., e Joule, J. A., Referência, Manske Vol. XI, (1968), 205-306.
- 35- "Alkaloid Studien. LII. Die Alkaloide aus Vallesia dichotoma Ruiz et Pav.", Walser, A., e Djerassi, C., Helv. Chim. Acta (1965) 48, 391.

- 36- "Alkaloids Studies. XXXIII. Mass Spectrometric in Structural and Stereochemical Problems. VI. Polyneuridine, a New Alkaloid from Aspidosperma polyneuron and some Observations on Mass Spectra of Indole Alkaloids", Antonaccio, L. D., Pereira, N. A., Gilbert, B., Vorbrueggen, H., Budzikiewicz, H., Wilson, J. M., Durham, L. J., e Djerassi, C., J. Am. Chem. Soc. (1962), 84, 2161.
- 37- "Alkaloids of Aspidosperma discolor", Dastor, N. e Schmid, H., Experientia (1963), 19, 297.
- 38- "Alkaloids of Aspidosperma olivaceum", Schmutz, J. e Hunziker, F., Pharm. Acta Helv. (1958), 33, 341.
- 39- "Alkaloids of Aspidosperma longipetiolatum", Marini-Bertollo, G. B. e Ferreira, P. C., Ann. Chim. (1959), 49, 869.
- 40- "Guatambuina, an Alkaloid of Aspidosperma longipetiolatum", Ferreira, P. C., Marini-Bertollo, G. B. e Schmutz, J., Experientia (1959), 15, 179.
- 41- "Alkaloids of Aspidosperma vargasii A. DC.", Burnell, R. H., e Casas, D. D., Can. J. Chem. (1967), 45, 89.
- 42- "Die nebenalkaloid von Aspidosperma ulei Mg.f.", Schmutz, J. e Hunziker, F., Helv. Chim. Acta (1958), 41, 288.
- 43- "Ulein, das Hauptalkaloid von Aspidosperma ulei Mg.f.", Schmutz, J., Hunziker, F. e Hirt, R., Helv. Chim. Acta (1957), 40, 1189.
- 44- "Alkaloids of the bark of Aspidosperma rhombosignatum", Medina, J. D., Di Genova, L., Planta Med. (1979), 37 (2), 165.
- 45- "Alkaloids studies. LX . The structures of two novel Aspidosperma alkaloids, deoxyaspidotidispermine and aspidotidispermine", Ikeda, M., e Djerassi, C., Tetrahedron Lett. (1968), 56, 5837.

- 46- Trabalho não Publicado, Ikeda, M., e Djerassi, C., Resultados citados por Mirrobow, O. e Djerassi, C., J. Chem. Soc. C 417 (1969) referência tirada de Manske Vol. XVII, 1979, pag. 235.
- 47- "Die alkalioide von Aspidosperma polyneuron M. Arg.", Schmutz, J. e Lehner, H., Helv. Chim. Acta, (1959), 42, 874.
- 48- "Degradation de la Vincamédine et configuration absolue des Alkaloides apparentés: Vincamajine, Akuammidine, Polyneuridine, Voachalotine et Macusine A. Alcaloides des pervenches", Janot, M.M., Le Men, J., Gosset, J., and Levy, J., Bull. Soc. Chim. Fr. (1962) 1079.
- 49- "Harman-3-carbónsäure, ein neues alkaloid aus Aspidosperma polyneuron" Antonaccio, L. D. e Budzikiewicz, H., Monats. Chem. (1962). 93, 962.
- 50- "The alkaloids of Aspidosperma polyneuron", Antonaccio, L. D., Rev. Quím. Ind. (1957), 26, 149.
- 51- "Isolation of deacetylaspidospermine", Paladini, A. C., Ruveda, E. A., Corral, R. A. e Orazi, O. O., An. Asoc. Quím. Arg. (1962)
- 52- "Occurrence of Alkaloids in Apocynaceae", Bisset, N. G., Ann. Bogoriensis (1958) 3, 105.
- 53- "Isolation of Macusine B from Aspidosperma peroba", Fish, F., Quassidin, M. e Stenlake, J. B., Chem. Ind. (1964) 319.
- 54- "Isolation of a quaternary alkaloid having a methyleneindoline chromophore from Aspidosperma peroba", Qaisuddin, M., Bangladesh J. Sci. Ind. Res. (1974), 19, 118.
- 55- "Alkaloids Studies XXV. The Structures of the Aspidosperma Alkaloids Cylindrocarpina and Cylindrocarpidine", Djerassi, C., Archer, A. A. P. G., George, T., Gilbert, B., Schoolery J. N. e Johnson, L. F., Experientia (1960), 16, 532.

- 56- "Alkaloid studies. Part. LXI . The structure of twelve new alkaloids from Aspidosperma cylindrocarpum", Milborrow, B. V. e Djerassi, C., J. Chem. Soc. (1969), C, (3), 417.
- 57- "Alkaloids of Aspidosperma cuspa Blake", Burnell, R. H. e Medina, J. D., Phytochemistry (1968) 7, 2045.
- 58- "The alkaloids of Aspidosperma cuspa: 16-epi-isositsirikine, a new indole base", Simões, J. C., Gilbert, B., Cretney, W. J., Hearn, M. e Kutney, J. P., Phytochemistry (1976), 15, 543.
- 59- "Alkaloids. Part. 157. A Chemotaxonomic Study of Subfamily Plumerioideae of the Apocynaceae", Ganzinger, D., e Hesse, M., Lloydia (1976), 39, 326.
- 60- "The Alkaloids", Gilbert, B., Manske Volume XI (1968) pag. 208.
- 61- "Mass spectrometry in structural and stereochemical problems. XX. Carapanaubine, a new alkaloid from Aspidosperma carapanauba and some observations on Mass Spectra of oxindole alkaloids", Gilbert, B., Brisselese, J. A., Finch, N., Taylor, W. I., Budzikiewicz, H., Wilson, J. M. e Djerassi, C., J. Am. Chem. Soc. (1963), 85, 1523.
- 62- "Alkaloids studies. XXXIX . The occurrence of Dihydrocorynantheol and Aricine in Aspidosperma marcgravianum Woodson", Gilbert, B., Antonaccio, L. D. e Djerassi, C., J. Org. Chem. (1962), 27, 4702.
- 63- "Aspidosperma de Guyane: Alcalóides de Aspidosperma Marcgravianum" Robert, G. M. T., Ahond, A., Poupat, C., Potier, P., Jollés, C., Jousselin, A., Jacquemin, H., J. Nat. Prod. (1983), 46 (5) 694.
- 64- "Medical Plants of Surinam. II. Antimicrobial active Alkaloids from Aspidosperma marcgravianum". Vepoorte, R., Ruigrov, C. L. M. e Baerheim Svenden, A., Planta Med. (1982), 46 (3), 149-52.

- 65- Relyveld, P., Dissertation, Utrecht (1966). Ref. tirada do "Indolakaloide in Tabelle", Hesse, M., Springer, Berlin, (1964) vol. II, pag. 183.
- 66- "Alkaloids of Aspidosperma excelsum Benth", Benoin, P. R., Burnell, R. H. e Medina, J. D., Can. J. Chem. (1967), 45, 725.
- 67- "Dimeric indole alkaloids from Aspidosperma excelsum", Relyveld, P., Pharm. Weekbl. (1965), 100 (19), 614.
- 68- "Medical Plants of Surinam: III. Antimicrobially Active Alkaloids from Aspidosperma excelsum", Verpoorte, R., Kos-Kuyck, E., Tjin A, Tsoi, A., Ruigrok, C. L. M., De Jong, G., Baerheim Svendsen, A., Planta Med. (1983), 48 (4), 283.
- 69- "Alkaloids of Aspidosperma discolor", Ferreira, J. M., Gilbert, B., Owellen, R. J. e Djerassi, C., Experientia, (1963), 19, 585.
- 70- Trabalho não Publicado (1967), Roller, P., e Djerassi, C., Referência, Manske Vol. XI, (1968), 215.
- 71- "Anwendung der Massenspektrometrie zur Strukturaufklärung von Alkaloiden, I. Mitt.", Spitteler, G. e Spitteler-Friedmann, M., Monatsh. Chem. (1962), 93, 795.
- 72- "Aspidosperma de Guyane: Alcaloides des graines de Aspidosperma oblongum", Robert, G. M. T., Ahond, A., Poupat, C., Potier, P., Jacquemin, H., e Kan, S. K., J. Nat. Prod. (1983), 46 (5), 708.
- 73- "Anwendung der Massenspektrometrie zur Strukturaufklärung von Alkaloiden, 3. Mitt.", Spitteler, G. e Spitteler-Friedmann, M., Monatsh. Chem. (1963), 94, 779.
- 74- "The alkaloids of Aspidosperma oblongum A. DC.", Palmer, K. H., Can. J. Chem. (1964), 42, 1760.
- 75- "Über die alkaloid von Aspidosperma discolor A. DC.", Dastoor, N. J., Gorman, A. A. e Schmid, H., Helv. Chim. Acta, (1967), 50, 213.

- 76- "Application of Mass Spectrometry to Structure Problems: The occurrence of Eburnamenine and Related Alkaloids in Rhazya stricta e Aspidosperma quebracho-blanco", Schnoes, H. K., Burlingame, A. L. e Biemann, K., Tetrahedron Lett. (1962) 22, 993.
- 77- "An Investigation by Mass Spectrometry of the Alkaloids of Aspidosperma quebracho-blanco", Biemann, K., Friedmann-Spiteller, M., e Spiteller, G., Tetrahedron Lett. (1961) 14, 485
- 78- "Studien über Argentinische Quebrachodrogen", Hesse, O., Liebigs Ann. Chem. (1882) 211, 249.
- 79- "Application of Mass Spectrometry to Structure Problems. VIII. Quebrachamine", Biemann, K. e Spiteller, G., J. Am. Chem. Soc. (1962) 84, 4578.
- 80- "Application of Mass Spectrometry to Structure Problems. X. Alkaloids of the bark of Aspidosperma quebracho-blanco", Biemann, K., Friedmann-Spiteller, M. e Spiteller, G., J. Am. Chem. Soc. (1963) 85, 631.
- 81- "Application of Mass Spectrometry to Structure Problems: Condylcarpine. Biemann, K., Burlingame, A. L., e Stauffacher, D., Tetrahedron Lett. (1962) 12, 527.
- 82- "Application of Mass Spectrometry to Structure Problems. The Structure of Quebrachidine". Gorman, M., Burlingame, A. L., e Biemann K., Tetrahedron Lett. (1963) 1, 39.
- 83- "A new Alkaloid from the Bark of Aspidosperma quebracho-blanco", Tunmann, P., e Rachor, J., Naturwissenschaften (1960) 47, 471.
- 84- "Aufnahme und Interpretation von Hochauflösungs- Massenspektren von Naturstoffen während ihrer gaschromatographischen Trennung" Biemann, K. e Watson, J. T., Monatsh. Chem. (1965) 96, 305.

- 85- "Isolation of Rhazidine and Akuammidine from Aspidosperma quebracho-blanco. The Structure of Rhazidine", Markey, S., e Biemann, K., Tetrahedron Lett. (1967) 2, 157.
- 86- "Alkaloid Studies XXVI. The Constitution of Pyrifolidine". Djerassi, C., Gilbert, B., Shoolery, J. N., Johnson, L. F., e Biemann, K., Experientia, (1961), 17, 162.
- 87- "Rhazidigenine N-oxide, an alkaloid from Aspidosperma quebracho-blanco bark", Turnmann, P., Wolf, D., Z. Naturforsch. B., (1969) 24, (12), 1665.
- 88- "Biological and Phytochemical evaluation of Plants. XI. Isolation of Aspidospermine, Quebrachidine, Rhazinilam, (-)Pyrifolidine and Akuammidine from A. quebracho-blanco", Lyon, R. L., Fong, H. H. S., J. Pharm. Sci. (1973) 62 (2), 218.
- 89- "Biological and Phytochemical evaluation of Plants. XII. Isolation of acetylakuammidine from Aspidosperma quebracho-blanco", Lyon, R. J., Fong, H. H. S., Farnwoth, N. R., J. Pharm. Sci. (1973) 62 (5), 833.
- 90- "Isolation of Quebrachamine and of a New Dihydroindole Alkaloid, Spegazzinine, from Aspidosperma chakensis Spegazzini", Orazi, O. O., Corral, R. A., Holker, J. S. E., e Djerassi, C., J. Org. Chem. (1956) 21, 979.
- 91- "Mass Spectrometry in Structural and Stereochemical Problems Spegazzine and Spegazzinidine", Djerassi, C., Brewer, H. W., Budzikiewicz, H., Orazi, O. O., e Corral, R. A., Experientia (1962) 18, 113.
- 92- "The Structures of Aspidosperma Alkaloids: Spegazzinine and Spegazzinidine". Djerassi, C., Brewer, H. W., Budzikiewicz, H., Orazi, O. O., e Corral, R. A., J. Am. Chem. Soc. (1962) 84, 3480.

- 93- "Aspidosperma Alkaloids - Fendleridine", Burnell, R. H., Medina, J. D., e Ayer, W. A., Chem. Ind. (1964) 33.
- 94- "Alkaloids seeds of Aspidosperma fendleri Woodson". Burnell, R.H. e Medina, J. D., Can. J. Chem. (1966) 44, 28.
- 95- "Aspidosperma Alkaloids: Fendlerine", Burnell, R. H., Medina, J. D., e Ayer, W. A., Chem. e Ind. (1964) 235.
- 96- "Structure of Fendlispermine". Medina, J. D., Hurtado, J., Burnell, R. H., Rev. Latinoam. Quím. (1973) 4 (2), 73.
- 97- "Alkaloid Studies. XLVI. The Alkaloids of Aspidosperma obscurinervium Azembuja. A New Class of Heptacyclic Indole Alkaloids", Brown Jr., K. S., e Djerassi, C., J. Am. Chem. Soc. (1964) 86, 2451.
- 98- "Studies on some Indole Alkaloids. The Structure of Vallesiachotamine. Apparicine, an Indole Alkaloid of Novel Structure. The Structure and Chemistry of Nervoobscurine, Tubulosine and its Chemical Correlation with Deoxytubulosine", Monteiro, H. J., PhD Thesis, Stanford University (1966), Dissertation Abstr. (1966) 27 B, 1096.
- 99- "Alkaloids of Aspidosperma melanocalyx Muell. Arg.", Miranda, E. e Gilbert, B., Experientia (1969) 25 (6), 575.
- 100- "Isolation and Structure of a New Alkaloid: Aspidocarpine", Mclean, S., Palmer, K., e Marion, L., Can. J. Chem. (1960) 38, 1547.
- 101- "Isolation of Quebrachamine from Aspidosperma sandwithianum", Reijveld, P., Pharm. Weekblad (1963), 98, 175, Chem. Abstr. (1963) 59, 3976.

- 102- "Mass Spectrometry in Structural and Stereochemical Problems. The Structure of the Aspidosperma Alkaloid Aspidoalbine", Djerassi, C., Antonaccio, L. D., Budzikiewicz, H., e Wilson, J. M., Tetrahedron Lett. (1962) 22, 1001.
- 103- "A new Aspidosperma Alkaloid: O-demethylaspidocarpine", Ferrari, C., McLean, S., Marion, L., e Palmer, K., Can. J. Chem. (1963), 41, 1531.
- 104- "Kromantine, a New Alkaloid from Aspidosperma album", Relyveld, P., Pharm. Weekblad (1963) 98, 47.
- 105- "Further Alkaloids related to Aspidoalbine and Limaspermine", Ferrari, C., e Marion, L., Can. J. Chem. (1964) 42, 2705.
- 106- "A New Alkaloids Extracted from the Seeds of Aspidosperma album (Vahl) R. Benth. (Apocynaceae)", Urrea, M., Ahond, A., Henri, J., Kan, S. K., Poupat, C., Potier, P., Janot, M. M., Compt. Rendn. Sc. Ser. C (1978) 287 (3), 63.
- 107- "Alkaloids of three Aspidosperma Species", Garcia, M., Ruben, F., Brown, Keith S., Jr., Phytochemistry (1976) 15 (6) 1093.
- 108- "The Alkaloids of Aspidosperma neblinae. An Application of a Directly Coupled Gas Chromatograph - Mass Spectrometer", Thomas, D. W., Schnoes, H. K., e Biemann, K., Experientia (1969) 25 (7), 678.
- 109- "The Alkaloids of Aspidosperma limae Woodson: Aspidolimidine, Asdolimine, Demethoxypalosine, and Aspidocarpine", Gilbert, B., Brisselese, J. A., Wilson, J. M., Budzikiewicz, H., Durham, L. J., e Djerassi, C., Chem. Ind. (1962), 1949.
- 110- "Limaspermine", Pinar, M., Philipsborn, W., Vetter, W., e Schmid, H., Helv. Chim. Acta (1962) 45, 2260.

- 111- "Aspidolimine", Pinar, M., e Schmid, H., Helv. Chim. Acta (1962) 45, 1283.
- 112- "3'-methoxy-limaspermin, Limapodin, 3'-methoxy-limapodin und Tubbataiwins aus Aspidosperma limae Woodson", Pinar, M., e Schmid, H., Liebigs Ann. Chem. (1963) 668, 97.
- 113- Pinar, M., e Schmid, H., Trabalho não Publicado, Referência tirada de "Indolalkaloide in Tabellen", Hesse, M., Vol. I, Springer, Berlin, (1964), Vol. I, 132.
- 114- "Weitere Alkaloid aus Aspidosperma limae Woods", Pinar, M., e Schmid, H., Helv. Chim. Acta (1967) 50, 89.
- 115- "Notiz über Limatine aus Aspidosperma limae Woods", Pinar, M., Bycroft, B. W., Seibl, J., e Schmid, H., Helv. Chim. Acta (1965) 48, 822.
- 116- "Unusual Mass Spectral Fragmentation of 21-oxo-aspidoalbidine - Type Alkaloids", Brown, K. S., Sanchez L., W. E., Figueiredo, A. de A. e Filho F., J. M., J. Am. Chem. Soc. (1966) 88, 4984.
- 117- "Two New β-carboline Alkaloids from Aspidosperma exalatum", Sanchez, L., Wolfango, E., Brown, Keith S. Jr., An. Acad. Brasil. Cienc. (1971) 43 (3-4), 603.
- 118- "Alkaloids of the Seeds of Aspidosperma exalatum Monachino", Medina, J. D., Hurtado, J. A., Plant. Med. (1977) 32 (2), 130.
- 119- "Studies on Plants. XI. Alkaloids of Aspidosperma spegazzinii", Orazi, O. O., Corral, R. A., e Stoichevich, M. E., Can. J. Chem. (1966) 44, 1523.
- 120- "Alkaloid Substance with Therapeutic Activity extracted from Aspidosperma spegazzinii", Omnium Chimique S. A. Belg. 814, 772 (cl. A 61K), 02 sep. 1974, appl. 814, 772, 09 may 1974.

- 121- "Isolation and Synthesis of 5-ethyl-2-methyl-1H-pyrido [3,4-a]carboline Hydroxide a New Alkaloid type from Aspidosperma gilbertii", Miranda, E. C., Brieskorn, C. H., Blechert, S., Chem. Ber. (1980), 113 (10), 3245.
- 122- "Gilbertin, a New Type of Indole Alkaloid". Miranda, E. C., Blechert, S., Tetrahedron Lett. (1982) 23 (51), 5395.
- 123- "New Quaternary Alkaloid from Aspidosperma gilbertii", Duarte, A. P., Miranda, E. C., An. Acad. Bras. Cienc. (1983) 55 (2), 189.
- 124- Trabalho não Publicado, Antonaccio, L. D., Gilbert, B., e Paes Leme, L. A., Referência, Manske Vol. XI, (1968), 213.
- 125- "Biosynthesis of the Indole Alkaloids", Battersby, A. R., Brown, R. T., Kapil, R. S., Plunkett, A. O., e Taylor, J. B., Chem. Comm. (1966), 46.
- 126- "Components (alkaloids) of an Aspidosperma Species from Surinam", Elferink, J. G. R., VanEijk, J. L., Khauw, T. H., Van Laer, A. M. H., Russel-Gulikers, M. M. A. B., Uffelie, O. F., Pharm. Weekbl. (1968) 103 (40), 1101.
- 127- "A High Yield Stereospecific Total Synthesis of Vincamine", Herrmann, J. L., Cregge, R. J., Richman, J. E., Semmelhack, C. L., e Schlessinger, R. H., J. Am. Chem. Soc. (1974), 96, 3702.
- 128- "Une Nouvelle Synthèse de L'ellipticine et ses Analogues Structuraux", Le Goffic, F., Gouyette, A., e Ahond, A., Tetrahedron, (1973), 29, 3357.
- 129- "Alkaloids of Rauwolfia serpentina Benth. II. The Isolation of Naturally Occurring Py-tetrahydroserpentine (Ajmalicine) and a Contribution Toward its Structure", Klohs, M. W., Draper, M. D., Keller, F., Malesh, W., e Petracek, F. J., J. Am. Chem. Soc. (1954), 76, 1332.

- 130- "Partial Synthesis of Vinblastine Type Alkaloids", Potier, P., Langlois, N., Langlois, Y., e Guérinette, F., J. Chem. Soc., Chem. Comm. (1975), 670.
- 131- "Indolalkaloide in Tabelle", Hesse, M., Springer, Berlin (1964), Vol. I, pag. 77
- 132- "Short Routes of Construction of Yohimboid and Ajmalinoid Systems and their ¹³C Spectral Analysis", Wenkert, E., Chang, C. J., Chawla, H. P. S., Cochran, D. W., Haganan, E. W., King, J. C., Orito, K., J. Am. Chem. Soc. (1976), 98, 3645.
- 133- "Indolalkaloide in Tabelle", Hesse, M., Springer, Berlin (1968), Vol. II, págs. 109.
- 134- "Structure Elucidation of Natural Products by Mass Spectrometry". Budzikiewicz, H., Djerassi, C., Williams, D. H., Holden-day, Inc. San Francisco (1964), Vol. I.
- 135- "Further Alkaloids from *Strychnos longicaudata* and *Strychnos ngouniensis*", Massiot, G., Thépenier, P., Jacquemin, M. J., Loukorkobi, J., Mirand, C., Zeches, M., Men-Olivier, L., Tetrahedron (1983) 39, 3645.
- 136- "Alcaloïdes bis-indoliques Monoterpénoïdes des Feuilles du Cinchona ledgeriana Moens. Structure et Hémisynthèse D'analogues Structuraux", Zeches, M., Sigaut, F., Men-Olivier, L., Levy, J., Le-Men, J., Bull. Soc. Chim. Fr. (1981) 75.
- 137- "Carbon-13 Nuclear Magnetic Ressonance Spectroscopy of Naturally Occurring Substances. XXXIII. The Ochrolifuanines and Emetine", Koch, M. C., Plat, M. M., Préaux, N., Gottlieb, H. E., Hagaman, E. W., Schell, F. M., e Wenkert, E., J. Org. Chem. (1975), 40, 2834.

438- "Biosynthesis of the Indole Alkaloids" Scott, A. I., Accts. Chem. Res. (1970), 3, 451.